

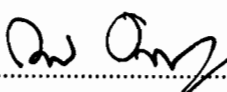
ค่าเวลาคงค้างของลิปิดในคอลัมน์ที่มีเปอร์เซ็นต์ใช้ยาโนโพรพิวต่างๆ กัน

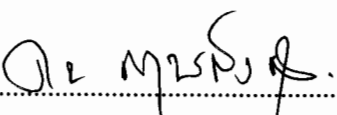
นางสาวสุนิสา ภูติกิจ โยวัฒน์ วท.บ. (ชีววิทยา)

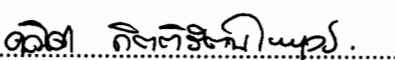
วิทยานิพนธ์นี้เป็นส่วนหนึ่งของการศึกษาตามหลักสูตร
ปริญญาวิทยาศาสตรมหาบัณฑิต สาขาวิชาเทคโนโลยีชีวเคมี
คณะทรัพยากรชีวภาพและเทคโนโลยี
มหาวิทยาลัยเทคโนโลยีพระจอมเกล้าธนบุรี

พ.ศ. 2550

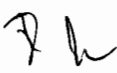
คณะกรรมการสอบวิทยานิพนธ์


..... ประธานกรรมการสอบวิทยานิพนธ์
(ดร. กรณักร กอญสุข)


..... กรรมการและอาจารย์ที่ปรึกษาวิทยานิพนธ์
(รศ. ดร. คณิต กฤษณ์ผั้งกุร)


..... กรรมการและอาจารย์ที่ปรึกษาวิทยานิพนธ์ร่วม
(ดร. คณิชา กิตติรัตน ไพบูลย์)


..... กรรมการ
(ผศ. ดร. รัตนชัย ไพรินทร์)


..... กรรมการ
(ดร. จินารัตน์ โตกมลธรรม)

ลิขสิทธิ์ของมหาวิทยาลัยเทคโนโลยีพระจอมเกล้าธนบุรี

| | |
|-------------------|---|
| หัวข้อวิทยานิพนธ์ | ค่าเวลาคงค้างของลิปิดในคอลัมน์ที่มีเปอร์เซ็นต์ไซยาโนโพรพิวต่างๆ กัน |
| หน่วยกิต | 12 |
| ผู้เขียน | นางสาวสุนิสา ภูติกิจ ไบวัฒน์ |
| อาจารย์ที่ปรึกษา | รศ.ดร. ณัฐิ ฤทธิ์ตัณ ไพบูลย์ ดร. ณิชา กิตติรัตน ไพบูลย์ |
| หลักสูตร | วิทยาศาสตรมหาบัณฑิต |
| สาขาวิชา | เทคโนโลยีชีวเคมี |
| สาขาวิชา | เทคโนโลยีชีวเคมี |
| คณะ | ทรัพยากรชีวภาพและเทคโนโลยี |
| พ.ศ. | 2550 |

บทคัดย่อ

การแยกสารด้วยแก๊สลิควิด โครม่าโทกราฟีนั้น วัฏภาคนิ่งจะมีบทบาทสำคัญในการแยกสารผสมของจากกัน ซึ่งองค์ประกอบของวัฏภาคนิ่งในแต่ละคอลัมน์ จะส่งผลต่อค่าเวลาคงค้างของการแยกสารแตกต่างกันออกไป ดังนี้ในงานวิจัยนี้จึงทำการศึกษาผลของคอลัมน์ที่มีเปอร์เซ็นต์ไซยาโนโพรพิวต่างกันต่อค่าเวลาคงค้างของสารลิปิด 3 กลุ่ม คือ กลุ่มไฮโดรคาร์บอน กลุ่มไขมันเมทิลเอสเทอร์ และกลุ่มไขมันและกอ肖ล์ โดยใช้คอลัมน์แบบแคพิลารีชนิด SP-2340 (100% cyanopropyl) คอลัมน์ RTX-2330 (90% cyanopropyl) คอลัมน์ DB-225 (50% cyanopropyl) BP-10 (14% cyanopropyl) และ ZB-1 (0% cyanopropyl) มาใช้ในการวิเคราะห์สาร และวิเคราะห์ผลการเปลี่ยนแปลงที่เกิดจากความสัมพันธ์ระหว่างวัฏภาคนิ่งภายในคอลัมน์กับสารลิปิดทั้ง 3 กลุ่มที่กล่าวมาข้างต้นในเทอมของค่าพลังงานอิสระ เอนทัล皮 และเอนโทรปีของการถ่ายเทจากสารละลายไปสู่แก๊ส ผลการศึกษาแสดงให้เห็นว่าไม่สามารถโดยความสัมพันธ์ระหว่างค่าพลังงานอิสระ เอนทัล皮 และ เอนโทรปีของการถ่ายเทจากสารละลายไปสู่แก๊สกับเปอร์เซ็นต์ไซยาโนโพรพิวที่เป็นองค์ประกอบภายในคอลัมน์โดยตรงได้

คำสำคัญ : แก๊สลิควิด โครม่าโทกราฟี / วัฏภาคนิ่ง / ไซยาโนโพรพิว / พลังงานอิสระ

| | |
|------------------------|--|
| Thesis Title | Retention Time of Lipids in Columns with Different Percentages of Cyanopropyl Poly(dimethylsiloxane) |
| Thesis Credits | 12 |
| Candidate | Miss. Sunisa Phutipinyowat |
| Thesis Advisors | Assoc. Prof. Dr. Kanit Krisnangkura Dr. Kanisa Kittiratanapiboon |
| Program | Master of Science |
| Field of Study | Biochemical Technology |
| Department | Biochemical Technology |
| Faculty | School of Bioresources and Technology |
| B.E. | 2550 |

Abstract

Gas liquid chromatographic column is an important factor in the organic mixtures separation. The polarity of the stationary phase in each column determines the solute retention time. In this study, the retention times of lipids (hydrocarbons, fatty acid methyl esters and fatty alcohols) eluted from columns of different percentages of cyanopropyl poly (dimethylsiloxane) are determined. The retention times of these lipids from capillary columns ; SP-2340 (100% cyanopropyl) , RTX-2330 (90% cyanopropyl) , DB-225 (50% cyanopropyl) , BP-10 (14% cyanopropyl) and ZB-1 (0% cyanopropyl) are reported and related to free energy, enthalpy and entropy of transfer from solution to gas. It is found that percentages of cyanopropyl in the columns, which related to the column polarities can not be directly related to the free energy, enthalpy and entropy of transfer from solution to gas.

Key words: Gas liquid chromatography / Stationary phase / Cyanopropyl / Free energy

กิตติกรรมประกาศ

ผู้วิจัยขอกราบขอบพระคุณ รศ.ดร.คณิต กาญจน์สังกร และ ดร.คณิชา กิตติรัตน์พนูลย์ ที่กรุณาเป็นอาจารย์ที่ปรึกษาในการดำเนินงานวิจัย อีกทั้งยังให้ความอนุเคราะห์เอกสารทางวิชาการ ตลอดจนให้คำแนะนำในการแก้ปัญหาต่างๆ เพื่อให้งานวิจัยสำเร็จลุล่วงไปได้ด้วยดี และ ขอขอบพระคุณ พศ.ดร. รัตนชัย ไพรินทร์ ดร. กรณ์กนก อายุสุข และ ดร.จินดารัตน์ โตกมลธรรม ที่กรุณาให้คำแนะนำและแก้ไขตลอดจนร่วมเป็นกรรมการในการสอบวิทยานิพนธ์ในครั้งนี้

ท้ายนี้ข้าพเจ้าขอกราบขอบพระคุณอาจารย์ และ เจ้าหน้าที่ คณะทรัพยากรชีวภาพและเทคโนโลยี ทุกๆ ท่านที่ได้มีส่วนช่วยเหลือรวมทั้งพี่ๆ เพื่อนๆ คณะทรัพยากรชีวภาพและเทคโนโลยีทุกๆ ท่านที่มิได้กล่าวนามไว้ในที่นี้ประโภชน์อันใดที่เกิดจากงานวิจัยนี้ย่อมมีผลมาจากการความกรุณาของทุกท่านดังกล่าวข้างต้นข้าพเจ้ารู้สึกซาบซึ้งเป็นอย่างยิ่ง จึงได้กราบขอบพระคุณอย่างสูงไว้ ณ โอกาสนี้

สารบัญ

| | หน้า |
|--|-------|
| บทคัดย่อภาษาไทย | ๑ |
| บทคัดย่อภาษาอังกฤษ | ๒ |
| กิตติกรรมประกาศ | ๓ |
| สารบัญ | ๔ |
| รายการตาราง | ๕ |
| รายการรูปประกอบ | ๖ |
| รายการสัญลักษณ์ | ๗ |
| ประมวลศัพท์และคำย่อ | ๘ |
| บทที่ | 1 |
| 1. บทนำ | |
| 1.1 ความสำคัญและที่มาของงานวิจัย | 1 |
| 1.2 วัตถุประสงค์ของงานวิจัย | 4 |
| 1.3 ขอบเขตของงานวิจัย | 4 |
| 1.4 ประโยชน์ที่คาดว่าจะได้รับ | 5 |
| 2. ทฤษฎี | 6 |
| 2.1 แก๊สโคลามาโตกราฟี (Gas Chromatography) | 6 |
| 2.1.1 หลักการของแก๊สโคลามาโตกราฟี | 6 |
| 2.1.2 องค์ประกอบของเครื่องแก๊สโคลามาโตกราฟ | 7 |
| 2.1.2.1 ระบบแก๊ส (Gas supply unit) | 7 |
| 2.1.2.2 ระบบฉีดสารตัวอย่าง (Sampling unit) | 8 |
| 2.1.2.3 คอลัมน์ (Column) | 9 |
| 2.1.2.4 ตู้ควบคุมอุณหภูมิให้กับคอลัมน์ (Column oven) | 11 |
| 2.1.2.5 เครื่องตรวจวัด (Detector) | 11 |
| 2.1.2.6 เครื่องจดบันทึก (Recorder) | 13 |
| 2.1.2.7 องค์ประกอบส่วนอื่นๆ ของแก๊สโคลามาโตกราฟี | 13 |

หน้า

| | |
|---|---------------|
| 2.2 วัฏภาคนิ่ง (Stationary phase) ที่ใช้ในแก๊สโครมาโทกราฟีแบบแก๊ส-ของเหลว | 15 |
| 2.2.1 วัฏภาคของเหลว (Liquid Phase) | 15 |
| 2.2.2 วัสดุรองรับ (Solid supports) | 19 |
| 2.3 ทฤษฎีการแยกสารของแก๊สโครมาโทกราฟี | 21 |
| 2.4 ทฤษฎีการเคลื่อนของสารในแก๊สโครมาโทกราฟีแบบแก๊ส-ของเหลว | 27 |
| 2.5 การวิเคราะห์เอกลักษณ์สารด้วยแก๊สโครมาโทกราฟี | 29 |
| 2.5.1 การใช้ช่วงมูลค่าเวลาคงค้าง (Retention Time) | 29 |
| 2.5.2 การใช้ค่าลอกอัลกิเมี้ยเวลาคงค้าง | 30 |
| 2.5.3 การใช้ค่าคงค้างสัมพath (Relative retention; α) | 31 |
| 2.5.4 ดัชนีคงค้าง (Retention Index; I) | 31 |
| 2.5.5 ความยาวโซ่อ่อนเทียบเท่า (Equivalent Chain Length; ECL) | 32 |
| 2.6 ลิปิด (Lipids) | 33 |
| 2.6.1 การจำแนกชนิดของลิปิด | 33 |
| 2.6.2 กรดไขมัน (Fatty acids) | 34 |
| 2.6.3 กรดไฮดรอกซี (hydroxy fatty acids) | 35 |
| 2.6.4 ไขมันแอกออลอล (fatty alcohols) | 36 |
| 2.6.5 ไฮโดรคาร์บอน (hydrocarbons) | 36 |
| 2.7 งานวิจัยที่เกี่ยวข้อง | 37 |
| 2.7.1 การใช้คอลัมน์ซึ่งมีวัฏภาคนิ่งที่มีความเป็นขั้ว (polarity) ใน GLC | 37 |
| 2.7.2 ทฤษฎีทางอุณหพลศาสตร์ (Thermodynamic) ในแก๊สโครมาโทกราฟี | 38 |
| 2.7.3 การทำนายค่าเวลาคงค้างของสารในแก๊สโครมาโทกราฟี | 39 |
| 3. อุปกรณ์และวิธีดำเนินงานวิจัย | 40 |
| 3.1 สารเคมี | 40 |
| 3.1.1 สารมาตรฐาน | 40 |
| 3.1.2 สารเคมีที่ใช้ในการเตรียมตัวอย่าง | 41 |
| 3.1.3 แก๊ส | 41 |
| 3.2 วัสดุอุปกรณ์ | 41 |
| 3.2.1 เครื่องแก๊สโครมาโทกราฟ (Gas Chromatograph) | 41 |
| 3.2.2 คอลัมน์ | 41 |

| | |
|--|-----------|
| หน้า | |
| 3.2.3 วัสดุอุปกรณ์อื่นๆ | 42 |
| 3.3 วิธีการดำเนินการวิจัย | 42 |
| | |
| 4. ผลการศึกษาและวิจารณ์ผล | 43 |
| 4.1 ผลค่าคงตัว a, b, c และ d ของคอลัมน์ GLC ที่เปอร์เซ็นต์ไซยาโนโพรพิวต่างๆ | 43 |
| 4.1.1 ค่าคงตัว a, b, c และ d ของคอลัมน์ SP-2340 | 43 |
| 4.1.2 ค่าคงตัว a, b, c และ d ของคอลัมน์ RTX-2330 | 46 |
| 4.1.3 ค่าคงตัว a, b, c และ d ของคอลัมน์ DB-225 | 49 |
| 4.1.4 ค่าคงตัว a, b, c และ d ของคอลัมน์ BP-10 | 52 |
| 4.1.5 ค่าคงตัว a, b, c และ d ของคอลัมน์ ZB-1 | 55 |
| 4.2 ผลค่า ΔG_0 และ δG จากสารตัวอย่างที่แยกได้จากคอลัมน์ | 59 |
| 4.2.1 ค่า ΔG_0 และ δG ของคอลัมน์ SP-2340 | 59 |
| 4.2.2 ค่า ΔG_0 และ δG ของคอลัมน์ RTX-2330 | 60 |
| 4.2.3 ค่า ΔG_0 และ δG ของคอลัมน์ DB-225 | 61 |
| 4.2.4 ค่า ΔG_0 และ δG ของคอลัมน์ BP-10 | 62 |
| 4.2.5 ค่า ΔG_0 และ δG ของคอลัมน์ ZB-1 | 63 |
| | |
| 5. สรุปผลการทดลองและข้อเสนอแนะ | 68 |
| 5.1 สรุปผลการทดลอง | 68 |
| 5.2 ข้อเสนอแนะ | 68 |
| | |
| เอกสารอ้างอิง | 70 |
| | |
| ภาคผนวก | 74 |
| ก. ตารางค่าเวลาคงค้างไม่ปรับแก้ของสารกลุ่มไฮโดรคาร์บอน กลุ่มกรดไขมัน เมทิลเอสเทอร์และกลุ่มไขมันแอกโกลอชอล์ ที่แยกบนคอลัมน์ SP-2340, RTX-2330, DB-225, BP-10 และ ZB-1 | 74 |
| ข. ตารางเปรียบเทียบค่าเวลาคงค้างที่ได้จากการคำนวณกับค่าเวลาคงค้างจากการทดลอง ของสารกลุ่มไฮโดรคาร์บอน กลุ่มกรดไขมันเมทิลเอสเทอร์ และกลุ่มไขมันแอกโกลอชอล์ | 83 |

| | |
|--|------------|
| | หน้า |
| ค. แสดงหน้าจอโปรแกรม Microsoft Excel Version 8.0 ที่ใช้ในการคำนวณหา ค่าเวลาคงค้างและจำนวนการ์บอนของสารกลุ่มไฮโดรคาร์บอนที่เยกบน คงลัมน์ SP-2340 ที่อุณหภูมิ 130-150 องศาเซลเซียส | 99 |
| ประวัติผู้วิจัย | 102 |

รายการตาราง

| ตาราง | หน้า |
|---|------|
| 2.1 ลักษณะเฉพาะของระบบมีดสารตัวอ่ายที่เป็นแบบ split, splitless และ on-column injection | 8 |
| 2.2 คอลัมน์แบบแคปิลารี (Capillary column) ชนิดต่างๆ | 10 |
| 2.3 คุณสมบัติของเครื่องตรวจวัดชนิดต่างๆ | 14 |
| 2.4 วัสดุภาชนะเหลวประเภทไฮโดรคาร์บอนที่ใช้ใน GLC (Hydrocarbon liquid phases in GLC) | 16 |
| 2.5 วัสดุภาชนะเหลวที่มีหมู่แทนที่ในโครงสร้าง (Cyano-Substituted dimethylsilicone liquid phases) | 18 |
| 2.6 ค่าคงตัวแมคเรย์โนลด์ (McReynold constant) สำหรับวัสดุภาชนะที่ใช้กันทั่วไป | 20 |
| 4.1 ค่าลอการิทึมธรรมชาติของตัวประกอบคงค้าง ($\ln k$) ของสารกลุ่มไฮโดรคาร์บอน (<i>n</i> -alkanes) ที่แยกบน คอลัมน์ SP-2340 | 43 |
| 4.2 ค่าลอการิทึมธรรมชาติของตัวประกอบคงค้าง ($\ln k$) ของสารกลุ่มกรดไขมัน-เมทิลเอสเทอร์ (FAMEs) ที่แยกบนคอลัมน์ SP-2340 | 44 |
| 4.3 ค่าลอการิทึมธรรมชาติของตัวประกอบคงค้าง ($\ln k$) ของสารกลุ่มไขมันและแอลกอฮอล์ (fatty alcohols) ที่แยกบนคอลัมน์ SP-2340 | 45 |
| 4.4 ค่าลอการิทึมธรรมชาติของตัวประกอบคงค้าง ($\ln k$) ของสารกลุ่มไฮโดรคาร์บอน (<i>n</i> -alkanes) ที่แยกบน คอลัมน์ RTX-2330 | 46 |
| 4.5 ค่าลอการิทึมธรรมชาติของตัวประกอบคงค้าง ($\ln k$) ของสารกลุ่มกรดไขมัน-เมทิลเอสเทอร์ (FAMEs) ที่แยกบนคอลัมน์ RTX-2330 | 47 |
| 4.6 ค่าลอการิทึมธรรมชาติของตัวประกอบคงค้าง ($\ln k$) ของสารกลุ่มไขมันและแอลกอฮอล์ (fatty alcohols) ที่แยกบนคอลัมน์ RTX-2330 | 48 |
| 4.7 ค่าลอการิทึมธรรมชาติของตัวประกอบคงค้าง ($\ln k$) ของสารกลุ่มไฮโดรคาร์บอน (<i>n</i> -alkanes) ที่แยกบนคอลัมน์ DB-225 | 49 |
| 4.8 ค่าลอการิทึมธรรมชาติของตัวประกอบคงค้าง ($\ln k$) ของสารกลุ่มกรดไขมัน-เมทิลเอสเทอร์ (FAMEs) ที่แยกบนคอลัมน์ DB-225 | 50 |
| 4.9 ค่าลอการิทึมธรรมชาติของตัวประกอบคงค้าง ($\ln k$) ของสารกลุ่มไขมันและแอลกอฮอล์ (fatty alcohols) ที่แยกบนคอลัมน์ DB-225 | 51 |

| ตาราง | หน้า |
|---|------|
| 4.10 ค่าลอการิทึมธรรมชาติของตัวประกอบคงค้าง ($\ln k$) ของสารกลุ่มไฮโดรคาร์บอน (<i>n</i> -alkanes) ที่แยกบนคอลัมน์ BP-10 | 52 |
| 4.11 ค่าลอการิทึมธรรมชาติของตัวประกอบคงค้าง ($\ln k$) ของสารกลุ่มกรดไขมัน เมทิลเอสเทอร์ (FAMEs) ที่แยกบนคอลัมน์ BP-10 | 53 |
| 4.12 ค่าลอการิทึมธรรมชาติของตัวประกอบคงค้าง ($\ln k$) ของสารกลุ่มไขมันแอลกอฮอล์ (fatty alcohols) ที่แยกบนคอลัมน์ BP-10 | 54 |
| 4.13 ค่าลอการิทึมธรรมชาติของตัวประกอบคงค้าง ($\ln k$) ของสารกลุ่มไฮโดรคาร์บอน (<i>n</i> -alkanes) ที่แยกบน คอลัมน์ ZB-1 | 55 |
| 4.14 ค่าลอการิทึมธรรมชาติของตัวประกอบคงค้าง ($\ln k$) ของสารกลุ่มกรดไขมัน- เมทิลเอสเทอร์ (FAMEs) ที่แยกบนคอลัมน์ ZB-1 | 56 |
| 4.15 ค่าลอการิทึมธรรมชาติของตัวประกอบคงค้าง ($\ln k$) ของสารกลุ่มไขมันแอลกอฮอล์ (fatty alcohols) ที่แยกบนคอลัมน์ ZB-1 | 57 |
| 4.16 แสดงค่าคงตัว a, b, c และ d ของหมู่ฟังก์ชันต่างๆ ที่แยกบนคอลัมน์ SP-2340, RTX-2330, DB-225, BP-10 และ ZB-1 | 58 |
| 4.17 เปรียบเทียบค่า ΔG_0 และ δG ของสารกลุ่มไฮโดรคาร์บอนที่แยกบนคอลัมน์ SP-2340, RTX-2330, DB-225, BP-10 และ ZB-1 | 64 |
| 4.18 เปรียบเทียบค่า ΔG_0 และ δG ของสารกลุ่มกรดไขมันเมทิลเอสเทอร์ที่แยกบนคอลัมน์ SP-2340, RTX-2330, DB-225, BP-10 และ ZB-1 | 65 |
| 4.19 เปรียบเทียบค่า ΔG_0 และ δG ของสารกลุ่มกรดไขมันแอลกอฮอล์ที่แยกบนคอลัมน์ SP-2340, RTX-2330, DB-225, BP-10 และ ZB-1 | 66 |
| ก.1 แสดงค่าเวลาคงค้างไม่ปรับแก้ของสารมาตรฐานกลุ่มไฮโดรคาร์บอน (<i>n</i> -alkanes) ที่แยกบนคอลัมน์ SP-2340 | 75 |
| ก.2 แสดงค่าเวลาคงค้างไม่ปรับแก้ของสารมาตรฐานกลุ่มกรดไขมันเมทิลเอสเทอร์ (FAMEs) ที่แยกบนคอลัมน์ SP-2340 | 75 |
| ก.3 แสดงค่าเวลาคงค้างไม่ปรับแก้ของสารมาตรฐานกลุ่มไขมันแอลกอฮอล์ (fatty alcohols) ที่แยกบนคอลัมน์ SP-2340 | 76 |
| ก.4 แสดงค่าเวลาคงค้างไม่ปรับแก้ของสารมาตรฐานกลุ่มไฮโดรคาร์บอน (<i>n</i> -alkanes) ที่แยกบนคอลัมน์ RTX-2330 | 76 |
| ก.5 แสดงค่าเวลาคงค้างไม่ปรับแก้ของสารมาตรฐานกลุ่มกรดไขมันเมทิลเอสเทอร์ (FAMEs) ที่แยกบนคอลัมน์ RTX-2330 | 77 |

| ตาราง | หน้า |
|--|------|
| ก.6 แสดงค่าเวลาคงค้างไม่ปรับแก้ของสารกลุ่มไขมันแอลกอฮอล์ (fatty alcohols) ที่แยกบนคอลัมน์ RTX-2330 | 77 |
| ก.7 แสดงค่าเวลาคงค้างไม่ปรับแก้ของสารกลุ่มไฮโดรคาร์บอน (<i>n</i> -alkanes) ที่แยกบนคอลัมน์ DB-225 | 78 |
| ก.8 แสดงค่าเวลาคงค้างไม่ปรับแก้ของสารกลุ่มกรดไขมันเมทิลเอสเทอร์ (FAMEs) ที่แยกบนคอลัมน์ DB-225 | 78 |
| ก.9 แสดงค่าเวลาคงค้างไม่ปรับแก้ของสารกลุ่มไขมันแอลกอฮอล์ (fatty alcohols) ที่แยกบนคอลัมน์ DB-225 | 79 |
| ก.10 แสดงค่าเวลาคงค้างไม่ปรับแก้ของสารกลุ่มไฮโดรคาร์บอน (<i>n</i> -alkanes) ที่แยกบนคอลัมน์ BP-10 | 79 |
| ก.11 แสดงค่าเวลาคงค้างไม่ปรับแก้ของสารกลุ่มกรดไขมันเมทิลเอสเทอร์ (FAMEs) ที่แยกบนคอลัมน์ BP-10 | 80 |
| ก.12 แสดงค่าเวลาคงค้างไม่ปรับแก้ของสารกลุ่มไขมันแอลกอฮอล์ (fatty alcohols) ที่แยกบนคอลัมน์ BP-10 | 80 |
| ก.13 แสดงค่าเวลาคงค้างไม่ปรับแก้ของสารกลุ่มไฮโดรคาร์บอน (<i>n</i> -alkanes) ที่แยกบนคอลัมน์ ZB-1 | 81 |
| ก.14 แสดงค่าเวลาคงค้างไม่ปรับแก้ของสารกลุ่มกรดไขมันเมทิลเอสเทอร์ (FAMEs) ที่แยกบนคอลัมน์ ZB-1 | 81 |
| ก.15 แสดงค่าเวลาคงค้างไม่ปรับแก้ของสารกลุ่มไขมันแอลกอฮอล์ (fatty alcohols) ที่แยกบนคอลัมน์ ZB-1 | 82 |
| ข.1 เปรียบเทียบค่าเวลาคงค้างที่ได้จากการคำนวณกับค่าเวลาคงค้างจากการทดลองของสารกลุ่มไฮโดรคาร์บอน (<i>n</i> -alkanes) ที่แยกบนคอลัมน์ SP-2340 | 84 |
| ข.2 เปรียบเทียบค่าเวลาคงค้างที่ได้จากการคำนวณกับค่าเวลาคงค้างจากการทดลองของสารกลุ่มกรดไขมันเมทิลเอสเทอร์ (FAMEs) C ₁₆ -C ₂₂ ที่แยกบนคอลัมน์ SP-2340 | 85 |
| ข.3 เปรียบเทียบค่าเวลาคงค้างที่ได้จากการคำนวณกับค่าเวลาคงค้างจากการทดลองของสารกลุ่มไขมันแอลกอฮอล์ (fatty alcohols) C ₁₂ -C ₂₂ ที่แยกบนคอลัมน์ SP-2340 | 86 |
| ข.4 เปรียบเทียบค่าเวลาคงค้างที่ได้จากการคำนวณกับค่าเวลาคงค้างจากการทดลองของสารกลุ่มไฮโดรคาร์บอน (<i>n</i> -alkanes) C ₁₆ -C ₂₂ ที่แยกบนคอลัมน์ RTX-2330 | 87 |

| ตาราง | หน้า |
|---|------|
| ๗.๕ เปรียบเทียบค่าเวลาคงค้างที่ได้จากการคำนวณกับค่าเวลาคงค้างจากการทดสอบของสารกลุ่มกรดไขมันเมทิลเอสเทอร์ (FAMEs) C_{16} - C_{22} ที่แยกบนคอลัมน์ RTX-2330 | 88 |
| ๗.๖ เปรียบเทียบค่าเวลาคงค้างที่ได้จากการคำนวณกับค่าเวลาคงค้างจากการทดสอบของสารกลุ่มไขมันแอลกอฮอล์ (fatty alcohols) C_{12} - C_{22} ที่แยกบนคอลัมน์ RTX-2330 | 89 |
| ๗.๗ เปรียบเทียบค่าเวลาคงค้างที่ได้จากการคำนวณกับค่าเวลาคงค้างจากการทดสอบของสารกลุ่มไฮโดรคาร์บอน (<i>n</i> -alkanes) C_{16} - C_{22} ที่แยกบนคอลัมน์ DB-225 | 90 |
| ๗.๘ เปรียบเทียบค่าเวลาคงค้างที่ได้จากการคำนวณกับค่าเวลาคงค้างจากการทดสอบของสารกลุ่มกรดไขมันเมทิลเอสเทอร์ (FAMEs) C_{16} - C_{22} ที่แยกบนคอลัมน์ DB-225 | 91 |
| ๗.๙ เปรียบเทียบค่าเวลาคงค้างที่ได้จากการคำนวณกับค่าเวลาคงค้างจากการทดสอบของสารกลุ่มไขมันแอลกอฮอล์ (fatty alcohols) C_{12} - C_{22} ที่แยกบนคอลัมน์ DB-225 | 92 |
| ๗.๑๐ เปรียบเทียบค่าเวลาคงค้างที่ได้จากการคำนวณกับค่าเวลาคงค้างจากการทดสอบของสารกลุ่มไฮโดรคาร์บอน (<i>n</i> -alkanes) C_{16} - C_{22} ที่แยกบนคอลัมน์ BP-10 | 93 |
| ๗.๑๑ เปรียบเทียบค่าเวลาคงค้างที่ได้จากการคำนวณกับค่าเวลาคงค้างจากการทดสอบของสารกลุ่มกรดไขมันเมทิลเอสเทอร์ (FAMEs) C_{16} - C_{22} ที่แยกบนคอลัมน์ BP-10 | 94 |
| ๗.๑๒ เปรียบเทียบค่าเวลาคงค้างที่ได้จากการคำนวณกับค่าเวลาคงค้างจากการทดสอบของสารกลุ่มไขมันแอลกอฮอล์ (fatty alcohols) C_{12} - C_{22} ที่แยกบนคอลัมน์ BP-10 | 95 |
| ๗.๑๓ เปรียบเทียบค่าเวลาคงค้างที่ได้จากการคำนวณกับค่าเวลาคงค้างจากการทดสอบของสารกลุ่มไฮโดรคาร์บอน (<i>n</i> -alkanes) C_{16} - C_{22} ที่แยกบนคอลัมน์ ZB-1 | 96 |
| ๗.๑๔ เปรียบเทียบค่าเวลาคงค้างที่ได้จากการคำนวณกับค่าเวลาคงค้างจากการทดสอบของสารกลุ่มกรดไขมันเมทิลเอสเทอร์ (FAMEs) C_{16} - C_{22} ที่แยกบนคอลัมน์ ZB-1 | 97 |
| ๗.๑๕ เปรียบเทียบค่าเวลาคงค้างที่ได้จากการคำนวณกับค่าเวลาคงค้างจากการทดสอบของสารกลุ่มไขมันแอลกอฮอล์ (fatty alcohols) C_{12} - C_{22} ที่แยกบนคอลัมน์ ZB-1 | 98 |

รายการรูปประกอบ

รูป

หน้า

| | |
|---|-----|
| 2.1 องค์ประกอบของเครื่องแก๊สโคมไฟต์ก๊าซ | 7 |
| 2.2 โคมไฟต์ก๊าซแสดงการวัดค่าเวลาคงค้างชนิดต่างๆ | 29 |
| 2.3 แสดงผลกราฟจากการใช้ขนาดของสารตัวอย่างต่อค่าเวลาจะ | 30 |
| 2.4 กราฟความสัมพันธ์เชิงเส้นระหว่างจำนวนการ์บอนกับค่า log (เวลาคงค้าง) ของสารในอนุกรรมเดียวกัน | 31 |
| ค.1 แสดง worksheet ของ Microsoft Excel Version 8.0 ที่ใช้ในการคำนวณหา ค่าเวลาคงค้างและจำนวนการ์บอนของสารกลุ่ม ไฮโดรคาร์บอนที่แยกบน คลอสัม SP-2340 | 100 |

รายการสัญลักษณ์

| | | |
|--------------|---|---|
| A_s | = | พื้นที่ผิวของสารคุณซับ |
| C_M | = | ความเข้มข้นของสารในวัฏภาคเคลื่อนที่ |
| C_s | = | ความเข้มข้นของสารในวัฏภาคนิ่ง |
| d_f | = | ความหนาของฟิล์ม |
| F | = | อัตราการไหลของวัฏภาคเคลื่อนที่ |
| I | = | ค่าดัชนีคงค้าง โගเวทซ์ |
| K | = | สัมประสิทธิ์การแบ่งละลาย (Partition coefficient) |
| k | = | ตัวประกอบคงค้าง (Retention Factor) |
| R | = | ค่าคงตัวของแก๊ส (Universal gas constant) |
| R_f | = | ปริมาณสารในวัฏภาคเคลื่อนที่ต่อปริมาณสารในคลัมน์หรือ ระยะทางที่สารเคลื่อนที่ต่อระยะทางที่วัฏภาคเคลื่อนที่เคลื่อนที่ไป |
| T | = | อุณหภูมิสัมบูรณ์ (Kelvin) |
| t | = | เวลา (นาที) |
| t_M | = | ค่าเวลาคงค้างของสารไม่คงค้าง |
| t_R | = | ค่าเวลาคงค้างไม่ปรับแก้ของสารตัวอย่าง (Unadjusted retention time) |
| t'_R | = | ค่าเวลาคงค้างปรับแก้ของสารตัวอย่าง (Adjusted retention time) |
| t_s | = | ค่าเวลาที่ไม่เลกฤทธิ์คุณซับหรือเวลาที่ไม่เลกฤทธิ์ในวัฏภาคนิ่ง |
| V_M | = | ปริมาตรของวัฏภาคเคลื่อนที่ |
| V_s | = | ปริมาตรของวัฏภาคนิ่ง |
| α | = | ค่าอีดเนนี่แส้มพัทธ์ (Relative retention) |
| β | = | อัตราส่วนปริมาตรวัฏภาคเคลื่อนที่ต่อปริมาตรวัฏภาคนิ่ง |
| δG | = | ค่าพลังงานอิสระที่เปลี่ยนไปต่อหนึ่งหน่วยมิลิลิตร |
| δH | = | ค่าเอนทัลปีของการละลายที่เปลี่ยนแปลงไปต่อหนึ่งหน่วยเมทริกซ์ |
| δS | = | ค่าเอนโทรปีของการละลายที่เปลี่ยนแปลงไปต่อหนึ่งหน่วยเมทริกซ์ |
| $\delta \mu$ | = | ศักย์เคมีที่เปลี่ยนไปต่อหนึ่งหน่วยเมทริกซ์ (one methylene unit) |
| ΔI | = | ค่าคงตัวแมคเรย์โนล์ด (McReynolds constant) |
| ΔG_0 | = | ค่าพลังงานอิสระที่เกิดจากสารที่มีจำนวนคาร์บอนเท่ากับศูนย์ |
| ΔH_0 | = | ค่าเอนทัลปีของการละลายที่เกิดจากสารที่มีจำนวนคาร์บอน เท่ากับศูนย์ |

| | | |
|---------------|---|---|
| ΔS_0 | = | ค่าเออนไทรปีของการละลายที่เกิดจากสารที่มีจำนวนคาร์บอนเท่ากับศูนย์ |
| $\Delta\mu_0$ | = | ความต่างศักย์เคมีมาตรฐานของสารตัวอย่างที่มีจำนวนคาร์บอนอะตอมเป็นศูนย์ |
| ΔG^0 | = | พลังงานอิสระมาตรฐานของการละลาย |
| ΔH^0 | = | เออนทัลปีมาตรฐานของการละลาย (Enthalpy of solution) |
| ΔS^0 | = | เออนทัลปีมาตรฐานของการละลาย (Enthalpy of solution) |
| $\Delta\mu^0$ | = | ความต่างศักย์เคมีมาตรฐานของสารตัวอย่างที่มีจำนวนคาร์บอนอะตอมเป็น z |
| z | = | จำนวนคาร์บอนหรือค่าความยาวคาร์บอน |

ประมวลศัพท์และคำย่อ

| | | |
|--------------------|---|--|
| $^{\circ}\text{C}$ | = | องศาเซลเซียส |
| ECD | = | Electron Capture Detector |
| <i>ECL</i> | = | Equivalent Chain Length |
| FAMEs | = | กรดไขมันเมทิลเอสเทอร์ (Fatty Acid Methy Esters) |
| FID | = | Flame Ionization Detector |
| FPD | = | Flame Photometric Detector |
| GC | = | Gas Chromatography |
| GLC | = | Gas Liquid Chromatography |
| GSC | = | Gas Solid Chromatography |
| GC-MS | = | Gas Chromatography and Mass Spectrometer |
| kcal / mol | = | kilocalories / mol |
| MS | = | Mass Spectrometer |
| NTP | = | Number of Theoretical Plate |
| PID | = | Photoionization Detector |
| PLOT | = | Porous Layer Open Tubular |
| RPC | = | Reverse-Phase Chromatography |
| RP-HPLC | = | Reverse-Phase High Performance Liquid Chromatography |
| SCOT | = | Solid Coated Open Tubular |
| TCD | = | Thermal Conductivity Detector |
| WCOT | = | Wall Coated Open Tubular |

บทที่ 1 บทนำ

1.1 ความสำคัญและที่มาของงานวิจัย

แก๊สโคลามาโตกราฟีเป็นเทคนิคที่ใช้ในการแยกสารผสมที่สามารถเปลี่ยนเป็นไอได้ที่อุณหภูมิคงคลั่นน์ที่กำหนด ซึ่งภายใน colum จะบรรจุด้วยวัสดุภาชนะที่เป็นของแข็ง หรือของเหลว และอาศัยการพาของวัสดุภาชนะเคลื่อนที่หรือแก๊สตัวพำทำให้สารผสมเกิดการแยกออกจากกัน

การวิเคราะห์สารด้วยแก๊สโคลามาโตกราฟีแบบแก๊ส-ของเหลว (Gas Liquid Chromatography; GLC) เป็นเทคนิคการแยกสารที่อาศัยหลักการแบ่งละลาย (partition) ของสารตัวอย่างในวัสดุภาชนะที่เป็นของเหลวที่เคลื่อนอยู่ที่ผิว colum หรือเคลื่อนบนผิวของแข็งที่มีคุณสมบัติเชื่อมต่อสารที่ต้องการแยกกับวัสดุภาชนะเคลื่อนที่ สารตัวอย่างจะแยกออกจากกันได้หรือไม่ นักจิตวิทยาจะต้องเลือก colum ให้เหมาะสมกับสารที่ต้องการแยก ประเภทของ colum สามารถแบ่งออกตามสภาพขั้วของวัสดุภาชนะที่บรรจุอยู่ภายใน colum ได้แก่ colum ที่มีสภาพขั้วมาก เช่น colum SP-2340 ที่มีไชยาโนโพรพิว 100 เปอร์เซ็นต์ (100% cyanopropyl) เป็นวัสดุภาชนะที่มีสภาพขั้วปานกลาง เช่น colum DB-225 ประกอบด้วยไชยาโนโพรพิว 50 เปอร์เซ็นต์ (50% cyanopropyl) เป็นวัสดุภาชนะที่มีสภาพขั้วน้อย เช่น colum BP-10 ประกอบด้วยไชยาโนโพรพิว 14 เปอร์เซ็นต์ (14% cyanopropyl) เป็นวัสดุภาชนะที่ไม่มีขั้ว ได้แก่ colum ZB-1

จากรายงานของ Becerra และคณะ [1] ทำการศึกษาผลของการมีหมู่ไชยาโนโพรพิว (cyanopropyl group) ในวัสดุภาชนะที่มีลักษณะเป็นขั้วเพิ่มขึ้นแล้ว ยังส่งผลต่อค่าพลังงานอิสระของการละลายต่ำมา Harynuk และคณะ [2] ได้มีการใช้ colum ที่มีเปอร์เซ็นต์ไชยาโนโพรพิวต่างกันคือ 60, 70, 80 และ 90 เปอร์เซ็นต์ เป็นวัสดุภาชนะที่เพื่อแยกสารกลุ่มกรดไขมันเมทิลเอสเทอร์ (FAMEs) ที่มีจำนวนคราร์บอน 8-30 อะตอม พบว่า colum ที่มีเปอร์เซ็นต์ไชยาโนโพรพิว 60, 70, 80 และ 90 เปอร์เซ็นต์นั้นสามารถแยกสารผสมกลุ่มกรดไขมันเมทิลเอสเทอร์ดังกล่าวได้ดีเหมือนกัน แต่ค่าเวลาคงค้างของสารชนิดเดียวกันจะแตกต่างกัน คือค่าเวลาคงค้างของสารใน colum ที่มีเปอร์เซ็นต์ไชยาโนโพรพิวสูงจะน้อยกว่าค่าเวลาคงค้างใน colum ที่มีเปอร์เซ็นต์ไชยาโนโพรพิวต่ำ โดยที่ไม่ได้อธิบายว่าเหตุใดค่าเวลาคงค้างของสารที่แยกได้จาก colum ที่มีเปอร์เซ็นต์ไชยาโนโพรพิวต่างกันนั้นจึงแตกต่างกัน Krisnangkura และคณะ [3] ได้นำความรู้ทางเทอร์โนไคนา mik ส์มาใช้ทำงานค่าเวลาคงค้างของสารที่สภาวะอุณหภูมิกที่โดยไม่ใช้สารอ้างอิง และพบว่าสามารถทำงานการเคลื่อนที่ของสารตัวอย่างดังสมการ (1.1)

$$\ln\left(\frac{t_R - t_M}{t_M}\right) = \frac{\Delta S_0}{R} - \ln\beta + \frac{z\delta S}{R} - \frac{\Delta H_0}{RT} - \frac{z\delta H}{RT} \quad (1.1)$$

หรือ $\ln k = a + bz + \frac{c}{T} + \frac{dz}{T}$ (1.2)

โดย $a = \frac{\Delta S_0}{R} - \ln\beta$, $b = \frac{\delta S}{R}$, $c = -\frac{\Delta H_0}{R}$, $d = -\frac{\delta H}{R}$

เมื่อ k = ค่าตัวประกอบคงค้างมีค่าเท่ากับ $\left(\frac{t_R - t_M}{t_M}\right)$

t_M = ค่าเวลาคงค้างของสารไม่คงค้าง

t_R = ค่าเวลาคงค้าง (ไม่ปรับแก้) ของสารตัวอย่าง

T = อุณหภูมิคงลัมน์ (เคลวิน)

z = จำนวนคาร์บอนหรือค่าความยาวคาร์บอนเทียบเท่า

ΔH_0 = ค่าเอนทัลปีของการละลายที่เกิดจากสารที่มีจำนวนคาร์บอนเท่ากับศูนย์

δH = ค่าเอนทัลปีของการละลายที่เปลี่ยนแปลงไปต่อหนึ่งหน่วยเมทิลิน

ΔS_0 = ค่าเอนโทรปีของการละลายที่เกิดจากสารที่มีจำนวนคาร์บอนเท่ากับศูนย์

δS = ค่าเอนโทรปีของการละลายที่เปลี่ยนแปลงไปต่อหนึ่งหน่วยเมทิลิน

R = ค่าคงที่ของแก๊ส (Universal gas constant)

β = อัตราส่วนระหว่างปริมาตรของวัตถุภาคเคลื่อนที่ต่อปริมาตรของวัตถุภาคนิ่ง

จากการหาค่าคงตัวของคงลัมน์ที่ได้คือ a , b , c และ d ซึ่งได้จากการแทนค่าเวลาคงค้างของสารที่แยกได้จากการทดลองลงในสมการ (1.2) ค่าคงตัวทั้งสี่ของคงลัมน์จะเป็นค่าเฉพาะตัวของสารในหมู่ฟังก์ชันหนึ่งๆ กับวัตถุภาคนิ่งหนึ่งๆ เท่านั้น ซึ่ง James และ Martin [4] ได้รายงานค่าพลังงานอิสระของการละลาย (ΔG^0) ของสารในอนุกรมฟังชันเดียวกันระหว่างวัตถุภาคเคลื่อนที่กับวัตถุภาคนิ่งในแก๊สโคลโนมาโตกราฟี ดังสมการ (1.3)

$$\Delta G^0 = \Delta G_0 + z\delta G \quad (1.3)$$

เมื่อ ΔG_0 = ค่าพลังงานอิสระที่เกิดจากสารที่มีจำนวนคาร์บอนเท่ากับศูนย์
 δG = ค่าพลังงานอิสระที่เปลี่ยนไปต่อหนึ่งหมู่เมทิลีน
 z = จำนวนคาร์บอนอะตอมในโภคภัณฑ์

โดยค่า ΔG^0 ของสารมีความสัมพันธ์เชิงเส้นกับ ΔH^0 (ค่าเออนทัลปีมาตรฐาน; standard enthalpy) และ ΔS^0 (ค่าเออนໂගรีปีมาตรฐาน; standard entropy) ตามอุณหพลศาสตร์เบื้องต้นคือ

$$\Delta G^0 = \Delta H^0 - T\Delta S^0 \quad (1.4)$$

เมื่อแทนค่าสมการ (1.4) ในสมการ (1.3) จะได้

$$\Delta G^0 = \Delta H_0 - T\Delta S_0 + z\delta H - zT\delta S \quad (1.5)$$

เมื่อนำมาเขียนความสัมพันธ์กับสมการของ Krisnangkura และคณะ [3] โดยแทนค่าสมการ (1.2) และสมการ (1.5) ลงในสมการ James และ Martin (1.3) ดังนี้

$$\Delta G^0 = (-cR) - (a + \ln \beta)RT + z(-dR - bRT) \quad (1.6)$$

เมื่อค่า ΔG_0 คือ $(-cR) - (a + \ln \beta)RT$
 δG คือ $(-dR - bRT)$

สมการ (1.6) เป็นสมการที่แสดงความสัมพันธ์ระหว่างค่าทางเทอร์โมไคนาไมก์ส์ คือค่าคงตัว a, b, c และ d ค่าพลังงานอิสระ อุณหภูมิ และจำนวนคาร์บอนอะตอมของสารในแก๊สโคลนาร์โน้ตกราฟี ดังนั้นในงานวิจัยนี้จึงได้นำความสัมพันธ์ตามสมการ (1.6) มาใช้ในการอธิบายความสัมพันธ์ระหว่างค่าทางเทอร์โมไคนาไมก์ส์กับสภาพขั้วของคลัมน์ที่มีเปอร์เซ็นต์โซยาโนโพรพิวต่างๆ กันในแก๊สโคลนาร์โน้ตกราฟีแบบแก๊ส-ของเหลว โดยใช้สารลิปิดกลุ่มแอลกอฮอล์ (alcohols) กลุ่มไฮโดรคาร์บอน (*n*-alkanes) และกลุ่มกรดไขมันเมทิลเอสเทอร์ (FAMEs) เป็นสารตัวอย่างในการทดลอง

1.2 วัตถุประสงค์ของงานวิจัย

- 1.2.1 เพื่อศึกษาพัฒนาระบบการเคลื่อนที่ของสารลิปิด ได้แก่ กลุ่มกรดไขมันเมธิลเอสเทอร์ (FAMEs) กลุ่มไขมันแอลกอฮอล์ (fatty alcohols) และกลุ่มไฮโดรคาร์บอน (*n*-alkanes) บนคอลัมน์แบบแคปิลารี ที่มีเปอร์เซ็นต์ไซยาโน โพร์พิวต่างกัน โดยอาศัยสมการทำนายการเคลื่อนที่สารในแก๊สโคลามาโทกราฟี แบบแก๊ส-ของเหลว (GLC) ชี้งเสนอด้วย Krisnangkura และคณะ [3]
- 1.2.2 เพื่อเชิงข่ายความสัมพันธ์ระหว่างค่าพลังงานอิสระของการละลายกับค่าคงตัวในสมการทำนาย การเคลื่อนที่สารในแก๊สโคลามาโทกราฟีแบบแก๊ส-ของเหลว ของสารลิปิด ได้แก่ กลุ่มกรดไขมันเมธิล-es เอสเทอร์ (FAMEs) กลุ่มไขมันแอลกอฮอล์ (fatty alcohols) และกลุ่มไฮโดรคาร์บอน (*n*-alkanes)
- 1.2.3 เพื่อเชิงข่ายความสัมพันธ์ระหว่างค่าพลังงานอิสระของการละลายกับสภาพขั้วของคอลัมน์ที่มี เปอร์เซ็นต์ไซยาโน โพร์พิวต่างๆ กันใน GLC ของสารลิปิด ได้แก่ กลุ่มไฮโดรคาร์บอน (*n*-alkanes) กลุ่มกรดไขมันเมธิล-es เอสเทอร์ (FAMEs) และกลุ่มไขมันแอลกอฮอล์ (fatty alcohols)

1.3 ขอบเขตของงานวิจัย

- 1.3.1 นำคอลัมน์แบบแคปิลารีที่มีเปอร์เซ็นต์ไซยาโน โพร์พิวต่างกัน (RTX-2330, SP-2340, DB-225, BP-10 และ ZB-1) มาใช้ในการแยกสารลิปิด กลุ่มกรดไขมันเมธิล-es เอสเทอร์ (FAMEs) กลุ่มไขมัน แอลกอฮอล์ (alcohols) และกลุ่มไฮโดรคาร์บอน (*n*-alkanes) ใน GLC
- 1.3.2 ศึกษาผลของสภาพความเป็นขั้วของคอลัมน์ที่มีต่อค่าเวลาคงค้างของสารลิปิดทั้ง 3 กลุ่ม
- 1.3.3 ศึกษาพัฒนาระบบการเคลื่อนที่สารใน GLC โดยอาศัยสมการทำนายการเคลื่อนที่สารใน GLC ชี้งเสนอด้วย Krisnangkura และคณะ [3] เพื่อสร้างสมการทำนายการเคลื่อนที่ของสาร ซึ่งได้จากความสัมพันธ์ ระหว่างค่า $\ln k$ อุณหภูมิ และจำนวนการรับอนของสารอินทรีย์ชนิดต่างๆ ในระบบแก๊สโคลามาโทกราฟี
- 1.3.4 วิเคราะห์ค่าพลังงานอิสระตามทฤษฎีอุณหพลศาสตร์ เพื่อนำมาใช้ในการอธิบายความสัมพันธ์ ระหว่างค่าทางเทอร์โม ไคนามิกส์กับสภาพขั้วของคอลัมน์ที่มีเปอร์เซ็นต์ไซยาโน โพร์พิวต่างกัน

1.4 ประโยชน์ที่คาดว่าจะได้รับ

1.4.1 สามารถเข้าใจกลไกการแยกสารลิปิด กลุ่มไฮโดรคาร์บอน (*n*-alkanes) กลุ่มไขมันและกลอโซล์ (alcohols) และกลุ่มกรดไขมันเมทิลเอสเทอร์ (FAMEs) ในคลัมน์แบบเบพิลารี เมื่อคลัมนมีวัฏภาคนิ่งที่มีสภาพขี้ว (polarity) ต่างกัน ได้ดังนี้ เพื่อใช้เป็นแนวทางในการเลือกใช้คลัมน์ที่มีวัฏภาคนิ่งให้มีความจำเพาะและเหมาะสมกับสารตัวอย่างที่ต้องการวิเคราะห์ได้

1.4.2 สามารถอธิบายความสัมพันธ์ระหว่างค่าพลังงานอิสระของการละลายกับค่าคงตัวในสมการทำนายการเคลื่อนที่สารในแก๊สโคมนาโตกราฟิแบบแก๊ส-ของเหลว ของสารประกอบลิปิด 3 กลุ่ม ได้แก่ กลุ่มไฮโดรคาร์บอน (*n*-alkanes) กลุ่มกรดไขมันเมทิลเอสเทอร์ (FAMEs) และกลุ่มไขมันและกลอโซล์ (fatty alcohols)

1.4.3 สามารถอธิบายความสัมพันธ์ระหว่างค่าพลังงานอิสระของการละลายกับสภาพขี้ของคลัมน์ที่มีเปรอร์เซ็นต์ไซยาโนโพรพิวต่างๆ กัน ในแก๊สโคมนาโตกราฟิแบบแก๊ส-ของเหลวของสารลิปิด ได้แก่ กลุ่มไฮโดรคาร์บอน (*n*-alkanes) กลุ่มกรดไขมันเมทิลเอสเทอร์ (FAMEs) และกลุ่มไขมันและกลอโซล์ (fatty alcohols)

บทที่ 2 ทฤษฎี

2.1 แก๊สโคมาโตกราฟี (Gas Chromatography) [5,6,7]

แก๊สโคมาโตกราฟี (Gas Chromatography; GC) เป็นเทคนิคการแยกและวิเคราะห์สารอินทรีย์ที่ใช้กันอยู่ในปัจจุบัน ซึ่งการเริ่มใช้เทคนิคนี้น่าถูกนำไปใช้ในงานการวิเคราะห์กรดbase มันหลังจากนั้น เทคนิคแก๊สโคมาโตกราฟีได้รับการปรับปรุงทั้งในส่วนของเครื่องมือ และในส่วนของเทคนิคที่ใช้จนทำให้สามารถวิเคราะห์สารได้อย่างหลากหลายด้วยความรวดเร็วและแม่นยำมากยิ่งขึ้น

2.1.1 หลักการของแก๊สโคมาโตกราฟี

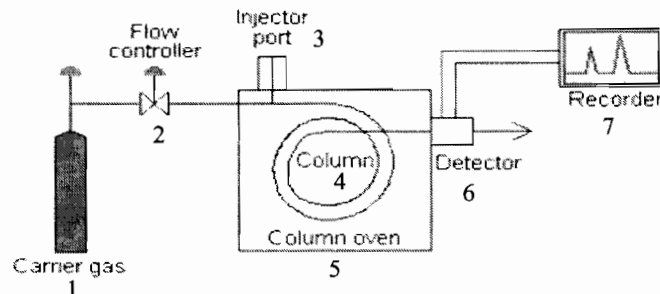
แก๊สโคอมาโตกราฟีเป็นเทคนิคที่ใช้ในการแยกและวิเคราะห์สารผสม ที่สามารถทำให้กลไกเป็นໄโอได้ที่อุณหภูมิคงลักษณะที่กำหนดอย่างเหมาะสม ซึ่งภายในคอลัมน์จะบรรจุด้วยวัสดุภาชนะที่เป็นของแข็ง หรือของเหลวและอาศัยการพาของวัสดุภาชนะเคลื่อนที่ หรือแก๊สตัวพาทำให้สารผสมเกิดการแยกออกจากกัน โดยทำการแยกองค์ประกอบของสารผสมที่กระจายอยู่ระหว่างวัสดุภาชนะที่ไม่สมกันสองวัสดุ คือ วัสดุภาชนะที่静止不动 (stationary phase) และวัสดุภาชนะเคลื่อนที่ (mobile phase) องค์ประกอบของสารตัวอย่างซึ่งมีคุณสมบัติทางกายภาพและเคมีที่แตกต่างจากวัสดุภาชนะทั้งสอง จะเคลื่อนที่ผ่านด้วยอัตราเร็วที่แตกต่างกัน เมื่อองค์ประกอบของสารเคลื่อนที่ผ่านออกมายกระดับจะถูกชะผ่านไปยังเครื่องตรวจวัดซึ่งจะทำการรายงานผลออกมาในรูปแบบของโคมาโตแกรมเพื่อนำไปวิเคราะห์ต่อไป

แก๊สโคอมาโตกราฟีแบ่งออกเป็น 2 ประเภท คือ

ก) แก๊สโคอมาโตกราฟีแบบแก๊ส-ของแข็ง (Gas-Solid Chromatography; GSC) โคอมาโตกราฟีประเภทนี้จะใช้ของแข็งที่สามารถดูดซับ (absorption) และไม่มีสารอื่นเคลือบ มาเป็นวัสดุภาชนะที่บรรจุอยู่ภายในคอลัมน์ ด้วยอย่างของแข็งที่ใช้เป็นวัสดุภาชนะ เช่น ของแข็งที่มีรูพรุน (molecular sieves) หรือโพลิเมอร์ที่มีรูพรุน (porous polymers) ซิลิกาเจล (silica gel) อะลูมินา (alumina) และถ่านกัมมันต์ (activated carbon) เป็นต้น กลไกการแยกสารที่เกิดขึ้นเป็นแบบการดูดซับ (absorption) ดังนั้นการแยกสารจะดีหรือไม่ ขึ้นอยู่กับคุณสมบัติการดูดซับของสารที่บรรจุในคอลัมน์ ซึ่งโดยทั่วไปโคอมาโตกราฟีชนิดนี้ไม่เป็นที่นิยมใช้กัน

ข) แก๊สโคอมาโตกราฟีแบบแก๊ส-ของเหลว (Gas-Liquid Chromatography; GLC) โคอมาโตกราฟีประเภทนี้จะใช้ของเหลวเป็นวัสดุภาชนะ ซึ่งจะถูกเคลือบให้เป็นชั้นบางๆบนของแข็งเชื่อมต่อ บนผิวด้านในของคอลัมน์ กลไกการแยกสารที่เกิดเป็นแบบการแบ่งละลาย (partition) เมื่อสารที่เป็นแก๊สหรือไอของสารที่ผสมกันอยู่ผ่านคอลัมน์สารจะสามารถแยกออกจากกันด้วยการกระจายตัวที่แตกต่างกันของแก๊สหรือไอระหว่างวัสดุภาชนะ กับวัสดุภาชนะเคลื่อนที่

2.1.2 องค์ประกอบของเครื่องแก๊สโคมากอตกราฟ



รูปที่ 2.1 องค์ประกอบของเครื่องแก๊สโคมากอตกราฟ [8]

- 1) ถังแก๊สที่ใช้บรรจุแก๊สตัวพา (carrier gas)
- 2) ส่วนที่ใช้ควบคุมการไหลของแก๊สต่างๆ (flow controller)
- 3) ส่วนที่ฉีดสารตัวอย่างเข้าเครื่อง (injection port)
- 4) คอลัมน์ (column)
- 5) ศูนย์ควบคุมอุณหภูมิให้กับคอลัมน์ (column oven)
- 6) เครื่องตรวจวัด (detector)
- 7) ส่วนที่ใช้ประมวลผลและข้อมูลต่างๆ ได้แก่ อินทิเกรเตอร์ (integrator) เครื่องบันทึกโคมากอตกราฟ (chromatogram recorder) คอมพิวเตอร์ (computer)

การทำงานของเครื่องแก๊สโคมากอตกราฟเริ่มจากการเลือกสภาพต่างๆ ในการวิเคราะห์ และจัดสภาพของเครื่องโคมากอตกราฟให้พร้อมฉีดสารตัวอย่างเข้าเครื่องดังนี้

2.1.2.1 ระบบแก๊ส (Gas supply unit)

แก๊สที่ใช้เป็นแก๊สตัวพา (carrier gas) หรือวัสดุที่จะต้องเป็นแก๊สเฉี่ยบไม่ทำปฏิกิริยากับสารตัวอย่าง และไม่เป็นพิษ โดยทั่วไปนิยมใช้ ไนโตรเจน อิเดียม อาร์กอน หรือคาร์บอนไดออกไซด์ บางกรณีอาจใช้ไฮโดรเจน ซึ่งจะให้ผลการแยกที่ดีที่สุด แต่ไม่เป็นที่นิยมเนื่องจากเป็นแก๊สที่ติดไฟง่าย และสามารถทำปฏิกิริยากับสารประกอบที่ไม่อิ่มตัวได ซึ่งการเลือกชนิดของแก๊สจะขึ้นอยู่กับชนิดของเครื่องตรวจวัดที่มีผลต่อแก๊สตัวพานั้นๆ อัตราการไหลของแก๊สตัวพาจะส่งผลต่อการเปลี่ยนแปลงสัมภ�性ของเครื่องวัด เมื่ออัตราการไหลของแก๊สตัวพาเพิ่มจะทำให้พื้นที่และความสูงของพิคคลดลง อัตราการไหลของแก๊สตัวพาจึงมีผลต่อเวลาช่วงของสารตัวอย่างที่ผ่านในคอลัมน์ ดังนั้นการนำแก๊สตัวพาเข้าสู่เครื่องแก๊สโคมากอตกราฟ ต้องผ่านตัวควบคุมอัตราการไหลเพื่อรักษาให้มีอัตราการไหลคงที่ การเปลี่ยนแปลงอุณหภูมิในการทำโปรแกรมอุณหภูมิก็ส่งผลต่อการเปลี่ยนแปลงความหนืดและอัตราการไหลของแก๊สได เช่นกันซึ่งเครื่องมือในรุ่นใหม่จึงมีระบบไมโคร โปรเซสเซอร์ในการควบคุม

2.1.2.2 ระบบฉีดสารตัวอย่าง (Sampling unit)

การฉีดสารตัวอย่างเข้าคอลัมน์ จะใช้สารตัวอย่างในปริมาณน้อยที่สุดที่เครื่องตรวจวัดจะตรวจวัดได้สารตัวอย่างที่ต้องการวิเคราะห์ จะถูกฉีดผ่านมาเข้าสู่ระบบที่ประกอบส่วนที่ฉีดสารตัวอย่างเข้าเครื่อง (injection port) และตู้ควบคุมอุณหภูมิให้กับคอลัมน์ (column oven) ซึ่งในส่วนนี้สารตัวอย่างจะถูกทำให้ระเหยกลายเป็นไอแล้วส่งผ่านเข้าสู่คอลัมน์เพื่อทำการแยกของประกอบต่างๆ การใช้เครื่องฉีดสารแต่ละชนิดจะขึ้นกับสถานะของตัวอย่าง และชนิดของคอลัมน์ แต่วิธีการที่ง่ายที่สุดคือการใช้เข็มฉีด (syringe) สารตัวอย่างผ่านไปยังส่วนที่ทำให้สารระเหยกลายเป็นไอซึ่งมีอุณหภูมิสูงกว่าจุดเดือดของสารประมาณ 50 องศาเซลเซียส เมื่อฉีดสารตัวอย่างเข้าไปก่อนเข้าสู่คอลัมน์จะถูกเปลี่ยนให้เป็นไออย่างรวดเร็ว จากนั้นแก๊สตัวพำนพาระดับตัวอย่างเข้าสู่คอลัมน์ เครื่องมือในปัจจุบันจะมีระบบฉีดสารแบบอัตโนมัติ มีระบบที่คอยควบคุมอุณหภูมิของตู้อบ เพื่อให้วิเคราะห์ได้เร็วขึ้นสามารถทำความสะอาดคอลัมน์และปรับปรุงประสิทธิภาพของการแยก สามารถเลือกการระเหยสำหรับการฉีดสารเข้าสู่คอลัมน์โดยตรงจากส่วนบนของคอลัมน์ และสามารถลดปัญหาการสลายตัวของสารที่ไม่เสถียรได้ในกรณีที่คอลัมน์เป็นแบบแคปิลลารี (capillary column) ซึ่งจะถูกเคลือบด้วยวัสดุภาคของเหลว (liquid phase) เพียงเล็กน้อย ทำให้สารตัวอย่างที่ฉีดได้อยู่ในระดับที่มีความเข้มข้นต่ำกว่า 1 มิลลิกรัมต่อลิตร และใช้แก๊สตัวพำนอัตรา 0.75 – 2.0 มิลลิลิตรต่อนาที ซึ่งเป็นอัตราการไหลที่ช้าเมื่อทำการฉีดสารเข้าไปโดยตรง จึงทำให้มีการพัฒนาเทคนิคการฉีดสารสำหรับคอลัมน์ชนิดนี้ขึ้นได้แก่ การฉีดสารผ่านเข้าไปโดยตรง (direct) การฉีดลงบนคอลัมน์ (on-column) การฉีดแบบปล่อยสารทึบบางส่วน (splitter) และการใช้โปรแกรมของอุณหภูมิในการทำให้สารกลายเป็นไอซึ่งลักษณะเฉพาะของระบบฉีดสารจะแสดงไว้ดังตารางที่ 2.1

ตารางที่ 2.1 ลักษณะเฉพาะของระบบฉีดสารตัวอย่างที่เป็นแบบ split, splitless และ on-column injection [9]

| Split | Splitless | On-column injection |
|---|--|---|
| 1.ใช้วิเคราะห์องค์ประกอบหลัก | 1.ใช้วิเคราะห์สารปริมาณน้อยๆ | 1.ใช้วิเคราะห์สารปริมาณน้อยๆ |
| 2.ใช้เป็นเทคนิคการระเหยสารอย่างรวดเร็ว | 2.ใช้เป็นเทคนิคการระเหยสารอย่างรวดเร็ว | 2.ใช้เป็นเทคนิคฉีดสารแบบเข็นโดยสารที่ฉีดจะไม่เป็นไอ |
| 3.เป็นเทคนิคการระเหยสารตัวอย่างแบบรวดเร็ว | 3.เป็นเทคนิคฉีดสารช้าๆ | 3.เป็นเทคนิคฉีดสารอย่างรวดเร็ว |
| 4.ใช้กับระบบอัตโนมัติได้ | 4.ใช้กับระบบอัตโนมัติได้ | 4.ใช้การฉีดด้วยมือ (manual) |
| 5.ใช้กับงานประจำ | 5.ใช้กับวิธีการที่ยุ่งยาก | 5.ใช้กับงานประจำ |
| 6.ใช้หาปริมาณทางอ้อม | 6.ใช้หาปริมาณได้โดยตรง | 6.ใช้หาปริมาณได้โดยตรง |

2.1.2.3 คอลัมน์ (Column) [10,9,11,12]

ประเภทของคอลัมน์ (Type of Column)

คอลัมน์เป็นส่วนประกอบที่สำคัญที่สุดในการแยกสาร โดยทั่วไปแล้วคอลัมน์สำหรับแก๊ส โครมาโทกราฟมี 2 ประเภทคือ แพคคอลัมน์ (packed column) และคอลัมน์แบบแคปิลารี (capillary column)

ก) แพคคอลัมน์ (packed column) มี 2 ชนิด คือ partition column และ adsorption column สำหรับ partition column น้ำยาในคอลัมน์จะบรรจุด้วยอนุภาคของแข็งซึ่งมีสมบัติเฉื่อย (inert solid particles) แล้วเคลือบผิวด้วยสารอินทรีย์บางชนิดที่เรียกว่าวัสดุภาคของเหลว (liquid phase) ส่วน adsorption column ภายในคอลัมน์จะบรรจุด้วยอนุภาคของสารดูดซับ (adsorptive particles) เช่น ของแข็งที่มีรูพรุน (molecular sieves) หรือโพลิเมอร์ที่มีรูพรุน (porous polymers) ซิลิกาเจล (silica gel) อะลูมีนา (alumina) และถ่านกัมมันต์ (activated carbon) เป็นต้น คอลัมน์ประเภทนี้มักถูกนำมาใช้ในการวิเคราะห์กรดไขมัน (fatty acid) ในผลิตภัณฑ์อาหาร [13]

ข) คอลัมน์แบบแคปิลารี (capillary column) คอลัมน์ชนิดนี้ เป็นหลอดรูเล็กๆ ก喉咙ทำด้วยเหล็กกล้า เหล็กไร์สนิม หรือแก้ว (quartz) มีรัศมีภายใน 0.3 – 0.6 มิลลิเมตร ภายในถูกเคลือบผิวด้วยวัสดุภาคของเหลว (liquid phase) เป็นพิล์มบางๆ ตลอดความยาวของคอลัมน์ คอลัมน์ชนิดนี้สามารถแบ่งได้เป็น 4 ชนิด คือ Wall-coated open tubular (WCOT) ซึ่งผนังภายในถูกเคลือบไว้ด้วยสาร เช่น diatomaceous earth เป็นชั้นบางๆ เพื่อดูดซับวัสดุนิ่ง Packed capillary เป็นหลอดแก้วหนาบรรจุด้วย solid support แล้วดึงให้มีเส้นผ่าวนิย์กลางตามต้องการ ภายในเคลือบด้วยวัสดุภาคของเหลว (liquid phase) และ Micro packed เป็นหลอดแก้วหรือโลหะซึ่งภายในบรรจุด้วย solid support หรือตัวดูดซับ ซึ่งคุณสมบัติของคอลัมน์แบบแคปิลารีชนิดต่างๆ ได้ระบุรวมไว้ดังตารางที่ 2.2

สารที่ใช้เป็น solid support นั้นส่วนมากจะใช้ diatomaceous earth แต่เนื่องจากตัวสารนั้นยังมีคุณสมบัติบางไม่เชื่อมจริง จึงมีการลด activity ของสารด้วยวิธีต่างๆ นอกจากนี้ solid support อาจใช้เป็น glass beads หรือ polytetrafluoro-ethylene หรือ quartz terephthalic acid แทน diatomaceous earth ได้

ตารางที่ 2.2 คอลัมน์แบบแคปิลลารี (capillary column) ชนิดต่างๆ [9]

| ชนิดของคอลัมน์ | WCOT* | SCOT (PLOT)** | Packed Capillary | Micro Packed |
|-------------------------------|--|--|--|--|
| 1. วัสดุที่ใช้ | 1. แก้วหรือโลหะ | 1. แก้วหรือโลหะ | 1. แก้ว | 1. แก้วหรือโลหะ |
| 2. เส้นผ่าศูนย์กลาง ภายใน | 2. 0.1-0.5 มิลลิเมตร | 2. 0.3-0.5 มิลลิเมตร | 2. 0.25-0.5 มิลลิเมตร | 2. 0.5-1.0 มิลลิเมตร |
| 3. ความยาว | 3. 20-100 เมตร | 3. 20-25 เมตร | 3. 2-20 เมตร | 3. 0.3-5 เมตร |
| 4. การเตรียม | 4. ใช้ liquid phase ชาบที่ผิวภายใน ด้วยตัวคุณซับที่มี diatomaceous earth หรือ silanized silica | 4. พ่นภายนอกชาบ ด้วยตัวคุณซับที่มี diatomaceous earth หรือ silanized silica | 4. เป็นหลอดแก้ว หนาบรบรรจุด้วย solid support และดึงให้มี เส้นผ่าศูนย์กลางตาม ต้องการ ชาบด้วย liquid phase | 4. นำ solid support หรือ adsorbent ใส่ capillary tube จะ ได้ผลดีเมื่อ packing material มีขนาด เล็กๆ |
| 5. ข้อได้เปรียบ (shape) | 5. เป็นคอลัมน์ที่มี ประสิทธิภาพสูง | 5. เป็นคอลัมน์ที่มี ประสิทธิภาพสูงกว่า WCOT เพราะพื้นที่ ผิวภายในมีมากกว่า | 5. เป็นคอลัมน์ที่แพค ^{แน่น} อยกว่าและมี ความดันลดเด็กน้อย จึงเป็นคอลัมน์ที่มี ประสิทธิภาพสูง得多 สำหรับ GSC | 5. มี number of theoretical plate (NTP) สูงถึง 4,000- 5,000 ต่อเมตร พื้นที่ได้จะเหลือน |
| 6. ข้อเสีย | 6. ความจุ (capacity) ต่ำกว่าชนิดอื่นๆ | - | 6. มีความดันมากกว่า WCOT | 6. มีความดันลด มาก จะใช้คอลัมน์ ยาวไม่ได้ |
| 7. ประโยชน์และ ประสิทธิภาพ | 7. มีประสิทธิภาพสูง ในการวิเคราะห์สาร | 7. มีประสิทธิภาพสูง ในการวิเคราะห์สาร | 7. ใช้ในการวิเคราะห์ ที่ต้องการให้มี ประสิทธิภาพการ แยกมากๆ โดยใช้เวลา สั้น | 7. ทำการวิเคราะห์ ได้รวดเร็วเพราะ คอลัมน์สั้น |

* wall coated open tubular

** solid coated หรือ porous layer open tubular

2.1.2.4 ตู้ควบคุมอุณหภูมิให้กับคอลัมน์ (column oven)

อุณหภูมิของคอลัมน์จะต้องถูกควบคุมโดยใช้ตู้ควบคุมอุณหภูมิ เพื่อไม่ให้คอลัมน์มีการเปลี่ยนแปลงเกินกว่า 10 องศาเซลเซียส ซึ่งโดยทั่วไปอุณหภูมิจะเพิ่มสูงขึ้นเรื่อยๆ และมีค่าสูงกว่าจุดเดือดของตัวอย่างในช่วง 2-30 นาที ในช่วงของการฉะสารอุณหภูมิที่ต่างๆ ให้การแยกที่ดีแต่จะทำให้เวลาในการฉะสารเพิ่มขึ้น และถ้าตัวอย่างมีช่วงของการเดือดที่กว้างจะต้องอาศัยการทำโปรแกรมอุณหภูมิเข้าช่วยวในการทดลองทั่วไปมีการควบคุมอุณหภูมิคอลัมน์ 2 แบบคือลักษณะที่อุณหภูมิคงที่ (isothermal) และลักษณะที่มีการเปลี่ยนแปลงอุณหภูมิ (temperature programming) สำหรับการทำงานที่ใช้อุณหภูมิคงที่นั้นการใช้อุณหภูมิต่างๆ ให้การแยกที่ดี แต่จะใช้เวลาในการวิเคราะห์นานและพบว่าการเพิ่มอุณหภูมิขึ้น 25 – 35 องศาเซลเซียสจะช่วยลดเวลาในการวิเคราะห์ลงครึ่งหนึ่ง แต่ความสามารถในการแยกสารจะลดลงด้วย ส่วนการทำงานโดยการเปลี่ยนอุณหภูมนั้นใช้ในกรณีที่ต้องการแยกสารผสมที่มีองค์ประกอบหนึ่งมากกว่า 10 พีค และมีจุดเดือดต่างกันมากกว่า 100 องศาเซลเซียส ระหว่างสารตัวแรกกับสารตัวต่อๆ ตามไป หรือจะใช้ในกรณีที่ตัวอย่างมีความสกปรก และต้องการทำความสะอาดคอลัมน์โดยใช้อุณหภูมิที่สูงขึ้น โดยทั่วไปจะใช้กับคอลัมน์แบบแคปพิลารี

2.1.2.5 เครื่องตรวจวัด (Detector)

เครื่องตรวจวัดเป็นอุปกรณ์ที่ทำหน้าที่ในการตรวจสารที่ถูกชะออกมานอกคอลัมน์ แล้วจึงทำการส่งสัญญาณไฟฟ้าไปยังระบบประมวลผล ซึ่งในปัจจุบันจะใช้ระบบการควบคุมผ่านทางคอมพิวเตอร์จะให้รายละเอียดของโครงสร้างเคมี ข้อมูลของพีค (พื้นที่ ความสูง ความกว้างเป็นต้น) การสอนเทียน การคำนวณ การรายงานผล และสถิติเครื่องตรวจวัดมีหลายประเภท แต่ละประเภทมีลักษณะเฉพาะตัวในการทำงาน และประสิทธิภาพที่แตกต่างกันออกไป เครื่องตรวจวัดเหล่านี้ที่เริ่มระห่ำว่างคอลัมน์ กับเครื่องตรวจวัด จะต้องรักษาอุณหภูมิให้สูงกว่าอุณหภูมิของตู้อบไม่เกิน 15 องศาเซลเซียส เพื่อป้องกันไม่ให้ตัวอย่างเกิดการความแన่นตรงบริเวณท่อ หรือเครื่องตรวจวัดซึ่งจะส่งผลให้เกิดสัญญาณรบกวนและลดประสิทธิภาพในการตอบสนองของเครื่องตรวจวัดได้

ลักษณะการทำงานของเครื่องตรวจวัดมี 2 แบบ คือ

- ก) สารตัวอย่างที่ออกจากคอลัมน์เข้าเครื่องตรวจวัดที่สามารถวัดปริมาณได้โดยตรง เช่น เมสสเปคโตรมิเตอร์ (Mass Spectrometer; MS)
- ข) สารตัวอย่างที่ออกจากคอลัมน์เข้าเครื่องวัด โดยเครื่องตรวจวัดจะทำหน้าที่ตรวจวัดขนาดแล้วเปลี่ยนเป็นสัญญาณไฟฟ้าส่งไปยังเครื่องบันทึก เช่น เฟลมไออันเซชันดีเทคเตอร์ (Flame Ionization Detector; FID)

เครื่องตรวจวัดที่จะใช้ในการตรวจหาสารในเครื่องแก๊สโคมไฟต่อไปนี้มีลักษณะเฉพาะในการตอบสนองต่อสารเคมีที่ต้องการวิเคราะห์ได้แก่

- มีการตอบสนองต่อปริมาณสาร ได้ดี (high sensitivity) เพื่อจะได้ตรวจหาปริมาณของสารที่มีน้อยๆ
- มีความเฉพาะต่อการตรวจหาสาร (selectivity) เช่น สารต่างประเภทกันควรให้การตอบสนองที่ต่างกัน
- ควรให้ผลการวิเคราะห์เชิงปริมาณที่มีช่วงความเข้มข้นที่กว้างพอ (dynamic range) ที่จะตรวจวัดได้อย่างถูกต้อง
- มีเสถียรภาพ (stability) และความเที่ยงตรง (reproducibility) ที่ดีเพื่อจะทำให้ค่าที่ตรวจวัดได้มีความถูกต้อง

เครื่องตรวจวัดที่นิยมใช้กันทั่วไปในเครื่องแก๊สโคมไฟได้แก่

เครื่องตรวจวัดแบบนำความร้อน (Thermal Conductivity Detector; TCD)

หลักการทำงานของเครื่องตรวจวัดชนิดนี้คือการอาศัยการนำความร้อนของแก๊สที่แตกต่างกัน ลักษณะของเครื่องจะมีลักษณะเป็นเส้น漉ดต้านทาน (filament) ปลายทั้งสองของ漉ดต้านทานนี้ต่อ กับสายไฟ ด้านนอก ซึ่งถูกทำให้ร้อนด้วยอุณหภูมิที่คงที่จากการผ่านกระแสไฟฟ้าเข้าไป ซึ่งเส้น漉ดจะถูกบรรจุอยู่ในช่อง (cavity) ของแท่งโลหะ (metal block) ที่ทำให้ร้อนที่อุณหภูมิหนึ่ง และอุณหภูมิที่ต่างกันของเส้น漉ดต้านทานกับแท่งโลหะจะมีผลต่อความไวของเครื่องตรวจวัด ซึ่งการตรวจวัดอาศัยความแตกต่างของการนำความร้อนของแก๊สตัวพากับสารตัวอื่น โดยให้แก๊สตัวพากลอดผ่านเข้าเซลล์อ้างอิง และสารตัวอื่นที่ถูกจะออกจากคลัมบ์ ความสามารถในการนำความร้อนที่แตกต่างกันระหว่างสารตัวอื่นกับแก๊สตัวพาก็จะทำให้อุณหภูมิที่漉ดต้านทานทั้งสองข้างลดลงไม่เท่ากัน เป็นผลให้ความต้านทานของ漉ดทั้งสองแตกต่างกัน กระแสไฟที่ไหลผ่านเส้น漉ดทั้งสองข้างไม่สมดุลกัน ซึ่งความแตกต่างนี้จะถูกนำไปขยายสัญญาณและจดบันทึกเอาไว้

เครื่องตรวจวัดแบบไฟล์มไออ่อนเชชัน (Flame Ionization Detector; FID)

หลักการทำงานของเครื่องตรวจวัดชนิดนี้ อาศัยการเผาไหม้ของแก๊สไฮโดรเจนในอากาศ ซึ่งการเผาไหม้นี้จะให้ประจุไฟฟ้าน้อย แต่ปริมาณประจุไฟฟ้าจะเพิ่มขึ้นเมื่อมีสารอินทรีย์ปนเปื้อนเข้าไป ประจุไฟฟ้าที่เกิดขึ้นแตกตัวร่วงเข้าหากัน โดยประจุน่วงเข้าหากันนี้จะเป็นขั้วลบ และประจุลบร่วงเข้าหากันนี้จะเป็นบวก เกิดเป็นกระแสไฟฟ้าขึ้นจากนั้นจึงทำการขยายสัญญาณไฟฟ้าที่ได้และบันทึกสัญญาณด้วยเรื่องบันทึกอุณหภูมิในรูปโคมไฟต่ำของสาร

เครื่องตรวจวัดแบบขับอิเล็กตรอน (Electron Capture Detector; ECD)

เครื่องตรวจวัดชนิดนี้ใช้ตรวจวัดสารประกอบที่มีชาโลเจนอะตอมเป็นองค์ประกอบ ซึ่งตัวเครื่องจะประกอบด้วยสารกัมมันตรังสี (radioactive source) ซึ่งสลายตัวให้รังสีออกมานำทำให้แก๊สตัวพาแตกตัว เกิดอิเล็กตรอนอิสระซึ่งทึ่งอิเล็กตรอนอิสระและประจุลบจะวิ่งเข้าหาข้อไฟฟ้าที่เป็นข้อบวก แต่อัตราการเคลื่อนที่ของอิเล็กตรอนอิสระจะสูงกว่าประจุลบมาก ทำให้กระแสไฟฟ้าที่เกิดในวงจรนั้นเกิดจากอิเล็กตรอนอิสระมากกว่าประจุลบ เมื่อสารอินทรีย์ถูกชะออกจากการคลั่นจะออกมายังกับอิเล็กตรอนและคุณชับอิเล็กตรอนไว้ส่วนหนึ่งตามปริมาณสารทำให้กระแสไฟฟ้าในวงจรลดลงซึ่งปริมาณกระแสไฟฟ้าที่ลดลงจะขึ้นอยู่กับอิเล็กตรอนที่ถูกคุณชับ และขึ้นอยู่กับปัจจัยอื่นๆ เช่นความเข้มข้นของสารอินทรีย์ และความสามารถของสารอินทรีย์ในการคุณชับอิเล็กตรอน หรือสัมพรรภภาคอิเล็กตรอน เครื่องตรวจวัดชนิดนี้มีความไวสูงต่อสารที่มีสัมพรรภภาคอิเล็กตรอนสูง เช่น สารชาโลเจน (halogen) สารไนโตร (nitro) และสารคอนจูเกตคาร์บอนิล (conjugated carbonyl) เป็นต้น

2.1.2.6 เครื่องจดบันทึก (recorder) [12]

เครื่องจดบันทึกเป็นอุปกรณ์ที่ทำหน้าที่บันทึกสัญญาณจากเครื่องตรวจวัด เครื่องจดบันทึกของเครื่องแก๊สโคมาโตกราฟ จะเป็นการบันทึกในรูปกราฟ

2.1.2.7 องค์ประกอบส่วนอื่นๆ ของแก๊สโคมาโตกราฟ [13]

- (1) autosampler (s)
- (2) control panel, electronic pressure control (EPC)
- (3) injection port liners
- (4) septa
- (5) ferrules
- (6) flow controllers

ตารางที่ 2.3 คุณสมบัติของเครื่องตรวจวัดชนิดต่างๆ [14]

| Detector | Type | Support | Selectivity | Detectability | Dynamic |
|----------------------------|---------------|------------------|--|---------------|---------|
| | | | | | rang |
| Flame ionization (FID) | Mass flow | Hydrogen and air | Most organic compounds | 100 pg | 10^7 |
| Thermal conductivity (TCD) | Concentration | Reference | Universal | 1 ng | 10^7 |
| Electron capture (ECD) | Concentration | Make-up | Halides, nitrates, nitriles, peroxides, organometallics | 50 fg | 10^5 |
| Flame Photometric (FPD) | Mass flow | Hydrogen and air | Sulphur, phosphorus, tin, Boron, arsenic, possibly germanium, seleium, oxegen chromium | 100 pg | 10^3 |
| Photoionization (PID) | Concentration | Make-up | Aliphatics, aromatics, ketonrs, esters, aldehydes, amines, heterocyclics, organosulphurs, some organometallics | 2 pg | 10^7 |

2.2 วัฏภาคนิ่ง (Stationary Phase) ที่ใช้ในแก๊สโครมาโทกราฟี

แบบแก๊ส-ของเหลว [5,10]

การแยกสารด้วยแก๊สโครมาโทกราฟีแบบแก๊ส-ของเหลว (GLC) สามารถเกิดขึ้นได้โดยอาศัยหลักการแบ่งคละลาย (partition) ระหว่างของเหลวชั้นบาง ๆ ที่เรียกว่า วัฏภาคนิ่ง (stationary phase) ซึ่งบรรจุอยู่ที่ผิวคอลัมน์กับสารที่ต้องการแยก ซึ่งของเหลว (liquid phase) ที่เคลื่อนบนผิวคอลัมน์มีบทบาทสำคัญต่อการแยกสารผสมออกจากกัน เพราะสารผสมจะแยกออกจากกันหรือไม่ และแยกได้ดีเพียงใดขึ้นอยู่กับของเหลวที่เคลื่อนหรือวัฏภาคนิ่ง การเลือกวัฏภาคนิ่งที่ใช้กับ GLC นี้ขึ้นอยู่กับสารตัวอย่างที่ต้องการแยก ซึ่งในการวิเคราะห์สารนั้นควรทราบองค์ประกอบ ประเภทโครงสร้าง และช่วงจุดเดือดของสารตัวอย่าง โดยทั่วไปในการแยกสารจะเลือกใช้วัฏภาคนิ่งที่มีโครงสร้างทางเคมีคล้ายกับองค์ประกอบที่จะแยกในสารผสม ซึ่งองค์ประกอบในสารตัวอย่างจะต้องมีการละลายได้บ้างในวัฏภาคนิ่งเพื่อให้มีการแยกเกิดขึ้น

2.2.1 วัฏภาคของเหลว (Liquid Phase) [16,9]

วัฏภาคของเหลวเป็นสารเคมีที่ใช้เคลื่อนบนวัสดุรองรับ (solid support) ซึ่งบรรจุอยู่ภายในคอลัมน์เพื่อให้เป็นวัฏภาคนิ่ง หรือเคลื่อนที่ผิวด้านในของคอลัมน์ทำหน้าที่แยกสารตัวอย่าง โดยทั่วไปวัฏภาคของเหลวที่ใช้ใน GLC นั้นควรเป็นสารเคมีที่มีความอยู่ตัว และไม่ทำปฏิกิริยา กับสารตัวอย่าง เป็นสารที่ไม่ระเหยในช่วงอุณหภูมิสูงหรือช่วงอุณหภูมิที่ทำการวิเคราะห์ เป็นตัวทำละลาย (solvent) สารตัวอย่างที่ดีจะทำให้สารตัวอย่างสามารถกระจายตัวในวัฏภาคนิ่งได้ดี แยกออกจากสารอื่นได้ มีความสามารถในการละลายสารต่างๆ ได้แตกต่างกัน ทำให้สารที่ละลายได้น้อยถูกชะออกจากการคอลัมน์ก่อนและสารที่ละลายได้ดีกว่าจะถูกชะออกมากช้าลงตามลำดับการละลาย และมีสภาพข้าว (polarity) ใกล้เคียงกับสารตัวอย่าง ซึ่งจะทำให้การแยกได้ผลดี ซึ่งวัฏภาคของเหลวสามารถแบ่งแยกประเภทตามสภาพความมีข้าวอย่างกว้างๆ ออกเป็น ประเภทที่ไม่มีข้าว (non-polar) ประเภทที่มีข้าว (polar) และประเภทที่มีความจำเพาะ (special phase)

2.2.1.1 วัฏภาคของเหลวประเภทไม่มีข้าว (Non-polar liquid phase)

วัฏภาคของเหลวประเภทนี้จะไม่สามารถเกิดพันธะไฮโดรเจน หรือเกิดแรงดึงดูดระหว่างข้าว กับสารอื่นๆ ได้ จึงทำให้การแยกสารผสมนั้นเกิดตามลำดับของจุดเดือด (boiling points) ของสารแต่ละชนิดที่อยู่ในสารผสม ตัวอย่างของวัฏภาคของเหลวประเภทไม่มีข้าวได้แก่

ก) วัสดุภาคของเหลวประภาก๊าซไฮโดรคาร์บอน (Hydrocarbon liquid phases)
โดยทั่วไปเป็นไฮโดรคาร์บอนอิมตัว (saturated hydrocarbons) เช่น squalane, apolane หรือสารไฮโดรคาร์บอนสายยาว (long-chain *n*-alkane) ได้แก่ apizon L
ตัวอย่างวัสดุภาคของเหลวประภาก๊าซไฮโดรคาร์บอนที่ใช้ใน GLC แสดงดังตารางที่ 2.4

ตารางที่ 2.4 วัสดุภาคของเหลวประภาก๊าซไฮโดรคาร์บอนที่ใช้ใน GLC [16]

(Hydrocarbon liquid phases in GLC)

| Hydrocarbon | Temperature range (°C) |
|------------------------------|------------------------|
| Squalane ($C_{30}H_{62}$) | 0-130 |
| Apiezon L $(-(CH_2)_n-)$ | 50-280 |
| Apiezon M $(-(CH_2)_n-)$ | 50-280 |
| Apolane (C_8 hydrocarbon) | 30-280 |

ข) วัสดุภาคของเหลวแอลกิซิลิโคน (Alkylsilicone liquid phases)

วัสดุภาคของเหลวประภานี้มีโครงสร้างเป็นโพลิเมอร์ที่ประกอบด้วย ชิลิกอนและออกซิเจน (Si-O-Si) ซึ่งมีความสามารถทนต่ออุณหภูมิสูงได้ดี และถูกใช้เป็นวัสดุภาคนิ่งค่อนข้างมากใน GLC ตัวอย่าง เช่น - ไดเมทิลซิลิโคน (dimethylsilicone) เป็นโพลิเมอร์ของ $-Si(Me)_2-O-$
- เมทิลฟีนิลซิลิโคน (methylphenylsilicone) เป็นโพลิเมอร์ของ $-(Si-C(Me)(Ph)-O)-$
- ไดเมทิลฟีนิลซิลิโคน (dimethylphenylsilicone) เป็นโพลิเมอร์ของ $-O-Si(Me)_2-$ และ $-O-Si(Ph)_2-$

2.2.1.2 วัสดุภาคของเหลวประภามีข้าว (Polar liquid phase)

วัสดุภาคของเหลวประภานี้เป็นสารที่มีหมุนพังก์ชันของ ชาโลเจน (halogen) ไฮดรอกซิล (hydroxyl) ไนตริล (nitrile) คาร์บอนิล (carbonyl) หรือ เอสเตอโร (ester) เป็นองค์ประกอบ ตัวอย่างของวัสดุภาคของเหลวประภามีข้าว ได้แก่

ก) วัสดุภาคของเหลวที่มีหมุนแพนที่ในโครงสร้าง (Substituted silicone liquid phases)

ภายในโครงสร้างโพลิเมอร์ซิลิโคนจะมี ไตรฟลูอโรมิทิล (trifluoromethyl) หรือ หมู่ไซยาโน (cyano groups) ซึ่งมีผลทำให้สามารถทนต่ออุณหภูมิสูงได้ ในปัจจุบันได้มีการเลือกใช้วัสดุภาคของเหลวเหล่านี้เป็นองค์ประกอบโดยเฉพาะในการแยกโครงสร้างซิส (*cis*) และทรานส์ (*trans*) ของกรดไขมันเมทิลเอสเทอโร (FAMEs) ซึ่งทำให้โครงสร้างทั้ง 2 ชนิดแยกออกจากกันได้ดี แต่วัสดุภาค

ของเหลวชนิดนี้มีข้อเดียวกัน การแยกของสารจะแยกออกจากกันไม่ดี เมื่อใช้กับสารตัวอย่างที่เป็นสารไม่มีข้าว (non-polar) ตัวอย่างวัสดุภาคของเหลวที่มีหมู่แทนที่ในโครงสร้างแสดงดังตารางที่ 2.5

ข) วัสดุภาคของเหลวประเภทเอสเทอร์ (Ester liquid phase)

วัสดุภาคของเหลวประเภทนี้มีข้อจำกัดการใช้งาน คือทนอุณหภูมิได้ค่อนข้างต่ำ ตัวอย่างคือ Dinonyl phthalate ซึ่งสามารถทนอุณหภูมิได้เพียง 150 องศาเซลเซียส ใช้แยกสารที่สามารถระเหยเป็นไอ เช่นสารกลุ่มเอสเทอร์ทั่วไปที่มีโครงสร้างไม่ซับซ้อน หรือใช้แยกสารละลายน้ำทั่วไป

ก) วัสดุภาคของเหลวประเภทโพลีอีเทอร์ (Polyether liquid phase)

โพลีอิทธิลีน ไกลคอล (Polyethylene glycols) หรือ โพลิออกซิเรน (Polyoxiranes ;-[CH₂CH₂-O]_n) เป็นโพลิเมอร์สายตรงที่สามารถละลายน้ำได้ [16] ถูกนำมาใช้เป็นวัสดุภาคของเหลวตั้งแต่ยุคแรกๆ ที่มีการใช้ GLC และได้มีการพัฒนาต่อมาจนมีคุณสมบัติที่สามารถใช้แยกสารได้ดีทั้งสารที่มีข้าว (polar) และไม่มีข้าว (non-polar) ตัวอย่างคือคอลัมน์ที่ใช้วัสดุภาคของเหลวประเภทนี้ได้แก่คอลัมน์ในกลุ่ม คาร์โบเวกซ์ (Carbowax)

2.2.1.3 วัสดุภาคของเหลวประเภทที่มีความจำเพาะ (Specialised liquid phase)

เป็นวัสดุภาคของเหลวที่พัฒนาขึ้นมาเพื่อใช้ในการแยกสารเฉพาะอย่างมีดังนี้

ก) วัสดุภาคของเหลวใช้สำหรับแยกกรดcarboxylic acid (Phase for carboxylic acid)

โดยทั่วไปการแยกสารกลุ่มกรดกรดcarboxylic acid (carboxylic acid) มักเกิดปัญหา กับแพคคอลัมน์ (packed column) คือจะเกิดหางพีค (tailing peaks) เนื่องจากกรดcarboxylic acid ไปเกิดอันตรกิริยา (interaction) กับวัสดุรองรับ (solid supports) ภายในคอลัมน์ ดังนั้นในการแยกสารกลุ่มกรดcarboxylic acid จึงควรเลือกใช้คอลัมน์ที่มี terephthalic acid เป็นองค์ประกอบในวัสดุภาคนิ่ง (stationary phase) ตัวอย่างของคอลัมน์ที่มี terephthalic acid ได้แก่ Carbowax 20M-TPA หรือ Carbowax 20M-nitroterephthalic acid ซึ่งให้ผลการแยกสารที่ดีและลดปัญหาการเกิดหางพีคได้

ข) วัสดุภาคของเหลวใช้สำหรับสารประกอบด่าง (Phase for basic compounds)

สารประกอบด่าง (basic compounds) เช่นสารกลุ่มอะมีน (amines) จะเกิดปฏิกิริยาสนับสนุนกับคอลัมน์ที่มีชีลิกาเป็นวัสดุรองรับ ดังนั้นการแยกสารกลุ่มนี้ควรใช้คอลัมน์กรดcarboxylic acid (Carbowax 20M-KOH) ซึ่งมีโพแทสเซียมไฮดรอกไซด์เป็นองค์ประกอบ 1-2 เปอร์เซ็นต์ โดยโพแทสเซียมไฮดรอกไซด์จะถูกเติมลงไปในวัสดุภาคนิ่งก่อนการเคลือบคอลัมน์ เพื่อทำให้การแยกสารเฉพาะอย่างในกลุ่มอะมีนเกิดได้ดีขึ้น

ตารางที่ 2.5 วัสดุภาคของเหลวที่มีหมู่แทนที่ในโครงสร้าง [15]

(Cyano-Substituted dimethylsilicone liquid phases)

| Cyano-substituted Dimethylsilicone | Proportion of group | | | Temperature range (°C) |
|---------------------------------------|---------------------|--------|-------------------------|---------------------------|
| | Cyanopropyl | Methyl | Other | |
| <i>Liquid phase</i> | | | | |
| XE-60 | | 75 | 25 (cyanoethyl) | 0-250 |
| OV-105 | 5 | 95 | | 20-250 |
| OV-225 | 25 | 50 | 25 (phenyl) | 20-250 |
| OV-275 | 100 (dicyanoallyl) | | | 20-275 |
| OV-1701 | 7 | 85 | 7 (phenyl) 1 (vinyl) | 20-235 |
| CP-Sil 58 | 50 | | 50 (phenyl) | 50-275 |
| CP-Sil 71 | 75 | | 25 (phenyl) | 50-275 |
| CP-Sil 84 | 90 | | 10 (phenyl) | 50-275 |
| CP-Sil 88 | 100 | | | 55-240 |
| SP-2340 | 100 | | | 25-275 |
| SP-2330 | 95 | | 5 (phenyl) | 25-250 |
| SP-2300 | 50 | | 50 (phenyl) | 25-275 |
| SP-2310 | 75 | | 25 (phenyl) | 25-275 |
| <i>Open-tubular bonded phase</i> | | | | |
| BP-10 | 7 | 86 | 7 (phenyl) | 25-270 |
| BP-15 | 25 | 50 | 25 (phenyl) | 25-260 |
| BP-75 | 10 (dicyanoallyl) | | | 25-270 |
| CP-Sil 19 CB | 7 | 85 | 7 (phenyl) 1 (vinyl) | 50-300 |
| CP-Sil 43 CB Cyanopropyl | 25 | 50 | 25 (phenyl) | 50-225 |
| <i>Methylphenyl silicone</i> | | | | |
| DB-225 | 25 | 50 | 25 (phenyl) | 40-225 |
| RTX-2330 | 90 | | 10 (phenyl) | 25-250 |

ก) วัฏภาคที่ใช้กับอุณหภูมิสูง (High-temperature phase)

วัฏภาคประเภทนี้ใช้สำหรับเครื่องแก๊ส โถกราฟท์ต่อกับเครื่องมือวิเคราะห์สารแบบแมสสเปก-โตรเมตري (GC-mass spectrometry) เนื่องจากวัฏภาคมีอัตราการรูกชะออกจากคอลัมน์ต่ำ จึงทำให้ลด การปะปนจากสารที่ต้องการวิเคราะห์ด้วยแมสสเปกโตรมิเตอร์ได้ ตัวอย่างของวัฏภาคประเภทนี้ได้แก่ Dexsil liquid phase ซึ่งโครงสร้างประกอบด้วยโคลโพลิเมอร์ของซิลิกอนกับคาร์บอเรน (silicone-carborane) และอิทธิพลของการ์บอเรนก่อส่งผลให้วัฏภาคประเภทนี้สามารถทนอุณหภูมิสูงได้มากกว่า 350 องศาเซลเซียส

2.2.2 วัสดุรองรับ (Solid supports) [5]

วัสดุรองรับ (solid supports) เป็นของแข็งมีลักษณะกลมหรือค่อนข้างกลม ขนาดของวัสดุรองรับจะมีผลต่อการแยกสาร คือวัสดุรองรับที่มีขนาดใหญ่ส่งผลให้ประสิทธิภาพของคอลัมน์ลดลง เนื่องจากมีพื้นที่ผิวต่ำรับวัฏภาคนั่น ได้น้อย วัสดุรองรับที่มีทั่วไปมากเตรียมจากไคลอตومเมซิยส์เอิร์ช (diatomaceous earth) และ อิฐ ซึ่งมีชื่อทางการค้าว่า โครโนซอร์บ (Chromosorb) ของบริษัทจอห์น แมน-วิลล์ ซึ่งมีอยู่หลายชนิดและขนาด ทั้งผ่านหรือไม่ผ่านกรรมวิธีทางเคมี

โครโนซอร์บเอ (Chromosorb A) มีขนาดค่อนข้างใหญ่ 10-20, 20-30 และ 30-40 เมช (mesh) นักใช้ในงานแยกสารปริมาณมากๆ ใช้คอลัมน์บางซึ่งทำให้ความดันลดลงเล็กน้อย

โครโนซอร์บจี (Chromosorb G) เป็นวัสดุรองรับที่ค่อนข้างมีข้อความพrünปานกลาง มีความแข็งไม่แตกหักง่าย และในปัจจุบันมีการใช้รีเอเจนต์ (reagent) ประเททซิลิโคนไปทำปฏิกริยากับหมู่ไครอซิบันผิววัสดุรองรับทำให้โครโนซอร์บจีเคลือบลง

โครโนซอร์บพี (Chromosorb P) มีสีแดงอ่อนๆ เตรียมจากการเผาอิฐ Sil-O-Cell C₂₂(firebrick) มีความแข็งแรงและมีพิวคุดซับได้เหมาะสมสำหรับสารไฮโดรคาร์บอน

โครโนซอร์บดับเบลยู (Chromosorb W) เป็น flux-calcined diatomite เตรียมจาก Cetile filter aid มีสีขาว ผิวจะคุดซับได้น้อยกว่า โครโนซอร์บจี จึงใช้กับสารประเภทมีข้าวได้ดี

โครโนซอร์บที (Chromosorb T) เป็นวัสดุรองรับสังเคราะห์จาก tetrafluoroethylene มีความเนื้อบาง เหมาะสำหรับสารที่มีข้าวมากๆ

ดังที่กล่าวมาข้างต้น วัสดุรองรับที่ใช้ในแก๊ส โถกราฟท์ ทำจากไคลอตومเมซิยส์เอิร์ช (diatomaceous earth) ซึ่งเป็นสารจำพวกซิลิกेट หรือไครอซิซิลิกอน สารพกนี้มีข้อความสามารถคุดซับสารที่มีข้าวอื่นๆ ได้ดีเมื่อเคลือบด้วยของเหลวหมูไครอซิซิลิกอน อาจถูกบดบังไว้ แต่ถ้าการเคลือบบางมากๆ การบดบังหมูไครอซิซิลิกอนจะถูกบดบังไม่หมด การแยกสารก็จะมีทั้งลักษณะเป็นการแบ่งละลาย และการคุดซับควบคู่กันไป

การนํอกุณลักษณะของคอลัมน์ หรือวัฏภาคนิ่งที่มีคุณสมบัติต่างกัน อาจดูได้จากค่าคงตัวแมค雷ย์-โนลด์ (McReynold constant) [17] ดังแสดงไว้ในตาราง 2.6 ซึ่งจะช่วยแยกคอลัมน์หรือวัฏภาคนิ่งที่มีคุณลักษณะคล้ายหรือใกล้เคียงออกจากกัน ยกเว้นสารในอนุกรมเดียวกัน (homolog) หรือไอโซเมอร์ ซึ่งใช้ค่าคงตัวแมค雷ย์โนลด์แยกได้ไม่คืนเนื่องจากสารดังกล่าวมีการเคลื่อนที่ในคอลัมน์หนึ่งๆ คล้ายคลึงกัน

$$\Delta I = ax' + by' + cz' + du' + es'$$

| | | | | | |
|--------|------------|---|---------------------|------------------|--------------------------------|
| โดยที่ | ΔI | = | McReynolds constant | | |
| | x' | = | benzene | y' | = <i>n</i> -butanol |
| | z' | = | 2-pentanone | u' | nitropropane |
| | s' | = | pyridine | a, b, c, d และ e | ค่าสัมประสิทธิ์ (coefficients) |

ตารางที่ 2.6 ค่าคงตัวแมค雷ย์โนลด์ (McReynold constant) สำหรับวัฏภาคนิ่งที่ใช้กันทั่วไป

| Phase | McReynolds Constants | | | | |
|-------------------|----------------------|------|------|------|------|
| | x' | y' | z' | u' | s' |
| Apiezon L | 32 | 88 | 15 | 32 | 42 |
| Carbowax 20M | 322 | 536 | 368 | 572 | 510 |
| DC 200 | 16 | 57 | 45 | 66 | 43 |
| Dexsil 400 | 72 | 108 | 118 | 166 | 123 |
| Dinonyl phthalate | 83 | 183 | 147 | 231 | 159 |
| FFAP | 340 | 580 | 397 | 602 | 627 |
| OV-1 | 16 | 55 | 44 | 65 | 42 |
| OV-17 | 119 | 158 | 162 | 243 | 202 |
| OV-225 | 228 | 369 | 338 | 492 | 386 |
| OV-1701 | 67 | 170 | 153 | 228 | 171 |
| SE-30 (GC grade) | 15 | 53 | 44 | 64 | 41 |
| SE-54 | 33 | 72 | 66 | 99 | 67 |
| Silar 5 CP | 319 | 495 | 446 | 637 | 531 |
| Silar 10 CP | 520 | 757 | 660 | 942 | 800 |
| SP-1000 | 332 | 555 | 393 | 583 | 546 |
| SP-2100 | 17 | 57 | 45 | 67 | 43 |
| SP-2250 | 119 | 158 | 162 | 243 | 202 |
| SP-2340 | 520 | 757 | 659 | 942 | 800 |

2.3 ทฤษฎีการแยกสารของแก๊สโคลามาโตกราฟี [5,18,19,20]

การที่สารผสมสามารถแยกออกจากกันในโคลามาโตกราฟีได้นั้น เนื่องด้วยโมเลกุลสารเหล่านั้นเคลื่อนที่ด้วยความเร็วที่แตกต่างกัน ดังนั้นความรู้และความเข้าใจถึงกลไกการเคลื่อนที่ของสาร หรือสาเหตุของการเคลื่อนที่ด้วยความเร็วไม่เท่ากัน จะช่วยให้เข้าใจโคลามาโตกราฟีได้ดีขึ้น ในโซนหนึ่งๆของโคลามาโตกราฟี เมื่อสังเกตจะพบลักษณะการเคลื่อนที่ของสารที่เคลื่อนที่อย่างสม่ำเสมอด้วยความเร็ว เป็นอัตราส่วนคงที่ต่อตัวจะหรือวัฏภากเคลื่อนที่ (mobile phase) แต่ถ้าสังเกตในระดับโมเลกุลจะพบว่าการเคลื่อนที่ของโมเลกุลเหล่านั้นแตกต่างไปจากลักษณะที่ปรากฏ คือโมเลกุลแต่ละโมเลกุลจะเคลื่อนที่อย่างไรระเบียบและเคลื่อนที่ไปทุกทิศทางอย่างอิสระต่อกัน ในขณะหนึ่งบางโมเลกุลจะถูกดูดซับด้วยสารดูดซับหรือแทรกตัวเข้าไปในวัฏภากนิ่ง (stationary phase) โมเลกุลนั้นจะหยุดเคลื่อนที่ชั่วขณะ โมเลกุลอื่นที่ไม่ถูกดูดซับ หรือถูกจากการถูกดูดซับไว้จะเคลื่อนที่ไปพร้อมกับวัฏภากเคลื่อนที่และเคลื่อนที่ล้ำหน้าไป โมเลกุลที่เคลื่อนที่ล้ำหน้าเหล่านี้เมื่อไปพบกับสารดูดซับหรือวัฏภากนิ่งใหม่ ก็จะถูกดูดซับไว้ หรือแทรกตัวเข้าไปในวัฏภากนิ่ง และหยุดเคลื่อนที่จนกว่าจะถูกจะหยุดออกมารออยู่ในวัฏภากเคลื่อนที่จึงจะเริ่มเคลื่อนที่ใหม่ได้ โมเลกุลที่ถูกดูดซับหรือแทรกตัวอยู่ในวัฏภากนิ่งตอนแรกนั้น เมื่อถูกจะหยุดก็จะเคลื่อนที่ไปตามวัฏภากเคลื่อนที่และแข่งล้ำหน้าโมเลกุลที่เคยแข่งหน้ามาแต่เมื่อไปพบสารดูดซับหรือวัฏภากนิ่งตัวใหม่อีกที่จะถูกดูดซับไว้ และหยุดเคลื่อนที่ ซึ่งปรากฏการณ์การเคลื่อนที่และหยุดการเคลื่อนที่นี้จะเกิดซ้ำๆ ตลอด ขณะที่โมเลกุลของสารยังคงอยู่ภายในคอลัมน์ หรืออยู่ในโคลามาโตกราฟีอีก ดังนั้นการเคลื่อนที่ของโมเลกุลหนึ่งๆ ในโคลามาโตกราฟีจะเกิดการเคลื่อนที่และหยุดสลับกันไป โดยส่วนหนึ่งของสารจะเคลื่อนที่พร้อมกับวัฏภากเคลื่อนที่ ในขณะที่อีกส่วนจะหยุดอยู่ในวัฏภากนิ่งสลับกันไปอย่างต่อเนื่อง ทำให้มองเห็นลักษณะภายนอกลักษณะว่าสารทั้งหมดเคลื่อนที่ไปพร้อมกันด้วยความเร็วสม่ำเสมอ สารหนึ่งๆ จะใช้เวลาในวัฏภากนิ่ง (ไม่เคลื่อนที่) และใช้เวลาในวัฏภากเคลื่อนที่ (เคลื่อนที่ด้วยความเร็วเท่ากับวัฏภากเคลื่อนที่) แตกต่างกัน และเป็นสาเหตุที่สารต่างชนิดกัน จะเคลื่อนที่ด้วยความเร็วไม่เท่ากัน ด้วยเหตุที่โมเลกุลทั้งหลายเคลื่อนที่อย่างไม่มีระเบียบและเคลื่อนที่ไปทุกทิศทางทำให้เกิดการแพร่กระจายตัวของโซน (กลุ่มสาร) พร้อมๆ กับการเคลื่อนที่ของโซน

ถ้ากำหนดให้ t_s เป็นเวลาที่โมเลกุลถูกดูดซับหรือเวลาที่โมเลกุลอยู่ในวัฏภากนิ่ง

t_M เป็นเวลาที่โมเลกุลอยู่ในวัฏภากเคลื่อนที่ หรือเวลาคงค้างของสารไม่คงค้าง.

F เป็นอัตราการไหลของวัฏภากเคลื่อนที่

ด้วยเหตุที่โมเลกุลหนึ่งๆ จะหมุนเวียนซ้ำๆ ระหว่างวัฏภากเคลื่อนที่และวัฏภากนิ่งสลับกันไปโดยใช้เวลา t_s เคลื่อนที่ด้วยความเร็วเป็น 0 และใช้เวลา t_M เคลื่อนที่ด้วยความเร็วเป็น F

$$\text{จะได้ } \text{ ระยะทางที่ไม่เลกุลหนึ่งๆ เคลื่อนที่ไป} = t_M \times F \quad (2.1)$$

$$\text{ในขณะที่วัตถุภาคเคลื่อนที่จะเคลื่อนที่ไป} = (t_M + t_S) \times F \quad (2.2)$$

$$\text{โดยคำจำกัดความ} \quad R_f = \frac{\text{ปริมาณสารในวัตถุภาคเคลื่อนที่}}{\text{ปริมาณสารในคงอัมมัน}} \quad (2.3)$$

$$R_f = \frac{t_M \times F}{(t_M + t_S) \times F} \quad (2.4)$$

$$\text{หรือ} \quad R_f = \frac{1}{1+k} \quad (2.5)$$

$$\text{โดย} \quad k = \frac{t_S}{t_M} \quad (2.6)$$

สมการ (2.6) แสดงการเคลื่อนที่ของไม่เลกุลในโครโนໂตกราฟจากพื้นฐานทางจลดาศาสตร์ ถ้าพิจารณาทางอุณหพลศาสตร์จะช่วยให้เห็นภาพอีกมุมหนึ่ง โดยอุณหพลศาสตร์จะพิจารณาดึงสมดุลยกภาพของไม่เลกุลทั้งหมดในโซนๆหนึ่ง ไม่เลกุลบางส่วนจะอยู่ในวัตถุภาคนิ่ง และบางส่วนจะอยู่ในวัตถุภาคเคลื่อนที่ในสภาวะสมดุล หรือเกือบจะสมดุลตลอดเวลา การทำโครโนໂตกราฟโดยใช้คงอัมมันเป็นตัวแยกสารจะใช้ระยะทางเป็นตัวกำหนดค่านั่นคือ สารทุกตัวจะต้องถูกจะออกจากคงอัมมัน ดังนั้นเมื่อกำหนดให้

$$F_1, F_2 = \text{อัตราการไหลของสารตัวอย่างและสารวัตถุภาคเคลื่อนที่}$$

$$L_1, L_2 = \text{ระยะทางที่สารและวัตถุภาคเคลื่อนที่ที่เคลื่อนที่ไปในเวลา } t$$

$$\text{จะได้} \quad L_1 = t \times F_1 \quad (2.7)$$

$$L_2 = t \times F_2 \quad (2.8)$$

$$\text{โดย} \quad R_f = \text{ระยะทางที่สารเคลื่อนที่ไป} / \text{ระยะทางที่วัตถุภาคเคลื่อนที่เคลื่อนที่ไป} \quad (2.9)$$

$$R_f = L_1 / L_2 \quad (2.10)$$

แทนค่าสมการ (2.7) และ (2.8) ลงในสมการ (2.10)

$$R_f = F_1 / F_2 \quad (2.11)$$

$$\text{และ} \quad F_1 = R_f \times F_2 \quad (2.12)$$

นั่นคือสารเคลื่อนที่ด้วยอัตราเร็วเป็น R_f เท่าของวัตถุภาคเคลื่อนที่ และถ้าสารทั้งสาร และวัตถุภาคเคลื่อนที่ต้องเคลื่อนที่เป็นระยะทาง L จะได้ว่า

$$\text{วัตถุภาคเคลื่อนที่} \quad L = F_2 \times t_M \quad (2.13)$$

$$\text{สารตัวอย่าง} \quad L = F_1 \times t_R \quad (2.14)$$

แทนค่าสมการ (2.12) ลงในสมการ (2.14) จะได้ว่า

$$L = R_f \times F_2 \times t_R \quad (2.15)$$

นำสมการ(2.13) หารด้วยสมการ (2.15) จะได้

$$R_f = t_M / t_R \quad (2.16)$$

ถ้าพิจารณาในทางสมดุลภาพทางอุณหพลศาสตร์ จะพิจารณาถึงสมดุลภาพของโนเมเลกุลทั้งหมดในโซน ๆ หนึ่ง ซึ่งโนเมเลกุลบางส่วนจะอยู่ในวัฏภาคนึงและบางส่วนอยู่ในวัฏภาคเคลื่อนที่ในสภาวะสมดุลหรือเกือบสมดุลตลอดเวลา

ถ้าให้ C_s = ความเข้มข้นของสารในวัฏภาคนึง

C_m = ความเข้มข้นของสารในวัฏภาคเคลื่อนที่

V_s = ปริมาตรของวัฏภาคนึง

V_m = ปริมาตรของวัฏภาคเคลื่อนที่

จะได้ ปริมาณสารในวัฏภาคนึง = $C_s \times V_s$

ปริมาณสารในวัฏภาคเคลื่อนที่ = $C_m \times V_m$

ในกรณีที่เป็น Adsorption chromatography เปลี่ยน V_s เป็น A_s (พื้นที่ผิวของสารดูดซับ)

ปริมาณสารในโซน = $C_s \times A_s$ จะได้

$$R_f = \frac{C_m \times V_m}{(C_m \times V_m) + (C_s \times V_s)} \quad (2.17)$$

$$R_f = \frac{V_m}{V_m + KV_s} \quad (2.18)$$

หรือ $R_f = \frac{1}{1 + \left(\frac{K}{\beta}\right)}$ (2.19)

โดย K = สัมประสิทธิ์การแบ่งละลาย (Partition coefficient) มีค่า C_s / C_m

β = อัตราส่วนปริมาตรวัฏภาคเคลื่อนที่ต่อปริมาตรวัฏภาคนึง

โดย K เป็นสัมประสิทธิ์การแบ่งละลาย (Partition coefficient) มีค่า C_s / C_m ในกรณีที่ต้องการความละเอียดและแม่นยำสูง K จะเป็นแอกทิวิตี้ (Activity) แทนความเข้มข้นแต่ในสารละลายเจือจางมากๆ ความแตกต่างระหว่างความเข้มข้นและแอกทิวิตี้นั้นน้อยมาก การใช้ความเข้มข้นจะให้ค่าพิคพาดไม่มาก

สมการ (2.19) นี้แสดงให้เห็นถึงความสัมพันธ์ระหว่างค่า R_f กับค่า K คือองค์ประกอบใดๆ ที่ทำให้ค่า K นี้เปลี่ยนไปจะมีผลต่อค่า R_f ในทิศทางตรงข้าม ถ้า K มีค่ามาก R_f จะมีค่าน้อย เช่นกัน อุณหภูมิจะมีผลต่อค่า K โดยส่วนใหญ่การถ่ายเทนวลาจากวัฏภาพเคลื่อนที่เข้าสู่วัฏภาพนิ่งจะเป็นกระบวนการการยกความร้อน (Exothermic process) และในทางตรงข้าม การถ่ายเทนวลาจากวัฏภาพนิ่งของนายังวัฏภาพเคลื่อนที่จะเป็นกระบวนการการดูดกลืนความร้อน (Endothermic process) ดังนั้น การเพิ่มอุณหภูมิของระบบให้สูงขึ้น ระบบจะดูดกลืนความร้อนพร้อมกับถ่ายเทนวลาจากวัฏภาพนิ่งมาสู่วัฏภาพเคลื่อนที่มากขึ้น (ค่า K จะลดลงและค่า R_f จะสูงขึ้น) การเคลื่อนที่ของโนเลกูลในโครมาโทกราฟจะเคลื่อนที่ได้เร็วขึ้น

การวิเคราะห์อิทธิพลของอุณหภูมิต่อค่า K ในเชิงปริมาณนี้ ต้องใช้สมการทางอุณหพลศาสตร์ (Thermodynamics) เข้าช่วย โดยอนุโลมให้ค่า K เป็นค่าคงที่ของสมดุล (Equilibrium constant) เพราการถ่ายเทนว拉斯ูงพิเศษของวัฏภาพนิ่ง และวัฏภาพเคลื่อนที่เกิดได้รวดเร็ว และจะอยู่ในสภาวะสมดุลหรือเกือบสมดุลตลอดเวลาหนึ่นคือ

$$\Delta G^0 = -RT \ln K \quad (2.20)$$

$$\text{หรือ} \quad K = e^{-\Delta G^0 / RT} \quad (2.21)$$

$$K = e^{-(\Delta H^0 - T\Delta S^0) / RT} \quad (2.22)$$

ΔG^0 = พลังงานอิสระมาตรฐานของการละลาย

ΔH^0 = เอนทัลปีมาตรฐานของการละลาย (Enthalpy of solution)

ΔS^0 = เอนทัลปีมาตรฐานของการละลาย (Enthalpy of solution)

T = อุณหภูมิ (Kelvin)

R = ค่าคงตัวของแก๊ส (Gas constant)

K = ค่าคงที่สมดุล (Equilibrium constant)

พิจารณาค่า K จากสมการ (2.19) โดยแทนค่า R_f จากสมการ (2.16) ลงในสมการ (2.19) จะได้

$$\left(\frac{K}{\beta} \right) = \left(\frac{t_R}{t_M} \right) - 1 \quad (2.23)$$

$$\left(\frac{K}{\beta} \right) = \left(\frac{t_R - t_M}{t_M} \right) = k \quad (2.24)$$

ใส่ \ln ทั้งสองข้างในสมการ (2.24) จะได้

$$\ln K - \ln \beta = \ln \left(\frac{t_R - t_M}{t_M} \right) \quad (2.25)$$

$$\ln K = \ln \left(\frac{t_R - t_M}{t_M} \right) + \ln \beta \quad (2.26)$$

เมื่อแทนค่า $\ln K$ จากสมการ (2.26) ลงในสมการ (2.20) จะได้

$$\ln \left(\frac{t_R - t_M}{t_M} \right) = \frac{-\Delta G^0}{RT} - \ln \beta \quad (2.27)$$

$$\text{หรือ} \quad \ln \left(\frac{t_R - t_M}{t_M} \right) = \frac{-\Delta \mu^0}{RT} - \ln \beta \quad (2.28)$$

เมื่อ ΔG^0 = พลังงานอิสระมาตรฐานของการละลาย
 $\Delta \mu^0$ = ความต่างศักย์เคมีมาตรฐาน

ซึ่งความสัมพันธ์ระหว่างค่าพลังงานอิสระของการละลายหรือความต่างศักย์เคมีมาตรฐานเออนทัลปีและเออนโทรอปี เป็นไปตามสมการ

$$\Delta G^0 = \Delta H^0 - T\Delta S^0 \quad (2.29)$$

$$\Delta \mu^0 = \Delta H^0 - T\Delta S^0 \quad (2.30)$$

สำหรับสารนอร์มัลพาราฟิน ความสัมพันธ์ของความต่างศักย์เคมีสามารถเขียนได้ดังนี้

$$\Delta \mu^0 = \Delta \mu_0 + z\delta \mu \quad (2.31)$$

เมื่อ z = จำนวนคาร์บอน

$\Delta \mu^0$ = ความต่างศักย์เคมีมาตรฐานของสารตัวอย่างที่มีจำนวนคาร์บอนอะตอมเป็น n

$\Delta \mu_0$ = ความต่างศักย์เคมีมาตรฐานของสารตัวอย่างที่มีจำนวนคาร์บอนอะตอมเป็น 0

$\delta \mu$ = ศักย์เคมีที่เปลี่ยนไปต่อหนึ่งหน่วยเมทธิลีน (one methylene unit)

เมื่อแทนค่าในสมการ (2.30) ลงในสมการ (2.31) จะได้

$$\Delta \mu_z^0 = \Delta H_0 - T\Delta S_0 + z\delta H - zT\delta S \quad (2.32)$$

$$\text{หรือ} \quad \Delta \mu_z^0 = (\Delta H_0 + z\delta H) - (T\Delta S_0 + zT\delta S) \quad (2.33)$$

แทนค่าสมการ (2.33) ลงในสมการ (2.28) จะได้

$$\ln \left(\frac{t_R - t_M}{t_M} \right) = -\frac{\Delta H_0}{RT} - \frac{z\delta H}{RT} + \frac{\Delta S_0}{R} + \frac{z\delta S}{R} - \ln \beta \quad (2.34)$$

$$\ln \left(\frac{t_R - t_M}{t_M} \right) = \frac{\Delta S_0}{R} - \ln \beta + \frac{z\delta S}{R} - \frac{\Delta H_0}{RT} - \frac{z\delta H}{RT} \quad (2.35)$$

$$\ln \left(\frac{t_R - t_M}{t_M} \right) = a + bz + \frac{c}{T} + \frac{dz}{T} \quad (2.36)$$

โดย $a = \frac{\Delta S_0}{R} - \ln \beta$, $b = \frac{\delta S}{R}$, $c = -\frac{\Delta H_0}{R}$, $d = -\frac{\delta H}{R}$

ΔH_0 มักมีค่าเป็นลบ (ตามที่กล่าวมาข้างต้นว่าการถ่ายเทนวลดจากวัฏภาพเคลื่อนที่เข้าสู่วัฏภาพนิ่งเป็นกระบวนการร้ายแรง) โดยทั่วไป ΔH_0 จะมีค่าระหว่าง 0 ถึง -20 กิโลแคลอรี/โมล แต่บางครั้ง ΔH_0 อาจมีค่าเป็นบวกได้ เช่นกัน ผลของอุณหภูมิจะเห็นได้ชัดในแก๊สโคมนาโตกราฟี และโคมนาโตกราฟีแบบอะซีฟีเออลซี นอกจากอุณหภูมิแล้วความดันก็มีอิทธิพลต่อค่า K เช่นกัน แต่อิทธิพลของความดันนั้นค่อนข้างน้อยเมื่อเทียบกับอิทธิพลของอุณหภูมิ

ทั้งอุณหภูมิและความดันนี้เป็นองค์ประกอบทางกายภาพที่มีผลต่อค่า K และ R_f ส่วนองค์ประกอบทางเคมีที่มีผลต่อค่า K และ R_f ได้แก่ โมเลกุลของสารที่ต้องการแยกวัฏภาพนิ่งและวัฏภาพเคลื่อนที่ เป็นต้น ถ้าโมเลกุลของสารที่จะแยกและวัฏภาพนิ่งมีสภาพข้าม (polarity) สูง มักจะมีแรงดึงดูดซึ่งกันและกันสูง เมื่อจะดึงตัวทำละลายที่มีความมีสภาพข้ามตัว โอกาสที่สารจะถูกชะออกมาน้ำสู่วัฏภาพเคลื่อนที่จะน้อย ค่า K จะมากและค่า R_f จะน้อย ถ้าเพิ่มสภาพข้ามของวัฏภาพเคลื่อนที่ให้สูงขึ้น สารที่ต้องการแยกจะถูกชะออกมานิ่งวัฏภาพเคลื่อนที่มากขึ้น ค่า K จะน้อยลงและค่า R_f จะสูงขึ้น ในทางกลับกันถ้าโมเลกุลของสารที่จะแยก สารคูคูชันและวัฏภาพเคลื่อนที่มีสภาพข้ามตัว สารจะถูกชะออกมาน้อยมาก ค่า K จะน้อยและค่า R_f จะสูง แต่ถ้าเพิ่มสภาพข้ามของวัฏภาพเคลื่อนที่ สารจะถูกละลายออกมาน้อยลง ค่า K จะสูงขึ้นและค่า R_f จะน้อยลง เป็นต้น

สมการ (2.35) หรือ (2.36) เป็นสมการที่โยงความสัมพันธ์ระหว่างค่าเวลาคงค้าง หรือตัวประกอบคงค้าง กับพารามิเตอร์ทางอุณหพลศาสตร์ ซึ่งถูกนำมาใช้ทำการเคลื่อนที่สาร และใช้วิเคราะห์เอกลักษณ์สาร ได้แม่นยำ จากสมการ (2.36) หากพิจารณาให้อุณหภูมิคงที่สามารถลดรูปลงเหลือ

$$\ln \left(\frac{t_R - t_M}{t_M} \right) = a'' + b''z \quad (2.37)$$

โดย $a'' = a + \frac{c}{T}$ (2.38)

และ $b'' = b + \frac{d}{T}$ (2.39)

a'' และ b'' ได้จากการเขียนกราฟระหว่างค่า $\ln(t_R - t_M)/t_M$ กับ z จะได้จุดตัดแกน y เป็น a'' และความชัน (slope) เป็น b'' หากเขียนกราฟระหว่าง a'' กับ $1/T$ จะได้ค่า a และ c และหากเขียนกราฟระหว่าง b'' กับ $1/T$ จะได้ค่าคงที่ b และ d

ในทำนองเดียวกันหากพิจารณาให้จำนวนการ์บอนคงที่ สมการ (2.36) สามารถครุปเปลี่ยอ

$$\ln \left(\frac{t_R - t_M}{t_M} \right) = a' + \frac{b'}{T} \quad (2.40)$$

โดย $a' = a + bz$ (2.41)

$$b' = c + dz \quad (2.42)$$

การเขียนกราฟระหว่าง a' (จุดตัดแกน y) กับ z จะได้ค่าคงที่ a และ b หากเขียนกราฟระหว่าง b' กับ z จะได้ค่าคงที่ c และ d เช่นกัน

2.4 ทฤษฎีการเคลื่อนของสารในแก๊สโคมนาโตกราฟแบบแก๊ส-ของเหลว [17,18]

James และ Martin [4] ได้ศึกษาและรายงานว่า ค่าพลังงานอิสระ (ΔG^0) ของสารในอนุกรมฟิงก์ชันเดียวกัน ที่มีการเคลื่อนย้ายระหว่างวัฏภาพเคลื่อนที่และวัฏภาพนิ่ง เกิดจากผลรวมพลังงานอิสระของการละลาย (free energy of solution) ของโครงสร้างแต่ละส่วนโน้มเลกุล ดังสมการคือ

$$\Delta G^0 = \Delta G_0 + z\delta G \quad (2.43)$$

เมื่อ ΔG_0 = ค่าพลังงานอิสระที่เกิดจากสารที่มีจำนวนการ์บอนเท่ากับศูนย์

δG = ค่าพลังงานอิสระที่เปลี่ยนไปต่อหนึ่งหมู่เมธิลีน

z = จำนวนการ์บอนอะตอนในโน้มเลกุล

โดยค่า ΔG^0 ของสารมีความสัมพันธ์เชิงเส้นกับ ΔH^0 (ค่าเอนทัลปีมาตรฐาน; standard enthalpy) และ ΔS^0 (ค่าเอนโทรปีมาตรฐาน; standard entropy) ตามอุณหพลศาสตร์เบื้องต้นคือ

$$\Delta G^0 = \Delta H^0 - T\Delta S^0 \quad (2.44)$$

เมื่อแทนค่าสมการ (2.44) ในสมการ (2.43) จะได้

$$\Delta G^0 = \Delta H_0 - T\Delta S_0 + z\delta H - zT\delta S \quad (2.45)$$

$$\text{หรือ} \quad \Delta G^0 = (\Delta H_0 + z\delta H) - (T\Delta S_0 + zT\delta S) \quad (2.44)$$

และหากสมมุติให้การโอนถ่ายสารระหว่างวัสดุภานิจและวัสดุภัณฑ์เคลื่อนที่อยู่ในภาวะไกล์สัมคุลมากรฯ จึงสามารถนำสมการที่สมดุลยภาพมาใช้ได้โดยไม่ก่อให้เกิดความคลาดเคลื่อนมากนักซึ่งสมการคือ

$$\Delta G^0 = -RT \ln K \quad (2.46)$$

แทนค่าสมการ (2.45) ลงในสมการ (2.46) จะได้

$$\ln K = \frac{(\Delta H_0 - T\Delta S_0) + (z\delta H - zT\delta S)}{RT} \quad (2.47)$$

$$\text{หรือ} \quad \ln k = -\frac{\Delta H_0}{RT} - \frac{z\delta H}{RT} + \frac{\Delta S_0}{R} + \frac{z\delta S}{R} - \ln \beta \quad (2.48)$$

$$\text{หรือ} \quad \ln k = a + bz + \frac{c}{T} + \frac{d}{T} \quad (2.49)$$

โดย $K = \beta k$, เมื่อ β เป็นอัตราส่วนปริมาตรของวัสดุภัณฑ์เคลื่อนที่ต่อปริมาตรของวัสดุภานิจ และ k คือ ตัวประกอบคงค้าง (retention factor)

$$k = \frac{t_R - t_M}{t_M} \quad (2.50)$$

$$\text{โดย } a = \frac{\Delta S_0}{R} - \ln \beta, b = \frac{\delta S}{R}, c = -\frac{\Delta H_0}{R}, d = -\frac{\delta H}{R}$$

ดังนั้นมีอนามัยความสัมพันธ์กับสมการของ Krisnangkura และคณะ [3] โดยแทนค่าสมการ (2.49) และสมการ (2.45) ลงในสมการ James และ Martin (2.46) ดังนี้

$$\Delta G^0 = (-cR) - (a + \ln \beta)RT + z(-dR - bRT) \quad (2.51)$$

$$\begin{aligned} \text{เมื่อค่า } \Delta G_0 & \text{ คือ } (-cR) - (a + \ln \beta)RT \\ \delta G & \text{ คือ } (-dR - bRT) \end{aligned}$$

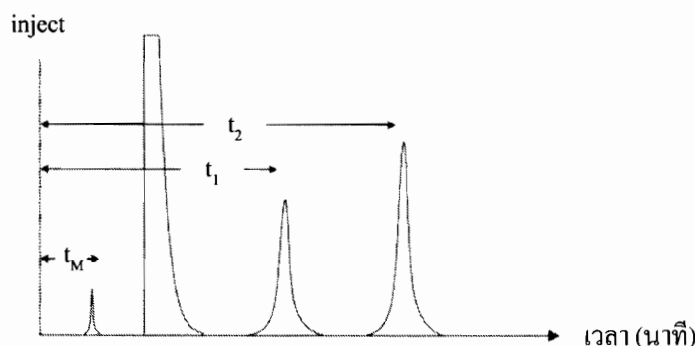
ซึ่งสมการที่ (2.48) และ (2.49) เป็นสมการที่เข้มข้นอย่างความสัมพันธ์ระหว่างเวลาคงค้างหรือตัวประกอบคงค้างกับพารามิเตอร์ทางอุณหพลศาสตร์ ซึ่งถูกนำมาใช้ทำนายการเคลื่อนที่ของสารและใช้วิเคราะห์เอกลักษณ์ของสารใน GLC ได้

2.5 การวิเคราะห์เอกลักษณ์สารด้วยแก๊สโถกรามาโตกราฟี

2.5.1 การใช้ข้อมูลค่าเวลาคงค้าง (Retention Time)

การวิเคราะห์สารด้วยวิธีโถกรามาโตกราฟี จะทำภายใต้สภาวะที่มีอุณหภูมิ อัตราการไหลของแก๊สตัวพา ความยาวคอลัมน์ และสารบรรจุในคอลัมน์คงที่นั้น สารจะถูกชะออกจากการคอลัมน์ด้วยเวลา หรือ ปริมาตรคงที่ ดังนั้นในการวิเคราะห์เพื่อพิสูจน์เอกลักษณ์ของสารตัวอย่าง จำเป็นต้องวิเคราะห์สารอ้างอิง (reference sample) ที่รู้สูตรโครงสร้างแน่นอนควบคู่กันไปโดยทำภายใต้สภาวะเดียวกัน และเปรียบเทียบค่าเวลา (ปริมาตร) คงค้างของสารตัวอย่างกับสารอ้างอิงว่าตรงกันหรือไม่ ถ้าค่าทั้งสองต่างกัน ก็สามารถสรุปได้ว่า สารทั้งสองไม่ใช่สารชนิดเดียวกัน แต่หากค่าทั้งสองตรงกันอาจยังไม่สามารถสรุปได้ว่า สารทั้งสองเป็นสารชนิดเดียวกัน เพราะอาจจะมีสารอื่นบางตัวที่มีค่าเวลาคงค้างเท่ากันกับสารอ้างอิง ในกรณีที่ไม่มีความแน่ใจเป็นใช้เครื่องมืออื่นเข้าช่วย เช่น แมสสเปกโต์มิเตอร์ (Mass spectrometer) ต่อเข้ากับเครื่องแก๊สโถกรามาโตกราฟ อินฟราเรดสเปกโตรโฟโตมิเตอร์ (IR Spectrophotometer) ต่อเข้ากับเครื่องแก๊สโถกรามาโตกราฟ เป็นต้น

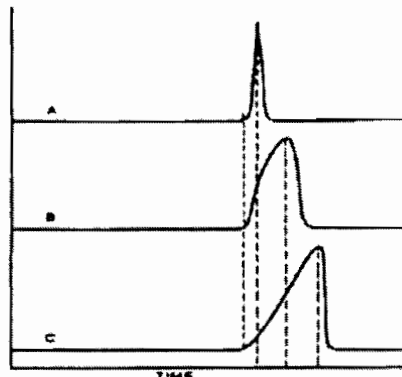
การใช้ค่าเวลาคงค้างอาจจะใช้ได้ใน 2 ลักษณะคือ ลักษณะไม่ปรับค่า (Unadjusted retention time) และปรับค่ากับเวลาคงค้างของอากาศหรือเวลาคงค้างของสารไม่คงค้าง (Unretained compound) เวลาคงค้างไม่ปรับค่าเป็นเวลาที่นับตั้งแต่ฉีดสารจนถึงยอดของพีคที่สารนั้นถูกชะออกมานะ เวลาคงค้างไม่ปรับค่ามักไม่ค่อยใช้กัน เพราะข้อมูลไม่อาจนำไปเปรียบเทียบกับเครื่องมือและคอลัมน์ชนิดอื่น แต่ให้ความสะดวกอย่างมาก และให้ค่าการทำงานซึ่ดีในเครื่องมือ และสภาวะการทำโถกรามาโตกราฟีเดียวกัน ส่วนค่าเวลาคงค้างปรับค่า เป็นค่าที่วัดจากยอดพีคของสารไม่คงค้าง หรือพีคของตัวทำละลายถึงยอดพีคของสาร (รูปที่ 2.2) ค่านี้จะลบค่าปริมาตรตาย (Dead volume) ของเครื่องมือออกแล้ว เวลาคงค้างปรับค่านี้จะเปลี่ยนตามสภาวะการทำงานโถกรามาโตกราฟอย่างมาก เช่น ขนาดของคอลัมน์ (เส้นผ่านศูนย์กลางและความยาว) อัตราการไหลของแก๊สตัวพา อุณหภูมิ ชนิดของสารบรรจุ และชนิดของแก๊สตัวพา เป็นต้น



รูปที่ 2.2 โถกรามาโตแกรมแสดงการวัดค่าเวลาคงค้างชนิดต่างๆ

- จากรูป 2.2 t_M = เวลาคงค้างของอากาศหรือสาร ไม่ถูกค้าง
 t_1 = เวลาคงค้าง (ไม่ปรับค่า) ของสารตัวที่ 1
 t_2 = เวลาคงค้าง (ไม่ปรับค่า) ของสารตัวที่ 2
 t_1' = เวลาคงค้าง (ปรับค่า) ของสารตัวที่ 1 = $t_1 - t_M$
 t_2' = เวลาคงค้าง (ปรับค่า) ของสารตัวที่ 2 = $t_2 - t_M$

นอกจากนี้ขั้นตอนของสารตัวอย่างที่ฉีดเข้าเครื่องแก๊สโตรามาโดยрафก็มีความสำคัญ เพราะถ้าฉีดสารตัวอย่างเข้าไปในปริมาณมากๆ เรียกว่าเกิด column overloaded พิกที่ตรวจวัดได้จะเปลี่ยนไปทำให้ค่าเวลาจะผิดไปดัง รูปที่ 2.3 เมื่อปรากฎการณ์นี้เกิดขึ้นควรลดขนาดของสารตัวอย่างลงให้พอเหมาะสม โดยทำการจ่อจางสารตัวอย่าง



รูปที่ 2.3 แสดงผลกระบวนการใช้ขั้นตอนของสารตัวอย่างต่อค่าเวลาจะ
A เมื่อคลัมน์ไม่ overloaded
B เมื่อคลัมน์มี overloaded เล็กน้อย
C เมื่อคลัมน์มี overloaded มาก

2.5.2 การใช้ค่าลอการิตึมเวลาคงค้าง

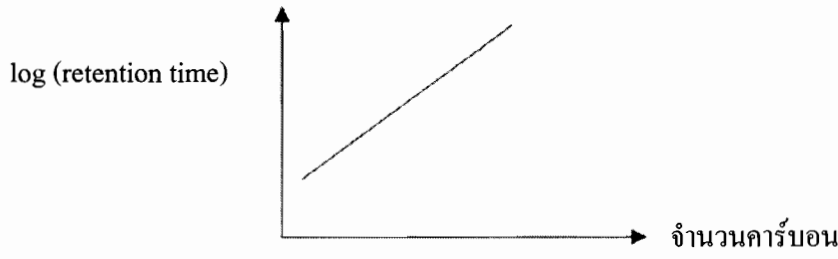
การพิสูจน์เอกลักษณ์สารในอนุกรมเดียวกัน (Homologous series) สามารถใช้ความสัมพันธ์เชิงเส้นระหว่างค่า \log (เวลาคงค้าง) กับจำนวนคาร์บอนของสารอนุกรมเดียวกัน เขียนเป็นสมการได้คือ

$$\log(t_r') = a + bN \quad (2.52)$$

โดย N = จำนวนคาร์บอน

a และ b = ค่าคงตัว

หรืออาจเขียนเป็นกราฟได้ดังรูปที่ 2.4



รูปที่ 2.4 กราฟความสัมพันธ์เชิงเส้นระหว่างจำนวนคาร์บอนกับค่า log (เวลาคงค้าง)
ของสารในอนุกรมเดียวกัน

2.5.3 การใช้ค่าคงค้างสัมพันธ์ (Relative retention; α)

ค่าคงค้างสัมพันธ์นี้ไม่มีหน่วยหาได้จากเวลาคงค้างหรือปริมาตรคงค้างของสารหารด้วยเวลาคงค้างหรือปริมาตรคงค้างของสารอ้างอิงที่ผสมลงไปในตัวอย่างถ้าให้สารตัวที่หนึ่งเป็นสารอ้างอิงที่เติมลงไปค่าคงค้างสัมพันธ์จะได้

$$\alpha = \frac{t_2'}{t_1'} \quad (2.53)$$

ค่าคงค้างสัมพันธ์นี้เป็นค่าที่แนะนำให้ใช้พิสูจน์เอกลักษณ์ของสารเพราเวคานี่เปรียบเทียบกับการทำโพรโนโลกราฟเพียงสองตัวคือ อุณหภูมิของคลอสัมบ์ และวัฏภาคนิจ

2.5.4 ดัชนีคงค้าง (Retention Index; I)

การพิสูจน์เอกลักษณ์สารสามารถทำให้แน่ชัดยิ่งขึ้น โดยใช้ค่าดัชนีคงค้างของโ哥แวนท์ (Kovats) [21] ซึ่งมีสูตรการคำนวณดังนี้คือ

$$I = 100N + 100 \frac{\log(t_R')_x - \log(t_R')_N}{\log(t_R')_{N+1} - \log(t_R')_N} \quad (2.54)$$

โดย $(t_R')_x$ เป็นเวลาคงค้างของสาร x ที่จะวิเคราะห์เอกลักษณ์

$(t_R')_N$ และ $(t_R')_{N+1}$ เป็นเวลาคงค้างของนอร์มัลพาราfinที่มีจำนวนคาร์บอนเป็น N และ $N+1$

N เป็นจำนวนคาร์บอนของนอร์มัลพาราfinที่ใช้อ้างอิง

ดัชนีคงค้างนี้อาจจะเรียกอีกชื่อหนึ่งคือ ดัชนีโ哥แวนท์ วิธีนี้คล้ายคลึงกับการใช้ค่า log (เวลาคงค้าง) และหากำไรโดยวิธีการสร้างกราฟมาตราฐานได้เช่นกัน แต่จะต่างกันเล็กน้อยคือ ดัชนีคงค้างจะใช้นอร์มัลพาราfinเป็นสารอ้างอิง ค่าที่ได้จะเป็นจำนวนคาร์บอนเทียบเท่ากับนอร์มัลพาราfinหากการวิเคราะห์

สารกระทำบนคอลัมน์สองชนิดที่มีความเป็นขี้ว่าต่างกันผลต่างของดัชนีคงค้าง (ΔI) จะบ่งบอกถึงลักษณะโครงสร้างหรือหมู่พังก์ชันของสารได้

$$\Delta I = I_{\text{polar}} - I_{\text{non-polar}} \quad (2.55)$$

โดย ΔI เป็นความแตกต่างของดัชนีคงค้างของสารบนคอลัมน์ที่มีขี้ว่า กับคอลัมน์ที่ไม่มีขี้ว่า แล้วปิดตารางเทียบซึ่งเวลาห้องและโภแวดล้อมรวมค่า ΔI ของสารประกอบอินทรีย์มากชนิดด้วยกัน หรือการเขียนกราฟระหว่างค่า \log (เวลาคงค้าง) กับจำนวนครั้งนับจากส่องคอลัมน์ที่มีสารบรรจุที่มีความเป็นขี้ว่าต่างกัน จะให้กราฟเส้นตรงเช่นกัน ความชันของกราฟจะบ่งบอกถึงหมู่พังก์ชันของสารในอนุกรมนั้น ๆ ซึ่งวิธีนี้ไม่ค่อยเป็นที่นิยมกันมาก เพราะหมู่พังก์ชันของสารหาโดยวิธีการทางเคมีหรือวิธีอื่นๆ จะให้ผลที่แพร่หลายกว่า

2.5.5 ความยาวโซ่อาร์บอนเทียนเท่า (Equivalent Chain Length; ECL)

การคัดแปลงค่าดัชนีคงค้างมาใช้วิเคราะห์เอกลักษณ์กรดไขมันเมทิลเอสเทอร์ นับเป็นตัวอย่างที่ดีและใช้กันแพร่หลายในเคมีลิปิด Miwa และคณะ [22] และ Woodford และ vanGent [23] ได้เสนอการใช้กรดไขมันเมทิลเอสเทอร์เป็นสารอ้างอิงแทนนอร์มัลพาราฟินในการวิเคราะห์กรดไขมันเมทิลเอสเทอร์ ดัชนีคงค้างเปลี่ยนเป็นจำนวนครั้งนับ (carbon number) หรือความยาวโซ่อาร์บอนเทียนเท่า (ECL) เนื่องจากจำนวนครั้งนับที่วิเคราะห์ได้ มักจะมีค่าจุดทนนิยมซึ่งแข็งกับความร้อนสักหัวไปว่าจำนวนครั้งนับของสารเป็นจำนวนเต็ม ดังนั้นปัจจุบันจึงใช้ค่า ECL กันแพร่หลายมากกว่า การหาค่า ECL กระทำลักษณะเดียวกันกับการทำค่าดัชนีคงค้าง เพียงแต่เปลี่ยนสารอ้างอิงเป็นกรดไขมันเมทิลเอสเทอร์แทนนอร์มัลพาราฟิน การใช้กรดไขมันเมทิลเอสเทอร์เป็นสารอ้างอิงทำได้สะดวก เนื่องจากกรดไขมันที่มีจำนวนครั้งนับ 14, 16 และ 18 อะตอมจะพบหัวไปในน้ำมันพืชหรือไขสัตว์และสามารถใช้เป็นสารอ้างอิงได้กราฟมาตรฐานสร้างโดยการเขียนกราฟระหว่าง $\log(t_R')$ กับจำนวนครั้งนับของกรดไขมัน และค่า ECL อ่านจากเส้นกราฟโดยตรงหรืออาจจะคำนวณตามสมการ (2.56) คือ

$$ECL = N + 2 \frac{\log(t_R')_X - \log(t_R')_Z}{\log(t_R')_{Z+2} - \log(t_R')_Z} \quad (2.56)$$

โดย $(t_R')_X$ เป็นเวลาคงค้างปรับค่าของสารตัวอย่าง

$(t_R')_Z$ และ $(t_R')_{Z+2}$ เป็นเวลาคงค้างปรับค่าของกรดไขมันเมทิลเอสเทอร์อ้างอิงที่มีจำนวนครั้งนับเป็น Z และ Z+2 อะตอม ตามลำดับ

2.6 ลิปิด (Lipids)

ลิปิด (lipids) เป็นชีวโมโนเลกุลที่มีอยู่ในสิ่งมีชีวิตทุกระดับ โครงสร้างทางเคมีของลิปิดมีหลากหลาย แต่ มีสิ่งที่เหมือนกัน คือมีส่วนของโครงสร้างที่เป็นไฮโดรคาร์บอนที่ไม่มีข้าว (non-polar) ซึ่งแสดง คุณสมบัติไม่ชอบน้ำ (hydrophobicity) และมีผลทำให้สามารถละลายได้ดี ในตัวทำละลายอินทรีย์ (organic solvent) ลิปิดบางชนิดประกอบด้วยส่วนที่มีข้าว (polar) ที่มีประจุหรือไม่มีประจุอยู่ใน โครงสร้างทำให้มีคุณสมบัติชอบน้ำ (hydrophilicity) ลิปิดที่มีคุณสมบัติสองอย่างนี้อยู่ด้วยกันจะเป็น Amphiphatic molecule หรือ แอมฟิไฟล์ (Amphiphiles) ลิปิดกลุ่มนี้สามารถทำหน้าที่เป็นตัวกลาง ทำ ให้ลิปิดที่ไม่ชอบน้ำสามารถกระชาดตัวอยู่ในน้ำได้ ตัวอย่างของลิปิดกลุ่มนี้ได้แก่ ฟอสโฟกลีเซอไรด์ (phosphoglyceride) สฟิงโกลิปิด (sphingolipid) เป็นต้น ลิปิดบางชนิดมีส่วนของโมโนเลกุลที่ไม่มีข้าว เป็นชนิดสายตรง เช่น กลีเซอไรด์ (glycerides) เทอร์พีโนอิด (terpenoid) หรือเป็นวงแหวน เช่น สเตอโรอิด (steroid) ลิปิดเหล่านี้จะมีคุณสมบัติเป็นกลาง (neutral lipids) มีความไม่ชอบน้ำสูงและ มักจะรวมตัวกันเอง หน้าที่ของลิปิดได้แก่ เป็นแหล่งสะสมพลังงาน เป็นโครงสร้างของเยื่อเซลล์ และ ทำหน้าที่เฉพาะอื่นๆ ที่จำเป็นต่อการมีชีวิต [24]

2.6.1 การจำแนกชนิดของลิปิด [25]

ปัจจุบันมีการจำแนกลิปิดออกเป็น 3 กลุ่มใหญ่ๆ ดังนี้

2.6.1.1 ลิปิดธรรมดा (Simple lipids)

เป็นเอสเทอร์ของกรดไขมันกับแอลกออลกอฮอล์ชนิดต่างๆ ซึ่งแบ่งเป็นกลุ่มย่อยๆ ได้แก่

- ไขมัน (fats) เป็นเอสเทอร์ของกรดไขมันกับกลีเซอรอล ไขมันที่เป็นของเหลวที่ อุณหภูมิห้องเรียกว่า น้ำมัน (oils)

- ไข (waxes) เป็นเอสเทอร์ของกรดไขมันกับ โนโนไซคริกแอลกออล์ (monohydric alcohol) ที่มีน้ำหนักโมโนเลกุลสูง

2.6.1.2 ลิปิดเชิงประกอบ (Compound lipids)

เป็นเอสเทอร์ของกรดไขมันกับแอลกออลกอฮอล์ และมีสารอื่นรวมอยู่ด้วย ได้แก่

- ฟอสโฟลิปิด (phospholipids) เป็นกลุ่มของลิปิดที่โมโนเลกุลประกอบด้วย กรดฟอฟอริก กรดไขมันแอลกออล์ เบสที่มีไนโตรเจน (nitrogen containing bases) และอาจมีสารประกอบอื่นๆ ตัวอย่างของฟอสโฟลิปิด เช่น กลีเซอโรฟอสโฟลิปิด มีแอลกออลกอฮอล์ในโมโนเลกุลเป็นกลีเซอโรลส่วน สฟิงโกลิปิด มีแอลกออลกอฮอล์ในโมโนเลกุลเป็นสฟิงโกลิปิด เป็นต้น

- ไกลโคลิปิด (glycolipids) หรือ เซเรโโรไบไซเดส (cerebrosides) เป็นกลุ่มของลิปิดที่โมโนเลกุล ประกอบด้วย กรดไขมัน คาร์โนบอไชเดรต เบสที่มีไนโตรเจน แต่ไม่มีกรดฟอฟอริก

- สารประกอบลิปิดอื่นๆ ได้แก่ ไลโปโปรตีน ชัลโลฟลิปิด และ อะมิโนลิปิด เป็นต้น

2.6.1.3 อนุพันธ์ลิปิด (Derived lipids)

เป็นสารประกอบที่ได้จากการไฮโดรลิซของลิปิด 2 กลุ่มแรก ได้แก่ กรดไขมัน กลีเซอรอล โนโนนก็อกลีเชอไรค์ ไตรกลีเชอไรค์ สเตอรอยด์ คลอเรสเทรออล วิตามินที่ละลายได้ในไขมัน แครอทินอยด์ พรอสตაเกลนдин เทอร์ปีน ควิโนน และคีโตนบอดีส์ (ketones bodies) [26]

2.6.2 กรดไขมัน (Fatty acid)

ในธรรมชาติกรดไขมันเกิดขึ้นในรูปที่เป็นองค์ประกอบของไตรกลีเชอไรค์อยู่ในไขมัน และ นำมันที่พบในรูปของกรดไขมันอิสระ จำนวนคาร์บอนในโมเลกุลของกรดไขมันเป็นเลขคู่เสมอ เพราะการตั้งเคราะห์กรดไขมันมีสารเริ่มต้นเป็นหมู่อะเซทิก ซึ่งมีคาร์บอน 2 อะตอมมาต่อ กันเป็นโมเลกุลที่ใหญ่ขึ้น พันธะในโมเลกุลของกรดไขมันมีทั้งที่เป็นพันธะเดี่ยว และพันธะคู่ กรดไขมันที่มีพันธะเดี่ยว ทั้งหมดเรียกว่ากรดไขมันอิมตัว (saturated fatty acids) ส่วนกรดไขมันที่มีพันธะคู่ 1 พันธะหรือมากกว่าเรียกว่า กรดไขมันไม่อิมตัว (unsaturated fatty acids) กรดไขมันที่พบในอาหารจะมีจำนวนคาร์บอนตั้งแต่ 4-24 อะตอม ส่วนที่พบมากในร่างกายมีจำนวนคาร์บอน 16-20 อะตอม

2.6.2.1 กรดไขมันชนิดอิมตัว (Saturated fatty acid)

กรดไขมันอิมตัวมีสูตรทั่วๆไปคือ $C_nH_{2n}O_2$ เป็นกรดไขมันที่พันธะของคาร์บอนในโมเลกุลไม่สามารถรับไฮโดรเจนได้อีก กรดไขมันที่มีนำหนักโมเลกุลน้อย ได้แก่ กรดอะซิติก (มีคาร์บอน 2 อะตอม) และกรดบิวทิริก (มีคาร์บอน 4 อะตอม) เป็นกรดไขมันที่ละลายได้ในน้ำ กรดไขมันที่มีจำนวนคาร์บอนตั้งแต่ 6-10 อะตอม ละลายน้ำได้เพียงเล็กน้อย ส่วนกรดไขมันที่มีจำนวนคาร์บอนตั้งแต่ 12 อะตอมขึ้นไปไม่ละลายน้ำ กรดไขมันที่มีจำนวนคาร์บอนต่ำกว่า 10 อะตอม จะเป็นของเหลวที่อุณหภูมิห้อง ส่วนกรดไขมันที่มีจำนวนคาร์บอนตั้งแต่ 10 อะตอมขึ้นไปจะเป็นของแข็งที่อุณหภูมิห้อง

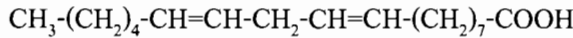
2.6.2.2 กรดไขมันชนิดไม่อิมตัว (Unsaturated fatty acid)

กรดไขมันชนิดไม่อิมตัวแบ่งออกเป็นกลุ่มย่อยๆ ตามจำนวนพันธะคู่ได้ดังนี้

ก) กรดไขมันชนิดไม่อิมตัวที่มี 1 พันธะคู่ (monosaturated fatty acids) เป็นกรดไขมันชนิดไม่อิมตัวที่มีพันธะคู่ในโมเลกุลเพียง 1 พันธะ มีสูตรทั่วๆไปคือ $C_nH_{2n-1}COOH$ ตัวอย่างเช่น กรดโอลีอิค (oleic acid ; $CH_3(CH_2)_7CH=CH-(CH_2)_7COOH$) พぶในน้ำมันมะกอก กรดปาล์มิโอลีอิค (palmitoleic acid ; $CH_3(CH_2)_{10}CH=CH-(CH_2)_7COOH$) พぶในน้ำมันปลาชาร์ดีน

ข) กรดไขมันชนิดไม่อิมตัวที่มีพันธะคุมากกว่า 1 พันธะ (polysaturated fatty acids) เป็นกรดไขมันชนิดไม่อิมตัวที่มีพันธะคุมากกว่า 1 พันธะ

- กรดไขมันชนิดไม่อิ่มตัวที่มีพันธะคู่ 2 พันธะ มีสูตรทั่วๆไปคือ $C_nH_{2n-3}COOH$ ได้แก่ กรดลิโนเลอิก (linoleic acid) มีคาร์บอนในโโมเลกุล 18 อะตอม มีพันธะคู่อยู่ที่ carbon ตำแหน่งที่ 9 และ 12 มีสูตรดังนี้



กรดลิโนเลอิกพบมากในน้ำมันพืช เช่น น้ำมันถั่วเหลือง น้ำมันงา น้ำมันถั่วลิสง น้ำมันข้าวโพด น้ำมันเมล็ดฝ้าย และน้ำมันเมล็ดดอกทานตะวัน เป็นต้น

- กรดไขมันชนิดไม่อิ่มตัวที่มีพันธะคู่ 3 พันธะ มีสูตรทั่วๆไปคือ $C_nH_{2n-5}COOH$ ได้แก่ กรดลิโนเลนิก (linolenic acid) มีคาร์บอนในโโมเลกุล 18 อะตอม มีพันธะคู่อยู่ที่ carbon บนตำแหน่งที่ 9, 12 และ 15 มีสูตรดังนี้



กรดลิโนเลนิกพบมากในน้ำมันถั่วเหลือง น้ำมันลินseed (linseed oil) น้ำมันดับปลา และน้ำมันจากปลาทะเลต่างๆ

- กรดไขมันชนิดไม่อิ่มตัวที่มีพันธะคู่ 4 พันธะ มีสูตรทั่วๆไปคือ $C_nH_{2n-7}COOH$ ได้แก่ กรดอะราคิโคนิก (arachidonic acid) มีคาร์บอนในโโมเลกุล 20 อะตอม มีพันธะคู่อยู่ที่ carbon ตำแหน่งที่ 5, 8, 11 และ 14 มีสูตรดังนี้



กรดอะราคิโคนิกพบเป็นจำนวนน้อยในน้ำมันถั่วลิสง แต่พบมากในน้ำมันดับปลา และน้ำมันจากปลาทะเลต่างๆ นอกจากนี้ยังพบในไขสัตว์ และอะครีนัล ฟอสฟ่า ไทด์

ตัวอย่างกรดไขมันประเภทไม่อิ่มตัวได้แก่

กรดอีรูซิก (erucic acid ; 13-docosenoic acid) พぶในน้ำมัน雷斯德

สูตรโครงสร้าง $CH_3-(CH_2)_7CH=CH(CH_2)_{11}-COOH$

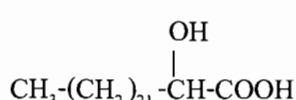
กรดอีลีโอสเตเดียริก (eleostearic acid ; 9,11,13-octadecatrienoic acid) พぶในน้ำมันมะเยา

สูตรโครงสร้าง $CH_3-(CH_2)_3CH=CHCH=CHCH=CH(CH_2)_7-COOH$

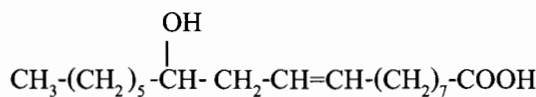
2.6.3 กรดไฮดรอกซี (hydroxy fatty acids)

เป็นกรดไขมันชนิดอิ่มตัวที่มีหมู่ไฮดรอกซีเกาะอยู่ที่สายอัลกิล (alkyl chain) เป็นส่วนประกอบที่พบอยู่ในประสาทส่วนกลาง ตัวอย่าง เช่น กรดเซรีโบรนิก (cerebronic acid) และมีกรดไขมันชนิดไม่อิ่มตัวที่มีหมู่ไฮดรอกซี ได้แก่ กรดไรซิโนเลอิก (ricinoleic acid) ซึ่งเป็นกรดไขมันที่พบมากในน้ำมันละหุ่ง (castor oil) ตัวอย่างกรดไขมันไฮดรอกซี ได้แก่

กรดเซเรโบรนิก (cerebronic acid) มีสูตรโครงสร้างดังนี้



กรดไรซิโนเลอิก (ricinoleic acid) มีสูตรโครงสร้างดังนี้



2.6.4 ไขมันแอลกอฮอล์ (fatty alcohols)

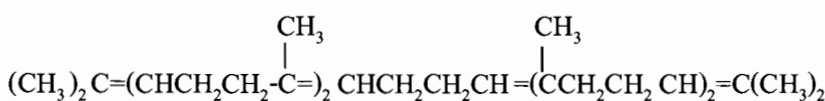
แอลกอฮอล์ที่พบเป็นส่วนประกอบในโมเลกุลของลิปิดมีหลายชนิด ได้แก่ กดีเซอรอล คลอรีสเตอรอล และแอลกอฮอล์ที่มีน้ำหนักสูง เช่น เชติลแอลกอฮอล์ (cetyl alcohol ; $\text{C}_{16}\text{H}_{33}\text{OH}$) และไมริซิล-แอลกอฮอล์ (myricyl alcohol ; $\text{C}_{30}\text{H}_{61}\text{OH}$) ซึ่งเป็นส่วนประกอบโมเลกุลของแวกซ์

ไขมันแอลกอฮอล์ที่เกิดในธรรมชาติทั้งในรูปอิสระ และรูปไข่ (เอกสารของกรดไขมัน) จะมีอยู่เป็นปริมาณมากในน้ำมันจากสัตว์ทะเลเท่านั้น ในไขมันจากพืชและสัตว์บกจะมีอยู่น้อย

แอลกอฮอล์ชนิดมีพันธะคู่ที่เป็นส่วนประกอบในโมเลกุลของลิปิดพบเป็นส่วนประกอบในโมเลกุลของรงควัตถุ (pigment) เช่น ไฟติลแอลกอฮอล์ (phytyl alcohol) ของคลอโรฟิลล์ และไลโคฟิลล์ ($\text{C}_{40}\text{H}_{56}\text{O}_2$) เป็นต้น

2.6.5 ไฮdrocarbon (hydrocarbon)

ในไขมันและน้ำมันจะมีไฮdrocarbon ต่างๆ ทั้งชนิดอิ่มตัวและไม่อิ่มตัวปานอยู่ประมาณ 0.1-1.0 เปอร์เซ็นต์ ซึ่งจะรวมอยู่กับสเตอรอลในส่วนที่ไม่ทำปฏิกิริยากับด่าง (ununsaponifiable matter) ไฮdrocarbon ที่มีปริมาณมากที่สุด คือสควอเลน (squalene; $\text{C}_{30}\text{H}_{30}$) พบรังสรรคในน้ำมันตับปลา ฉลาม จัดเป็นสารไม่มีสีและเป็นไฮdrocarbonชนิดไม่อิ่มตัวมีพันธะคู่ในโมเลกุล 6 พันธะ มีสูตรโครงสร้างดังนี้



สควอเลนพบในน้ำมันตับปลา น้ำมันรำข้าว น้ำมันมะกอก และน้ำมันถั่วเหลือง นอกจากสควอเลนยังมีไฮdrocarbonชนิดอื่นๆ อีก [26] ได้แก่

- น้ำมันมะกอกมีไฮdrocarbonที่มีจำนวนการ์บอน 13-36 อะตอม เป็นไฮdrocarbonทั้งชนิดอิ่มตัวและไม่อิ่มตัวรวมอยู่ด้วยกัน

- น้ำมันถั่วถิลงมีไฮdrocarbonที่มีจำนวนการ์บอน 15 และ 16 อะตอม เป็นไฮdrocarbonชนิดไม่อิ่มตัว

- น้ำมันตับปลาคอก น้ำมันข้าวเจ้า และน้ำมันถั่วเหลือง พบริสเทน (pristene ; $\text{C}_{18}\text{H}_{28}$) เช่นมีน (gadusene ; $\text{C}_{18}\text{H}_{32}$)

- น้ำมันปลา และน้ำมันตับปลา พบริสเทน (pristene ; $\text{C}_{18}\text{H}_{28}$) เช่นมีน (zamene ; $\text{C}_{19}\text{H}_{38}$) และ เชโตไนนีน (cetorinene)

2.7 งานวิจัยที่เกี่ยวข้อง

2.7.1 การใช้คอลัมน์ซึ่งมีวัลภาคนิ่งที่มีความเป็นข้าว (polarity) ในแก๊สโครมาโทกราฟ แบบแก๊ส-ของเหลว

ในการแยกสารประกอบต่างๆ กัน โดยวิธีแก๊สโครมาโทกราฟแบบแก๊ส-ของเหลว สามารถเลือกใช้คอลัมน์ซึ่งมีวัลภาคนิ่งที่ไม่มีข้าว (non polarity) หรือคอลัมน์ซึ่งมีวัลภาคนิ่งที่มีความเป็นข้าว (polarity) ซึ่งจะขึ้นอยู่กับชนิด และคุณสมบัติของสารประกอบที่ต้องการแยกว่าเหมาะสมสมกับคอลัมน์ชนิดใด ในปี ค.ศ.1983 Richter และคณะ [27] ได้ทำการดัดแปลงสารไฮยาโนโพรพิว โพลิไซโลคเซน (Cyanopropyl Polysiloxane) ที่ใช้เป็นวัลภาคนิ่งในแคเพลลารีคอลัมน์ให้สามารถใช้งานในสภาวะที่มีอุณหภูมิสูงได้มากขึ้น โดยพยายามทำให้โพลิเมอร์ของไฮยาโนโพรพิวโพลิไซโลคเซน เกิดกรอสลิงค์กันขึ้นระหว่างสายโพลิเมอร์ ด้วยการเติมสารหมู่ *p*-tolyl หรือ 4-vinylphenyl ผลที่ได้คือกรอสลิงค์ของโพลิเมอร์ไฮยาโนโพรพิวโพลิไซโลคเซนที่ถูกใช้เป็นวัลภาคนิ่งสามารถใช้งานได้ที่อุณหภูมิสูงถึง 280 องศาเซลเซียส และเมื่อเปรียบเทียบกับการใช้วัลภาคนิ่ง ที่เกิดกรอสลิงค์โพลิเมอร์ไฮยาโนโพรพิวโพลิไซโลคเซนด้วยสารอื่นเช่น เอทีบี (ATB; Azo-*t*-butane) พบร่วมกับความสามารถในการแยกสารและช่วงการใช้งานที่อุณหภูมิสูงของกรอสลิงค์ที่เกิดจากหมู่ *p*-tolyl หรือ 4-vinylphenyl นั้นมีประสิทธิภาพที่ดีกว่า Dorbon และคณะ [28] ศึกษาการจำลองการกลั่นสารอะโรเมติก (aromatic compounds) จากผลิตภัณฑ์ปิโตรเลียม (petroleum products) ซึ่งมีจุดเดือดสูงถึง 600 องศาเซลเซียส โดยใช้คอลัมน์ 3 ชนิดคือ คอลัมน์ที่ไม่มีข้าว (DB-1) คอลัมน์ที่มีข้าวเล็กน้อย (CP-sil-8) และคอลัมน์ที่มีข้าวปานกลาง (CP-sil-19) มาเปรียบเทียบกัน พบร่วมกับคอลัมน์ CP-sil-19 มีความสามารถที่จะใช้ในการกลั่นสารอะโรเมติก เพราะสามารถแยกสารอะโรเมติก จากผลิตภัณฑ์ปิโตรเลียมได้มากกว่าคอลัมน์ DB-1 และ CP-sil-8 Batta และคณะ [29] ทำการแยกสารกลุ่ม bile alcohol ที่มีcarboxon 23, 25, 26 และ 27 อะตอม โดยใช้แคเพลลารีคอลัมน์ที่มีข้าวคือ CP-Sil-19 CB (stationary phase; 85% dimethyl, 7% cyanopropyl, 7% phenyl and 1% vinylsiloxane) และคอลัมน์ที่ไม่มีข้าวคือ CP-Sil-5 CB (stationary phase; 100% dimethylsiloxane) พบร่วมกับคอลัมน์ CP-Sil-19 CB ใช้เวลาในการแยกสารกลุ่ม bile alcohol ออกจากกันนาน แต่ประสิทธิภาพในการแยกค่อนข้างดี คือสารทุกตัวแยกออกจากกันต่างจากคอลัมน์ CP-Sil-19 CB ซึ่งใช้ระยะเวลาในการแยกสารน้อยกว่า แต่พบร่วมกับสารบางชนิดไม่สามารถแยกออกจากกันได้ Tokamolthom และคณะ [30] ได้ทำการแยก R และ S form ของ α -hydroxy fatty acids (AHFAs) โดยใช้ไครลคอลัมน์ (chiral column) คือ CYDEX-B อะไครลคอลัมน์ (achiral column) คือ BP-1 (ไม่มีข้าว) และ RTX-2330 (มีข้าว) และใช้สมการทำนายจำนวนคราร์บอนสมมูลในการพิสูจน์เอกลักษณ์สาร พร้อมทั้งคำนวณการจัดเรียงตัวของ AHFAs ในไขมันแกะ โดยไม่ใช้สารอ้างอิง

2.7.2 ทฤษฎีทางอุณหพลศาสตร์ (Thermodynamic) ในแก๊สโครโนโตรกราฟี

ได้มีการนำทฤษฎีทางอุณหพลศาสตร์ (Thermodynamic) มาอธิบายกลไกการแยกสารที่เกิดภายในเครื่องแก๊สโครโนโตรกราฟโดย Melander และคณะ [31] ทำการศึกษาใน Reverse-Phase Chromatography (RPC) โดยใช้คอลัมน์ Octadecylsilica (ODS) พบว่าความสัมพันธ์ระหว่างค่าลอการิทึมของ capacity ratio ($\log k'$) กับค่าเออนทัลปี ΔH^0 เป็นกราฟเส้นตรงที่ส่วนwise ลดลง โดยค่าเออนทัลปี (ΔH^0) และค่าเออนโทรปี (ΔS^0) สามารถหาได้จากความสัมพันธ์ของสมการ Van't Hoff ซึ่งค่า ΔH^0 จะมีค่าเป็นลบ และยังพบว่ากลไกการเกิดปฏิกิริยาระหว่างสารตัวอย่างกับพันธะของวัฏภาพนั่นเป็นไปในทิศทางเดียวกัน แม้จะเปลี่ยนชนิด หรือความเข้มข้นของตัวทำละลายอินทรีย์ในน้ำที่เป็นวัฏภาพเคลื่อนที่ ในปีต่อมา Melander และคณะ [32] พบว่าอุณหภูมิของคอลัมน์และสัดส่วนของตัวชีวะ หรือองค์ประกอบของวัฏภาพเคลื่อนที่ มีผลต่อค่าเวลาคงค้าง ค่าเออนทัลปี (ΔH^0) ค่าเออนโทรปี (ΔS^0) และค่าพลังงานกิบส์อิสระ (ΔG^0) Yonker และ Smith [33] ทำการศึกษากลไกการจะของของไอลในสภาพวิกฤตยิ่งขึ้น ให้สภาวะอุณหภูมิคงที่ พบว่าความหนาแน่นของสารละลาย มีผลต่อค่า ΔH^0 และค่า ΔS^0 ของการถ่ายเทสารอัลเคนและอัลกานอล ระหว่าง 2 วัฏภาพ โดยมีการรับอนิโอดอกไซด์ (CO_2) เป็นวัฏภาพเคลื่อนที่ คอลัมน์ที่ใช้คือ SE-54 และ OV-17 และพบว่าค่า ΔH^0 จะลดลงเมื่อความหนาแน่นของเหลวเพิ่มขึ้น อัญชานารถ [34] พบว่าค่า ΔH^0 เป็นค่าคงที่เฉพาะสาร และค่า ΔH^0 ของสารในอนุกรมเดียวกัน มีความสัมพันธ์เชิงเส้น กับจำนวนการรับอนในโมเลกุลของสารตัวอย่าง Tu และ Liu [35] ได้ศึกษาค่าเออนทัลปีของการถ่ายเป็นไอของสารประกอบอินทรีย์ เพื่อนำมาใช้ออกแบบระบบที่เกี่ยวกับการระเหย และใช้คำนวณหาค่าการละลาย (Solubility) ซึ่งค่าเออนทัลปีของการถ่ายเป็นไอนี้สามารถหาได้โดยวิธี Calorimetry หรือได้จากการคำนวณของตัวแปรระหว่างอุณหภูมิกับความดัน อนรรฆมอร และคณะ [36] ทำการศึกษาความสัมพันธ์ระหว่างความดันไอ เออนทัลปีของการถ่ายเป็นไอ และเออนทัลปีของการเปลี่ยนสภาพจากสารละลายเป็นแก๊ส พบร่วมกับค่าเออนทัลปีของการถ่ายเป็นไอ และเมื่อขยายให้อยู่ในเทอมของ ΔH^0 และ ΔS^0 สามารถนำสมการที่เขียนไว้มาใช้ในการคำนวณหาความดันไอของสารในอนุกรมเดียวกันที่อุณหภูมิต่างๆ และยังพบความสัมพันธ์เชิงเส้นระหว่าง เออนทัลปีของการถ่ายเป็นไอ กับเออนทัลปีของการเปลี่ยนสถานะจากสารละลายเป็นแก๊ส ซึ่งสามารถนำมาอธิบายถึงอันตรกิริยาระหว่างสารกับวัฏภาพนั่นได้

2.7.3 การทำนายค่าเวลาคงค้างของสารในแก๊สโครโนโตรافي

Krisnangkura และคณะ [3] ได้ทำการศึกษาคุณสมบัติอุณหพลศาสตร์และพบว่าค่าเออนทัลปีของการละลาย (ΔH_0) เป็นค่าคงที่ ซึ่ง ΔH_0 ของสารในอนุกรมเดียวกันมีความสัมพันธ์เชิงเส้นกับจำนวนการรับอนอะตอนในโมเลกุลของสารตัวอย่าง แต่การนำค่า ΔH_0 มาใช้ในการวิเคราะห์โดยตรงจะค่อนข้างยุ่งยากจึงได้โยงความสัมพันธ์ระหว่างค่าเวลาคงค้างจำนวนการรับอน ค่า ΔH_0 และอุณหภูมิของคอลัมน์เข้าเป็นสมการที่ใช้ในการทำนายค่าเวลาคงค้างของสาร หรือจำนวนการรับอนของสารที่จะออกจากคอลัมน์แก๊สโครโนโตรافيที่อุณหภูมิต่างๆได้อย่างแม่นยำ โดย Krisnangkura และคณะ [3] ได้ทำการศึกษา และทำนายเวลาคงค้างของกรดไบมันอิมตัวในคอลัมน์แก๊สโครโนโตรافيที่อุณหภูมิคงที่ต่างๆ โดยใช้คอลัมน์แบบแคพิลารีเคลื่อนคัววิโอมากาแวงซ์ ซึ่งต่อมาได้มีการนำสมการที่ใช้ในการทำนายค่าเวลาคงค้างของสาร หรือจำนวนการรับอนของสารที่จะออกจากคอลัมน์แก๊สโครโนโตรافيที่อุณหภูมิต่างๆ ซึ่งเสนอโดย Krisnangkura และคณะ [3] มาศึกษาในงานวิจัยต่างๆ เช่น สุวิมล [37] ได้ศึกษาถึงผลผลกระทบของความยาวคอลัมน์ต่อสมการการวิเคราะห์เอกลักษณ์สาร โดยใช้กรดไบมันเมทิลเอสเทอร์เยกบันคอลัมน์ OMEGAWAX ที่สภาวะอุณหภูมิคงที่ และโปรแกรมอุณหภูมิพนวจความยาวของคอลัมน์ไม่มีผลต่อค่าคงที่ของสมการ Kittiratanapiboon และคณะ [38] นำสมการมาใช้ศึกษาการทำนายเวลาคงค้างของกรดไบมันอิมในสภาวะโปรแกรมอุณหภูมิ ศิริศักดิ์ [39] และ Aryusuk และคณะ [40] ได้นำสมการมาใช้ในการศึกษาผลกระทบของแก๊สตัวพาต่อการวิเคราะห์เอกลักษณ์ของสารในแก๊สโครโนโตรافيโดยไม่ใช้สารอ้างอิง และ วสุพร [16] นำสมการมาใช้ศึกษาค่าคงที่ของเอกกอ肖ล์บันคอลัมน์คาร์บิโวแวงซ์ 35000 เป็นต้น

บทที่ 3 อุปกรณ์และวิธีการดำเนินการวิจัย

3.1 สารเคมี

3.1.1 สารมาตรฐาน

3.1.1.1 สารกลุ่มไขมันแอลกอฮอล์ (fatty alcohols) ได้แก่

- เตตระเดคานอล (Tetradecanol; C₁₄H₃₀O)
- เชกซะเดคานอล (Hexadecanol; C₁₆H₃₂O)
- ออكتะเดคานอล (Octadecanol; C₁₈H₃₈O)
- ไอโคไซดานอล (Eicosanol; C₂₀H₄₂O)
- డोโคไซดานอล (Docosanol; C₂₂H₄₆O)

จากบริษัท Sigma-Aldrich ประเทศสหรัฐอเมริกา

3.1.1.2 สารกลุ่มไฮโดรคาร์บอน (n-alkanes) ได้แก่

- เชกซะเดกาน (Hexadecane; C₁₆H₃₄)
- เอพตะเดกาน (Heptadecane; C₁₇H₃₆)
- ออكتะเดกาน (Octadecane; C₁₈H₃₈)
- โนนະเดกาน (Nonadecane; C₁₉H₄₀)
- ไอโคเซน (Eicosane; C₂₀H₄₂)
- เยน ไอโคเซน (Heneicosane; C₂₁H₄₄)
- డोโคเซน (Docosane; C₂₂H₄₆)

จากบริษัท Sigma-Aldrich ประเทศสหรัฐอเมริกา

3.1.1.3 สารกลุ่มกรดไขมันเมทิลเอสเทอร์ (FAMEs) ได้แก่

- เชกซะเดคานอิก แอซิด เมทิล เอสเทอร์ (Hexadecanoic acid methyl ester; C₁₇H₃₄O₂)
- เอพตะเดคานอิก แอซิด เมทิล เอสเทอร์ (Heptadecanoic acid methyl ester; C₁₈H₃₆O₂)
- ออكتะเดคานอิก แอซิด เมทิล เอสเทอร์ (Octadecanoic acid methyl ester; C₁₉H₃₈O₂)
- ไอโคไซดานอิก แอซิด เมทิล เอสเทอร์ (Eicosanoic acid methyl ester; C₂₁H₄₂O₂)
- డोโคไซดานอิก แอซิด เมทิล เอสเทอร์ (Docosanoic acid methyl ester; C₂₃H₄₆O₂)

จากบริษัท Sigma-Aldrich ประเทศสหรัฐอเมริกา

3.1.2 สารเคมีที่ใช้ในการเตรียมตัวอย่าง

헥แซน (Hexane; C₆H₁₄) analytical grade จากบริษัท Labscan Asia จำกัด ประเทศไทย

3.1.3 แก๊ส

- บริษัท Praxair (Thailand) จำกัด
 - ไนโตรเจน (N₂ 99.99%)
 - ไฮโดรเจน (H₂ 99.99%)
 - ไนโตรเจน (commercial grade)
 - ออกซิเจน (commercial grade)

3.2 วัสดุอุปกรณ์

3.2.1 เครื่องแก๊สโคมาราโตกราฟ (Gas Chromatograph)

เครื่องแก๊สโคมาราโตกราฟ Shimadzu รุ่น GC-14A มีตัวตรวจวัดแบบไฟฟ้าในเชื้อเพลิง (Flame Ionization Detector; FID) ต่อพ่วงกับเครื่องประมวลผล CBM-102 จากบริษัท Shimadzu ประเทศไทย

ผู้ปูน

สภาวะที่ใช้ในการทดลอง

แก๊สตัวพา (Carrier gas) : แก๊สไนโตรเจน

- ความดัน气压 - แก๊สไนโตรเจน 1.25 กิโลกรัมต่อตารางเซนติเมตร
- แก๊สไฮโดรเจน 0.75 กิโลกรัมต่อตารางเซนติเมตร
- อากาศ 0.3 กิโลกรัมต่อตารางเซนติเมตร

อุณหภูมิที่ใช้ในการวิเคราะห์ด้วยเครื่องแก๊สโคมาราโตกราฟ

- อินเจกเตอร์ (Injector port) 230 องศาเซลเซียส
- เครื่องตรวจวัด (Detector) 230 องศาเซลเซียส
- ตู้ควบคุมอุณหภูมิ (Oven) ใช้แบบอุณหภูมิกคงที่ (Isothermal) โดยทดลองที่อุณหภูมิ
เหมาะสมสำหรับสารมาตรฐานแต่ละชนิด

3.2.2 คอลัมน์

ใช้คอลัมน์แบบแคปิลารี (Capillary column) ได้แก่

3.2.2.1 คอลัมน์ SP-2340 (100 % poly [bis-cyanopropyl] siloxane)

- ขนาดเส้นผ่านศูนย์กลาง 0.25 มิลลิเมตร ความยาว 30 เมตร และความหนาของวัสดุภาชนะ 0.20
ไมโครเมตร จากบริษัท Supelco ประเทศสหรัฐอเมริกา

3.2.2.2 คอลัมน์ RTX-2330 (poly [90% bis-cyanopropyl, 10% cyanopropyl phenyl] siloxane)

- ขนาดเส้นผ่านศูนย์กลาง 0.25 มิลลิเมตร ความยาว 30 เมตร และความหนาของวัสดุภาชนะ 0.20 ไมโครเมตร จากบริษัท Restek ประเทศสหรัฐอเมริกา

3.2.2.3 คอลัมน์ DB-225 (50% cyanopropylphenyl, 50% methyl siloxane)

- ขนาดเส้นผ่านศูนย์กลาง 0.25 มิลลิเมตร ความยาว 30 เมตร และความหนาของวัสดุภาชนะ 0.25 ไมโครเมตร จากบริษัท Agilent / J&W ประเทศสหรัฐอเมริกา

3.2.2.4 คอลัมน์ BP-10 (poly [14% cyanopropylphenyl, 86% dimethyl] siloxane)

- ขนาดเส้นผ่านศูนย์กลาง 0.25 มิลลิเมตร ความยาว 30 เมตร และความหนาของวัสดุภาชนะ 0.25 ไมโครเมตร จากบริษัท SGE ประเทศออสเตรเลีย

3.2.2.5 คอลัมน์ ZB-1 (100% dimethyl polysiloxane)

- ขนาดเส้นผ่านศูนย์กลาง 0.25 มิลลิเมตร ความยาว 30 เมตร และความหนาของวัสดุภาชนะ 0.10 ไมโครเมตร จากบริษัท Agilent / J&W ประเทศสหรัฐอเมริกา

3.2.3 วัสดุอุปกรณ์อื่นๆ

- เครื่องซั่งละอีบด 4 ตำแหน่ง

3.3 วิธีการดำเนินการวิจัย

3.3.1 นำคอลัมน์แบบแคเพล็กต์ทั้ง 5 ชนิด (SP-2340, RTX-2330, DB-225, BP-10 และ ZB-1) มาทำการวิเคราะห์องค์ประกอบของสารตัวอย่างผสมคือ สารกลุ่มไขมันแอลกอฮอล์ (fatty alcohols) สารกลุ่มกรดไขมันเมทิลเอสเตท (FAMEs) และ สารกลุ่มไฮโดรคาร์บอน (*n*-alkanes) โดยเครื่องแก๊สโคมาก/to chromatograph Shimadzu รุ่น GC-14A มีตัวตรวจวัดแบบฟลาม์ไอออน (Flame Ionization Detector; FID) ต่อพ่วงกับเครื่องประมวลผล CBM-102 จากบริษัท Shimadzu ประเทศญี่ปุ่น

3.3.2 เก็บข้อมูลค่าเวลาคงค้าง (Retention time) ในรูปของโกรมาโตแกรมที่ได้จากเครื่องบันทึกผล

3.3.3 นำข้อมูลค่าเวลาคงค้าง (Retention time) มาสร้างสมการทำนายการเคลื่อนที่ของสารเพื่อหาค่าคงตัว a, b, c และ d โดยอาศัยสมการการเคลื่อนที่สารใน GLC ซึ่งเสนอโดย Krisnangkura และคณะ [3] ซึ่งได้จากการสัมพันธ์ระหว่างค่า $\ln k$ อุณหภูมิ และจำนวนการรับอนของสารอินทรีย์ชนิดต่างๆ ในระบบแก๊สโคมาก/to chromatograph

3.3.4 วิเคราะห์ค่าพลังงานอิสระตามทฤษฎีอุณหพลศาสตร์เพื่อนำมาใช้ในการอธิบายความสัมพันธ์ระหว่างค่าทางเทอร์โมไดนามิกส์กับสภาพความเป็นข้อของคอลัมน์ที่มีเปลอร์เซ็นต์ไซยาโนโพรพิวต่างกัน

บทที่ 4 ผลการทดลองและวิจารณ์ผล

4.1 ค่าคงตัวทั้ง 4 (a, b, c และ d) ของคอลัมน์ GLC ที่เปอร์เซ็นต์ไซยาโนโพรพิวต่างๆ

4.1.1 ค่าคงตัว a, b, c และ d ของคอลัมน์ SP-2340

ค่าคงตัว a, b, c และ d ของคอลัมน์ SP-2340 (100% poly[bis-cyanopropyl]siloxane)

แสดงดังตารางที่ 4.1, 4.2 และ 4.3

ตารางที่ 4.1 ค่าลอการิทึมธรรมชาติของตัวประกอบคงค้าง ($\ln k$) ของสารกลุ่มไไฮโดรคาร์บอน (*n*-alkanes) ที่แยกบนคอลัมน์ SP-2340 ที่อุณหภูมิ 130-150 องศาเซลเซียส

| Carbon number | Natural logarithm of retention factor ($\ln k$) | | | | | Intercept (a') | Slope (b') |
|--------------------|---|---------|---------|---------|---------|-------------------|----------------|
| | 130°C | 135°C | 140°C | 145°C | 150°C | | |
| | 2.480* | 2.450* | 2.420* | 2.391* | 2.363* | | |
| | 1.851** | 1.864** | 1.866** | 1.870** | 1.876** | | |
| 16 | -0.498 | -0.717 | -0.907 | -1.096 | -1.281 | -16.974 | 6639.26 |
| 17 | 0.018 | -0.210 | -0.415 | -0.615 | -0.815 | -17.531 | 7072.40 |
| 18 | 0.534 | 0.292 | 0.071 | -0.139 | -0.356 | -18.186 | 7544.70 |
| 19 | 1.046 | 0.793 | 0.558 | 0.334 | 0.102 | -18.819 | 8006.95 |
| 20 | 1.564 | 1.299 | 1.045 | 0.809 | 0.562 | -19.542 | 8507.60 |
| 21 | 2.086 | 1.803 | 1.536 | 1.286 | 1.024 | -20.279 | 9014.89 |
| 22 | 2.592 | 2.308 | 2.026 | 1.768 | 1.490 | -20.631 | 9362.62 |
| Intercept (a'') | | | | | | -6.757 | -812.42 |
| (a'') | -8.747 | -8.777 | -8.722 | -8.718 | -8.657 | (a) | (c) |
| Slope (b'') | | | | | | -0.637 | 464.93 |
| (b'') | 0.516 | 0.504 | 0.488 | 0.477 | 0.461 | (b) | (d) |

* ค่า $1/T \times 10^{-3}$ (หน่วย K⁻¹)

** ค่า t_M คำนวณโดยวิธีของ Guardino และคณะ [40]

a, b, c และ d เป็นค่าคงตัวในสมการ (2.36)

a', b' เป็นค่าจุดตัดแกน y และค่าความชัน ดังสมการ (2.40)

a'', b'' เป็นค่าจุดตัดแกน y และค่าความชัน ดังสมการ (2.37)

แทนค่า a, b, c และ d ลงในสมการที่ (2.36) ได้

$$\ln k = -6.757 - 0.637z - \frac{812.42}{T} + \frac{464.93z}{T} \quad (4.1)$$

ตารางที่ 4.2 ค่าลอการิทึมธรรมชาติของตัวประกอบคงค้าง ($\ln k$) ของสารกลุ่มกรดไขมน้ำมันพิล-esเทอร์ (FAMEs) ที่แยกบนคอลัมน์ SP-2340 ที่อุณหภูมิ 180-200 องศาเซลเซียส

| Carbon number | Natural logarithm of retention factor ($\ln k$) | | | | | Intercept (a') | Slope (b') |
|------------------|---|---------|---------|---------|---------|-------------------|---------------|
| | 180°C | 185°C | 190°C | 195°C | 200°C | | |
| | 2.207* | 2.183* | 2.159* | 2.136* | 2.113* | | |
| | 2.138** | 2.120** | 2.103** | 2.093** | 2.088** | | |
| 16 | -0.185 | -0.356 | -0.519 | -0.677 | -0.835 | -15.523 | 6949.79 |
| 18 | 0.485 | 0.297 | 0.115 | -0.060 | -0.234 | -16.503 | 7697.64 |
| 19 | 0.817 | 0.619 | 0.428 | 0.245 | 0.063 | -16.985 | 8065.81 |
| 20 | 1.149 | 0.943 | 0.743 | 0.550 | 0.361 | -17.492 | 8446.44 |
| 22 | 1.820 | 1.596 | 1.377 | 1.168 | 0.962 | -18.459 | 9188.36 |
| Intercept | | | | | | -7.687 | 978.33 |
| (a'') | -5.527 | -5.557 | -5.570 | -5.591 | -5.624 | (a) | (c) |
| Slope | | | | | | -0.490 | 373.23 |
| (b'') | 0.334 | 0.325 | 0.316 | 0.307 | 0.299 | (b) | (d) |

* ค่า $1/T \times 10^{-3}$ (หน่วย K^{-1})

** ค่า t_M คำนวณโดยวิธีของ Guardino และคณะ [40]

a, b, c และ d เป็นค่าคงตัวในสมการ (2.36)

a', b' เป็นค่าจุดตัดแกน y และค่าความชัน ดังสมการ (2.40)

a'', b'' เป็นค่าจุดตัดแกน y และค่าความชัน ดังสมการ (2.37)

แทนค่า a, b, c และ d ลงในสมการที่ (2.36) ได้

$$\ln k = -7.687 - 0.490z + \frac{978.33}{T} + \frac{373.23z}{T} \quad (4.2)$$

ตารางที่ 4.3 ค่าผลการพิมพ์ธรรมชาติของตัวประกอบคงค้าง ($\ln k$) ของสารกลุ่มไขมันและกอฮอล์ (fatty alcohols) ที่แยกบนคอลัมน์ SP-2340 ที่อุณหภูมิ 180-200 องศาเซลเซียส

| Natural logarithm of retention factor ($\ln k$) | | | | | | Intercept | Slope |
|---|---------|---------|---------|---------|---------|---------------|----------------|
| Carbon number | 180°C | 185°C | 190°C | 195°C | 200°C | (a') | (b') |
| | 2.207* | 2.183* | 2.159* | 2.136* | 2.113* | | |
| | 2.041** | 2.035** | 2.035** | 2.038** | 2.036** | | |
| 12 | -0.833 | -0.981 | -1.129 | -1.272 | -1.406 | -14.433 | 6162.64 |
| 14 | -0.196 | -0.362 | -0.527 | -0.688 | -0.839 | -15.444 | 6909.48 |
| 16 | 0.418 | 0.234 | 0.053 | -0.124 | -0.290 | -16.367 | 7605.36 |
| 18 | 1.027 | 0.825 | 0.628 | 0.436 | 0.254 | -17.287 | 8298.18 |
| 20 | 1.646 | 1.425 | 1.211 | 1.002 | 0.807 | -18.253 | 9016.06 |
| 22 | 2.289 | 2.051 | 1.820 | 1.594 | 1.379 | -19.265 | 9766.28 |
| Intercept | | | | | | -8.705 | 1880.76 |
| (a'') | -4.557 | -4.595 | -4.645 | -4.689 | -4.729 | (a) | (c) |
| Slope | | | | | | -0.479 | 357.58 |
| (b'') | 0.311 | 0.302 | 0.293 | 0.285 | 0.277 | (b) | (d) |

* ค่า $1/T \times 10^3$ (หน่วย K^{-1})

** ค่า t_M คำนวณโดยวิธีของ Guardino และคณะ [40]

a, b, c และ d เป็นค่าคงตัวในสมการ (2.36)

a', b' เป็นค่าจุดตัดแกน y และค่าความชัน ดังสมการ (2.40)

a'', b'' เป็นค่าจุดตัดแกน y และค่าความชัน ดังสมการ (2.37)

แทนค่า a, b, c และ d ลงในสมการที่ (2.36) ได้

$$\ln k = -8.705 - 0.479z + \frac{1880.76}{T} + \frac{357.58z}{T} \quad (4.3)$$

4.1.2 ค่าคงตัว a, b, c และ d ของคอลัมน์ RTX-2330

ค่าคงตัว a, b, c และ d ของคอลัมน์ RTX-2330 (poly [90%bis-cyanopropyl,10%cyanopropyl phenyl] siloxane) แสดงดังตารางที่ 4.4, 4.5 และ 4.6

ตารางที่ 4.4 ค่าลอการิทึมธรรมชาติของตัวประกอบคงค้าง ($\ln k$) ของสารกลุ่มไฮโดรคาร์บอน (*n*-alkanes) ที่แยกบนคอลัมน์ RTX-2330 ที่อุณหภูมิ 130-150 องศาเซลเซียส

| Carbon number | Natural logarithm of retention factor ($\ln k$) | | | | | Intercept (a') | Slope (b') |
|---------------|---|---------|---------|---------|---------|-------------------|-----------------|
| | 130°C | 135°C | 140°C | 145°C | 150°C | | |
| | 2.480* | 2.450* | 2.420* | 2.391* | 2.363* | | |
| | 1.713** | 1.723** | 1.724** | 1.734** | 1.741** | | |
| 16 | -0.997 | -1.196 | -1.384 | -1.564 | -1.742 | -6.722 | 6338.14 |
| 17 | -0.549 | -0.763 | -0.966 | -1.159 | -1.351 | -17.471 | 6820.59 |
| 18 | -0.103 | -0.332 | -0.551 | -0.759 | -0.962 | -18.274 | 7324.26 |
| 19 | 0.336 | 0.093 | -0.141 | -0.363 | -0.581 | -19.039 | 7809.19 |
| 20 | 0.783 | 0.525 | 0.275 | 0.038 | -0.192 | -19.847 | 8315.32 |
| 21 | 1.224 | 0.951 | 0.687 | 0.436 | 0.193 | -20.607 | 8799.68 |
| 22 | 1.676 | 1.388 | 1.109 | 0.844 | 0.588 | -21.356 | 9283.66 |
| Intercept | | | | | | -4.290 | -1541.67 |
| (a'') | -8.112 | -8.074 | -8.018 | -7.968 | -7.939 | (a) | (c) |
| Slope | | | | | | -0.777 | 492.35 |
| (b'') | 0.445 | 0.430 | 0.415 | 0.400 | 0.387 | (b) | (d) |

* ค่า $1/T \times 10^3$ (หน่วย K^{-1})

** ค่า t_M คำนวณโดยใช้ข้อมูลของ Guardino และคณะ [40]

a, b, c และ d เป็นค่าคงตัวในสมการ (2.36)

a', b' เป็นค่าจุดตัดแกน y และค่าความชัน ดังสมการ (2.40)

a'', b'' เป็นค่าจุดตัดแกน y และค่าความชัน ดังสมการ (2.37)

แทนค่า a, b, c และ d ลงในสมการที่ (2.36) ได้

$$\ln k = -4.290 - 0.777z - \frac{1541.67}{T} + \frac{492.35z}{T} \quad (4.4)$$

ตารางที่ 4.5 ค่าลอการิทึมธรรมชาติของตัวประกอนคงที่ (ln k) ของสารกลุ่มกรดไขมันเมทิลเอสเทอร์ (FAMEs) ที่แยกบนคอลัมน์ RTX-2330 ที่อุณหภูมิ 180-200 องศาเซลเซียส

| Carbon number | Natural logarithm of retention factor (ln k) | | | | | Intercept (a') | Slope (b') |
|------------------|--|---------|---------|---------|---------|-------------------|---------------|
| | 180°C | 185°C | 190°C | 195°C | 200°C | | |
| | 2.207* | 2.183* | 2.159* | 2.136* | 2.113* | | |
| | 1.862** | 1.868** | 1.874** | 1.877** | 1.881** | | |
| 16 | -0.260 | -0.443 | -0.620 | -0.783 | -0.945 | -16.439 | 7329.32 |
| 18 | 0.314 | 0.112 | -0.082 | -0.265 | -0.446 | -17.659 | 8142.89 |
| 19 | 0.600 | 0.389 | 0.185 | -0.007 | -0.197 | -18.252 | 8541.04 |
| 20 | 0.886 | 0.667 | 0.453 | 0.251 | 0.051 | -18.851 | 8942.35 |
| 22 | 1.461 | 1.222 | 0.991 | 0.769 | 0.551 | -20.072 | 9756.44 |
| Intercept | | | | | | -6.770 | 865.54 |
| (a'') | -4.850 | -4.884 | -4.915 | -4.920 | -4.933 | (a) | (c) |
| Slope | | | | | | -0.604 | 404.04 |
| (b'') | 0.287 | 0.278 | 0.268 | 0.259 | 0.249 | (b) | (d) |

* ค่า $1/T \times 10^{-3}$ (หน่วย K^{-1})

** ค่า t_M คำนวณโดยวิธีของ Guardino และคณะ [40]

a, b, c และ d เป็นค่าคงตัวในสมการ (2.36)

a', b' เป็นค่าจุดตัดแกน y และค่าความชัน ดังสมการ (2.40)

a'', b'' เป็นค่าจุดตัดแกน y และค่าความชัน ดังสมการ (2.37)

แทนค่า a, b, c และ d ลงในสมการที่ (2.36) ได้

$$\ln k = -6.770 - 0.604z + \frac{865.54}{T} + \frac{404.04z}{T} \quad (4.5)$$

ตารางที่ 4.6 ค่าลอการิทึมธรรมชาติของตัวประกอบคงค้าง ($\ln k$) ของสารกลุ่มไขมันแอลกอฮอล์ (fatty alcohols) ที่แยกบนคอลัมน์ RTX-2330 ที่อุณหภูมิ 180-200 องศาเซลเซียส

| Carbon number | Natural logarithm of retention factor ($\ln k$) | | | | | Intercept (a') | Slope (b') |
|------------------|---|---------|---------|---------|---------|-------------------|---------------|
| | 180°C | 185°C | 190°C | 195°C | 200°C | | |
| | 2.207* | 2.183* | 2.159* | 2.136* | 2.113* | | |
| | 1.825** | 1.836** | 1.848** | 1.858** | 1.872** | | |
| 12 | -0.794 | -0.950 | -1.103 | -1.247 | -1.391 | -14.898 | 6390.51 |
| 14 | -0.233 | -0.408 | -0.581 | -0.741 | -0.901 | -16.028 | 7156.26 |
| 16 | 0.324 | 0.131 | -0.059 | -0.238 | -0.416 | -17.177 | 7929.75 |
| 18 | 0.877 | 0.666 | 0.458 | 0.261 | 0.066 | -18.303 | 8690.72 |
| 20 | 1.429 | 1.201 | 0.974 | 0.760 | 0.549 | -19.417 | 9445.75 |
| 22 | 1.997 | 1.749 | 1.504 | 1.272 | 1.043 | -20.589 | 10234.19 |
| Intercept | | | | | | -8.082 | 1787.68 |
| (a'') | -4.135 | -4.182 | -4.226 | -4.262 | -4.303 | (a) | (c) |
| Slope | | | | | | -0.568 | 383.54 |
| (b'') | 0.279 | 0.269 | 0.260 | 0.251 | 0.243 | (b) | (d) |

* ค่า $1/T \times 10^3$ (หน่วย K^{-1})

** ค่า t_M คำนวณโดยวิธีของ Guardino และคณะ [40]

a, b, c และ d เป็นค่าคงตัวในสมการ (2.36)

a', b' เป็นค่าจุดตัดแกน y และค่าความชัน ดังสมการ (2.40)

a'', b'' เป็นค่าจุดตัดแกน y และค่าความชัน ดังสมการ (2.37)

แทนค่า a, b, c และ d ลงในสมการที่ (2.36) ได้

$$\ln k = -8.082 - 0.568z + \frac{1787.68}{T} + \frac{383.54z}{T} \quad (4.6)$$

4.1.3 ค่าคงตัว a, b, c และ d ของคอลัมน์ DB-225

ค่าคงตัว a, b, c และ d ของคอลัมน์ DB-225 (50% cyanopropyl phenyl ,50% methyl siloxane) แสดงดังตารางที่ 4.7, 4.8 และ 4.9

ตารางที่ 4.7 ค่าลอการิทึมธรรมชาติของค่าวั่นเวลา (ln k) ของสารกลุ่มไฮโดรคาร์บอน (*n*-alkanes) ที่แยกบนคอลัมน์ DB-225 ที่อุณหภูมิ 130-150 องศาเซลเซียส

| Carbon number | Natural logarithm of retention factor (ln k) | | | | | Intercept (a') | Slope (b') |
|---------------|--|---------|---------|---------|---------|-------------------|----------------|
| | 130°C | 135°C | 140°C | 145°C | 150°C | | |
| | 2.480* | 2.450* | 2.420* | 2.391* | 2.363* | | |
| | 1.472** | 1.538** | 1.598** | 1.630** | 1.650** | | |
| 16 | 1.328 | 1.084 | 0.853 | 0.650 | 0.460 | -17.063 | 7408.82 |
| 17 | 1.786 | 1.531 | 1.288 | 1.073 | 0.872 | -17.588 | 7805.46 |
| 18 | 2.249 | 1.981 | 1.727 | 1.499 | 1.286 | -18.152 | 8219.46 |
| 19 | 2.712 | 2.433 | 2.166 | 1.926 | 1.701 | -18.712 | 8632.27 |
| 20 | 3.175 | 2.882 | 2.605 | 2.353 | 2.115 | -19.261 | 9040.12 |
| 21 | 3.636 | 3.331 | 3.042 | 2.778 | 2.528 | -19.815 | 9449.00 |
| 22 | 4.094 | 3.779 | 3.477 | 3.201 | 2.941 | -20.344 | 9847.40 |
| Intercept | | | | | | -8.251 | 877.290 |
| (a'') | -6.059 | -6.106 | -6.152 | -6.160 | -6.160 | (a) | (c) |
| Slope | | | | | | -0.550 | 407.98 |
| (b'') | 0.462 | 0.449 | 0.438 | 0.426 | 0.414 | (b) | (d) |

* ค่า $1/T \times 10^3$ (หน่วย K^{-1})

** ค่า t_M คำนวณโดยวิธีของ Guardino และคณะ [40]

a, b, c และ d เป็นค่าคงตัวในสมการ (2.36)

a' , b' เป็นค่าจุดตัดแกน y และค่าความชัน ดังสมการ (2.40)

a'' , b'' เป็นค่าจุดตัดแกน y และค่าความชัน ดังสมการ (2.37)

แทนค่า a, b, c และ d ลงในสมการที่ (2.36) ได้

$$\ln k = -8.251 - 0.550z + \frac{877.290}{T} + \frac{407.98z}{T} \quad (4.7)$$

ตารางที่ 4.8 ค่าลอการิทึมธรรมชาติของตัวประกอบคงค้าง ($\ln k$) ของสารกลุ่มกรดไขมันเมทิล-เอสเทอร์ (FAMEs) ที่แยกบนคอลัมน์ DB-225 ที่อุณหภูมิ 180-200 องศาเซลเซียส

| Carbon number | Natural logarithm of retention factor ($\ln k$) | | | | | Intercept (a') | Slope (b') |
|------------------|---|---------|---------|---------|---------|-------------------|----------------|
| | 180°C | 185°C | 190°C | 195°C | 200°C | | |
| | 2.207* | 2.183* | 2.159* | 2.136* | 2.113* | | |
| | 1.493** | 1.593** | 1.581** | 1.671** | 1.750** | | |
| 16 | 1.743 | 1.486 | 1.326 | 1.069 | 0.843 | -19.234 | 9505.23 |
| 18 | 2.432 | 2.160 | 1.976 | 1.704 | 1.461 | -20.267 | 10285.59 |
| 19 | 2.780 | 2.498 | 2.304 | 2.021 | 1.772 | -20.803 | 10686.04 |
| 20 | 3.126 | 2.836 | 2.632 | 2.340 | 2.082 | -21.311 | 11073.07 |
| 22 | 3.816 | 3.509 | 3.281 | 2.973 | 2.701 | -22.353 | 11858.02 |
| Intercept | | | | | | -10.914 | 3228.04 |
| (a'') | -3.788 | -3.909 | -3.893 | -4.007 | -4.115 | (a) | (c) |
| Slope | | | | | | -0.520 | 392.29 |
| (b'') | 0.346 | 0.337 | 0.326 | 0.317 | 0.310 | (b) | (d) |

* ค่า $1/T \times 10^3$ (หน่วย K^{-1})

** ค่า t_M คำนวณโดยวิธีของ Guardino และคณะ [40]

a, b, c และ d เป็นค่าคงตัวในสมการ (2.36)

a', b' เป็นค่าจุดตัดแกน y และค่าความชัน ดังสมการ (2.40)

a'', b'' เป็นค่าจุดตัดแกน y และค่าความชัน ดังสมการ (2.37)

แทนค่า a, b, c และ d ลงในสมการที่ (2.36) ได้

$$\ln k = -10.914 - 0.520z + \frac{3228.04}{T} + \frac{392.29z}{T} \quad (4.8)$$

ตารางที่ 4.9 ค่าลอการิทึมธรรมชาติของตัวประกอบคงค้าง ($\ln k$) ของสารกลุ่มไขมันแอลกอฮอล์ (fatty alcohols) ที่แยกบนคอลัมน์ DB-225 ที่อุณหภูมิ 180-200 องศาเซลเซียส

| Carbon number | Natural logarithm of retention factor ($\ln k$) | | | | | Intercept (a') | Slope (b') |
|------------------|---|---------|---------|---------|---------|-------------------|---------------|
| | 180°C | 185°C | 190°C | 195°C | 200°C | | |
| | 2.207* | 2.183* | 2.159* | 2.136* | 2.113* | | |
| | 1.841** | 1.786** | 1.777** | 1.764** | 1.739** | | |
| 12 | 0.336 | 0.170 | 0.016 | -0.122 | -0.316 | 14.753 | 6838.96 |
| 14 | 1.043 | 0.858 | 0.682 | 0.524 | 0.318 | -15.844 | 7653.78 |
| 16 | 1.758 | 1.553 | 1.355 | 1.179 | 0.957 | -16.936 | 8472.02 |
| 18 | 2.472 | 2.248 | 2.029 | 1.835 | 1.597 | -17.983 | 9269.64 |
| 20 | 3.182 | 2.938 | 2.699 | 2.486 | 2.232 | -19.076 | 10086.91 |
| 22 | 3.891 | 3.628 | 3.364 | 3.133 | 2.868 | -20.170 | 10903.20 |
| Intercept | | | | | | -8.273 | 1969.16 |
| (a'') | -3.935 | -3.986 | -4.008 | -4.035 | -4.141 | (a) | (c) |
| Slope | | | | | | -0.540 | 405.98 |
| (b'') | 0.356 | 0.346 | 0.335 | 0.326 | 0.319 | (b) | (d) |

* ค่า $1/T \times 10^3$ (หน่วย K^{-1})

** ค่า $\ln k_M$ คำนวณโดยวิธีของ Guardino และคณะ [40]

a, b, c และ d เป็นค่าคงตัวในสมการ (2.36)

a', b' เป็นค่าจุดตัดแกน y และค่าความชัน ดังสมการ (2.40)

a'', b'' เป็นค่าจุดตัดแกน y และค่าความชัน ดังสมการ (2.37)

แทนค่า a, b, c และ d ลงในสมการที่ (2.36) ได้

$$\ln k = -8.273 - 0.540z + \frac{1969.16}{T} + \frac{405.98z}{T} \quad (4.9)$$

4.1.4 ค่าคงตัว a, b, c และ d ของคอลัมน์ BP-10

ค่าคงตัว a, b, c และ d ของคอลัมน์ BP-10 (poly [14% cyanopropylphenyl, 86% dimethyl] siloxane) แสดงดังตารางที่ 4.10, 4.11 และ 4.12

ตารางที่ 4.10 ค่าลอการิทึมธรรมชาติของตัวประกอบคงค้าง ($\ln k$) ของสารกลุ่มไฮโดรคาร์บอน (*n*-alkanes) ที่แยกบนคอลัมน์ BP-10 ที่อุณหภูมิ 130-150 องศาเซลเซียส

| Carbon number | Natural logarithm of retention factor ($\ln k$) | | | | | Intercept (a') | Slope (b') |
|---------------|---|---------|---------|---------|---------|-------------------|-----------------|
| | 130°C | 135°C | 140°C | 145°C | 150°C | | |
| | 2.480* | 2.450* | 2.420* | 2.391* | 2.363* | | |
| | 1.079** | 1.204** | 1.342** | 1.377** | 1.450** | | |
| 16 | 2.914 | 2.597 | 2.263 | 2.018 | 1.757 | -21.608 | 9878.77 |
| 17 | 3.434 | 3.103 | 2.757 | 2.498 | 2.225 | -22.184 | 1320.63 |
| 18 | 3.955 | 3.610 | 3.252 | 2.980 | 2.695 | -22.739 | 10754.24 |
| 19 | 4.477 | 4.117 | 3.746 | 3.461 | 3.165 | -23.323 | 11199.52 |
| 20 | 4.997 | 4.623 | 4.239 | 3.941 | 3.634 | -23.884 | 11635.40 |
| Intercept | | | | | | -12.505 | 2851.852 |
| (a'') | -5.419 | -5.509 | -5.643 | -5.674 | -5.753 | (a) | (c) |
| Slope | | | | | | -0.569 | 439.21 |
| (b'') | 0.521 | 0.507 | 0.494 | 0.481 | 0.469 | (b) | (d) |

* ค่า $1/T \times 10^3$ (หน่วย K^{-1})

a, b, c และ d เป็นค่าคงตัวในสมการ (2.36)

a'', b'' เป็นค่าจุดตัดแกน y และค่าความชัน ดังสมการ (2.37)

** ค่า t_{R_i} คำนวณโดยวิธีของ Guardino และคณะ [40]

a', b' เป็นค่าจุดตัดแกน y และค่าความชัน ดังสมการ (2.40)

แทนค่า a, b, c และ d ลงในสมการที่ (2.36) ได้

$$\ln k = -12.505 - 0.569z + \frac{2851.852}{T} + \frac{439.21z}{T} \quad (4.10)$$

ตารางที่ 4.11 ค่าลอการิทึมธรรมชาติของตัวประกอบคงค้าง ($\ln k$) ของสารกลุ่มกรดไขมันเมทิลเอสเตอร์ (FAMEs) ที่แยกบน kolamn BP-10 ที่อุณหภูมิ 180-200 องศาเซลเซียส

| Carbon number | Natural logarithm of retention factor ($\ln k$) | | | | | Intercept (a') | Slope (b') |
|------------------|---|---------|---------|---------|---------|-------------------|----------------|
| | 180°C | 185°C | 190°C | 195°C | 200°C | | |
| | 2.207* | 2.183* | 2.159* | 2.136* | 2.113* | | |
| | 1.283** | 1.328** | 1.438** | 1.497** | 1.535** | | |
| 16 | 2.411 | 2.215 | 1.923 | 1.708 | 1.506 | -19.509 | 9937.64 |
| 18 | 3.196 | 2.981 | 2.669 | 2.434 | 2.210 | -20.634 | 10803.86 |
| 19 | 3.590 | 3.365 | 3.043 | 2.795 | 2.563 | -21.234 | 11254.27 |
| 20 | 3.985 | 3.749 | 3.416 | 3.160 | 2.918 | -21.779 | 11680.33 |
| 22 | 4.769 | 4.515 | 4.162 | 3.884 | 3.621 | -22.924 | 12554.86 |
| Intercept | | | | | | -10.397 | 2954.47 |
| (a'') | -3.879 | -3.921 | -4.050 | -4.093 | -4.137 | (a) | (c) |
| Slope | | | | | | -0.569 | 436.41 |
| (b'') | 0.393 | 0.383 | 0.373 | 0.363 | 0.353 | (b) | (d) |

* ค่า $1/T \times 10^{-3}$ (หน่วย K^{-1})

** ค่า t_M คำนวณโดยวิธีของ Guardino และคณะ [40]

a, b, c และ d เป็นค่าคงตัวในสมการ (2.36)

a', b' เป็นค่าจุดตัดแกน y และค่าความชัน ดังสมการ (2.40)

a'', b'' เป็นค่าจุดตัดแกน y และค่าความชัน ดังสมการ (2.37)

แทนค่า a, b, c และ d ลงในสมการที่ (2.36) ได้

$$\ln k = -10.397 - 0.569z + \frac{2954.47}{T} + \frac{436.41z}{T} \quad (4.11)$$

ตารางที่ 4.12 ค่าลอการิทึมธรรมชาติของตัวประกอบคงค้าง ($\ln k$) ของสารกลุ่มไขมน้ำแอลกอฮอล์ (fatty alcohols) ที่แยกบน kolamn BP-10 ที่อุณหภูมิ 180-200 องศาเซลเซียส

| Carbon number | Natural logarithm of retention factor ($\ln k$) | | | | | Intercept (a') | Slope (b') |
|------------------|---|---------|---------|---------|---------|-------------------|----------------|
| | 180°C | 185°C | 190°C | 195°C | 200°C | | |
| | 2.207* | 2.183* | 2.159* | 2.136* | 2.113* | | |
| | 1.562** | 1.615** | 1.491** | 1.666** | 1.697** | | |
| 12 | 0.553 | 0.377 | 0.377 | 0.051 | -0.113 | -15.073 | 7094.46 |
| 14 | 1.345 | 1.150 | 1.092 | 0.788 | 0.605 | -16.036 | 7886.40 |
| 16 | 2.147 | 1.932 | 1.835 | 1.532 | 1.330 | -17.074 | 8718.82 |
| 18 | 2.951 | 2.714 | 2.588 | 2.277 | 2.055 | -18.101 | 9547.29 |
| 20 | 3.748 | 3.492 | 3.342 | 3.018 | 2.777 | -19.087 | 10354.94 |
| 22 | 4.541 | 4.265 | 4.029 | 3.754 | 3.496 | -20.055 | 11146.50 |
| Intercept | | | | | | -9.048 | 2204.69 |
| (a'') | -4.241 | -4.296 | -4.046 | -4.398 | -4.450 | (a) | (c) |
| Slope | | | | | | -0.501 | 407.06 |
| (b'') | 0.399 | 0.389 | 0.369 | 0.371 | 0.361 | (b) | (d) |

* ค่า $1/T \times 10^3$ (หน่วย K^{-1})

** ค่า t_M คำนวณโดยวิธีของ Guardino และคณะ [40]

a, b, c และ d เป็นค่าคงตัวในสมการ (2.36)

a', b' เป็นค่าจุดตัดแกน y และค่าความชัน ดังสมการ (2.40)

a'', b'' เป็นค่าจุดตัดแกน y และค่าความชัน ดังสมการ (2.37)

แทนค่า a, b, c และ d ลงในสมการที่ (2.36) ได้

$$\ln k = -9.048 - 0.501z + \frac{2204.69}{T} + \frac{407.06z}{T} \quad (4.12)$$

4.1.5 ค่าคงตัว a, b, c และ d ของคอลัมน์ ZB-1

ค่าคงตัว a, b, c และ d ของคอลัมน์ ZB-1 (100% dimethyl polysiloxane)

แสดงดังตารางที่ 4.13, 4.14 และ 4.15

ตารางที่ 4.13 ค่าลอการิทึมธรรมชาติของตัวประกอบคงค้าง ($\ln k$) ของสารกลุ่มไฮโดรคาร์บอน (*n*-alkanes) ที่แยกบนคอลัมน์ ZB-1 ที่อุณหภูมิ 130-150 องศาเซลเซียส

| Carbon number | Natural logarithm of retention factor ($\ln k$) | | | | | Intercept (a') | Slope (b') |
|---------------|---|---------|---------|---------|---------|-------------------|----------------|
| | 130°C | 135°C | 140°C | 145°C | 150°C | | |
| | 2.480* | 2.450* | 2.420* | 2.391* | 2.363* | | |
| | 1.510** | 1.557** | 1.582** | 1.647** | 1.693** | | |
| 16 | 1.991 | 1.730 | 1.526 | 1.277 | 1.044 | -17.888 | 8013.57 |
| 17 | 2.512 | 2.234 | 2.017 | 1.755 | 1.510 | -18.517 | 8476.27 |
| 18 | 3.034 | 2.741 | 2.509 | 2.235 | 1.978 | -19.139 | 8937.24 |
| 19 | 3.555 | 3.244 | 3.001 | 2.714 | 2.445 | -19.737 | 9387.52 |
| 20 | 4.077 | 3.750 | 3.491 | 3.192 | 2.911 | -20.382 | 9857.37 |
| Intercept | | | | | | -7.959 | 656.493 |
| (a'') | -6.350 | -6.346 | -6.337 | -6.386 | -6.428 | (a) | (c) |
| Slope | | | | | | -0.621 | 459.88 |
| (b'') | 0.521 | 0.505 | 0.491 | 0.479 | 0.467 | (b) | (d) |

* ค่า $1/T \times 10^{-3}$ (หน่วย K^{-1})

** ค่า t_M คำนวณโดยวิธีของ Guardino และคณะ [40]

a, b, c และ d เป็นค่าคงตัวในสมการ (2.36)

a' , b' เป็นค่าจุดตัดแกน y และค่าความชัน ดังสมการ (2.40)

a'' , b'' เป็นค่าจุดตัดแกน y และค่าความชัน ดังสมการ (2.37)

แทนค่า a, b, c และ d ลงในสมการที่ (2.36) ได้

$$\ln k = -7.959 - 0.621z + \frac{656.493}{T} + \frac{459.88z}{T} \quad (4.13)$$

ตารางที่ 4.14 ค่าลอการิทึมธรรมชาติของตัวประกอบคงค้าง ($\ln k$) ของสารกลุ่มกรดไขมันเมธิลเอสเตอโรร์ (FAMEs) ที่แยกบนคอลัมน์ ZB-1 ที่อุณหภูมิ 180-200 องศาเซลเซียส

| Carbon number | Natural logarithm of retention factor ($\ln k$) | | | | | Intercept (a') | Slope (b') |
|------------------|---|---------|---------|---------|---------|-------------------|----------------|
| | 180°C | 185°C | 190°C | 195°C | 200°C | | |
| | 2.207* | 2.183* | 2.159* | 2.136* | 2.113* | | |
| | 1.631** | 1.700** | 1.745** | 1.776** | 1.817** | | |
| 16 | 1.315 | 1.081 | 0.896 | 0.676 | 0.476 | -18.405 | 8931.25 |
| 18 | 2.096 | 1.844 | 1.612 | 1.399 | 1.182 | -19.438 | 9753.75 |
| 19 | 2.489 | 2.226 | 1.985 | 1.762 | 1.535 | -19.967 | 10171.25 |
| 20 | 2.881 | 2.609 | 2.357 | 2.125 | 1.889 | -20.491 | 10586.57 |
| 22 | 3.662 | 3.371 | 3.100 | 2.848 | 2.594 | -21.521 | 11407.35 |
| Intercept | | | | | | -10.083 | 2321.97 |
| (a'') | -4.945 | -5.027 | -5.082 | -5.115 | -5.172 | (a) | (c) |
| Slope | | | | | | -0.520 | 413.06 |
| (b'') | 0.391 | 0.382 | 0.372 | 0.362 | 0.353 | (b) | (d) |

* ค่า $1/T \times 10^3$ (หน่วย K^{-1})

** ค่า t_M คำนวณโดยวิธีของ Guardino และคณะ [40]

a, b, c และ d เป็นค่าคงตัวในสมการ (2.36)

a', b' เป็นค่าจุดตัดแกน y และค่าความชัน ดังสมการ (2.40)

a'', b'' เป็นค่าจุดตัดแกน y และค่าความชัน ดังสมการ (2.37)

แทนค่า a, b, c และ d ลงในสมการที่ (2.36) ได้

$$\ln k = -10.083 - 0.520z + \frac{2321.97}{T} + \frac{413.06z}{T} \quad (4.14)$$

ตารางที่ 4.15 ค่าลอการิทึมธรรมชาติของตัวประกอบคงค้าง ($\ln k$) ของสารกลุ่มไขมันแอลกอฮอล์ (fatty alcohols) ที่แยกบน kolamn ZB-1 ที่อุณหภูมิ 180-200 องศาเซลเซียส

| Natural logarithm of retention factor ($\ln k$) | | | | | | | |
|---|---------|---------|---------|---------|---------|---------------|----------------|
| Carbon number | 180°C | 185°C | 190°C | 195°C | 200°C | Intercept | Slope |
| | 2.207* | 2.183* | 2.159* | 2.136* | 2.113* | (a') | (b') |
| | 1.809** | 1.839** | 1.862** | 1.878** | 1.894** | | |
| 12 | -1.199 | -1.059 | -0.919 | -0.766 | -0.605 | -14.638 | 6357.00 |
| 14 | -0.482 | -0.323 | -0.163 | 0.009 | 0.187 | -15.628 | 7164.83 |
| 16 | 0.241 | 0.419 | 0.600 | 0.791 | 0.988 | -16.677 | 8003.74 |
| 18 | 0.965 | 1.162 | 1.363 | 1.574 | 1.792 | -17.755 | 8856.09 |
| 20 | 1.684 | 1.900 | 2.120 | 2.351 | 2.588 | -18.797 | 9689.49 |
| 22 | 2.403 | 2.638 | 2.878 | 3.127 | 3.380 | -19.744 | 10478.29 |
| Intercept | | | | | | -8.436 | 1374.09 |
| (a'') | -5.525 | -5.501 | -5.479 | -5.443 | -5.395 | (a) | (c) |
| Slope | | | | | | -0.516 | 414.75 |
| (b'') | 0.360 | 0.370 | 0.380 | 0.390 | 0.399 | (b) | (d) |

* ค่า $1/T \times 10^{-3}$ (หน่วย K^{-1})

** ค่า I_M คำนวณโดยวิธีของ Guardino และคณะ [40]

a, b, c และ d เป็นค่าคงตัวในสมการ (2.36)

a', b' เป็นค่าจุดตัดแกน y และค่าความชัน ดังสมการ (2.40)

a'', b'' เป็นค่าจุดตัดแกน y และค่าความชัน ดังสมการ (2.37)

แทนค่า a, b, c และ d ลงในสมการที่ (2.36) ได้

$$\ln k = -8.436 - 0.516z + \frac{1374.09}{T} + \frac{414.75z}{T} \quad (4.15)$$

ตารางที่ 4.16 แสดงค่าคงตัว a, b, c และ d ของหมู่พิจกรชั้นต่างๆ ที่แยกบนคอลัมน์ SP-2340, RTX-2330, DB-225, BP-10 และ ZB-1

| | a | b | c | d |
|-----------------------|--------|-------|----------|--------|
| Hydrocarbons | | | | |
| SP-2340 | -6.76 | -0.64 | -812.42 | 464.93 |
| RTX-2330 | -4.29 | -0.78 | -1541.67 | 492.35 |
| DB-225 | -8.25 | -0.55 | 877.29 | 407.98 |
| BP-10 | -12.51 | -0.57 | 2851.85 | 439.21 |
| ZB-1 | -7.96 | -0.62 | 656.49 | 459.88 |
| FAMEs | | | | |
| SP-2340 | -7.69 | -0.49 | 978.33 | 373.23 |
| RTX-2330 | -6.77 | -0.60 | 865.54 | 404.04 |
| DB-225 | -10.91 | -0.52 | 3228.04 | 392.29 |
| BP-10 | -10.40 | -0.57 | 2954.47 | 436.41 |
| ZB-1 | -10.08 | -0.52 | 2321.97 | 413.06 |
| Fatty alcohols | | | | |
| SP-2340 | -8.71 | -0.48 | 1880.76 | 357.58 |
| RTX-2330 | -8.08 | -0.57 | 1787.68 | 383.54 |
| DB-225 | -8.27 | -0.54 | 1969.16 | 405.98 |
| BP-10 | -9.05 | -0.50 | 2204.69 | 407.06 |
| ZB-1 | -8.44 | -0.52 | 1374.09 | 414.75 |

จาก ตารางที่ 4.16 พบร่วมค่าคงตัว a, b, c และ d ของหมู่พิจกรชั้นต่างๆ ที่แยกบนคอลัมน์ SP-2340, RTX-2330, DB-225, BP-10 และ ZB-1 มีค่าต่างกันไปเนื่องจากค่าคงตัวทั้งสี่นี้จะเป็นค่าเฉพาะตัวของสารในหมู่อนุกรมพิจกรชั้นหนึ่งๆ กับวัสดุภาชนะที่ใช้ในการทดลอง แต่สำหรับสารเดียวกัน ค่าคงตัวที่ได้รับจะต้องเท่ากัน

เมื่อนำค่าคงตัว a, b, c และ d ไปคำนวณค่าพลังงานอิสระดังสมการ (4.16)

$$\Delta G^0 = (-cR) - (a + \ln \beta)RT + z(-dR - bRT) \quad (4.16)$$

เมื่อค่า ΔG_0 คือ $(-cR) - (a + \ln \beta)RT$
 δG คือ $(-dR - bRT)$

4.2 การหาค่า ΔG_0 และ δG จากสารตัวอย่างที่แยกได้จากคอลัมน์

หากค่าคงตัวของคอลัมน์ที่ได้คือ a, b, c และ d สามารถคำนวณหาค่า ΔG_0 และ δG โดยการแทนค่าลงในสมการ (4.17) คือ

$$\Delta G^0 = (-cR) - (a + \ln\beta)RT + z(-dR - bRT) \quad (4.17)$$

$$\begin{aligned} \text{เมื่อค่า } \Delta G_0 & \text{ คือ } (-cR) - (a + \ln\beta)RT \\ \delta G & \text{ คือ } (-dR - bRT) \end{aligned}$$

4.2.1 ค่า ΔG_0 และ δG ของคอลัมน์ SP-2340

สารกลุ่มไฮโดรคาร์บอน (*n*-alkanes)

ค่าคงตัว a, b, c และ d ของคอลัมน์ SP-2340 ที่ได้จากการสารตัวอย่างกลุ่มไฮโดรคาร์บอน (*n*-alkanes) คือ -6.757, -0.637, -812.42 และ 464.93 ตามลำดับ แทนค่า a, b, c และ d ลงในสมการที่ (4.17) ได้

$$\Delta G^0 = (812.42 R) - (-6.757 + \ln \beta) RT + z (-464.93 R + 0.637 RT) \quad (4.18)$$

$$\begin{aligned} \text{ดังนั้น } \Delta G_0 &= (812.42 R) - (-6.757 + \ln \beta) RT \\ \delta G &= (-464.93 R + 0.637 RT) \end{aligned}$$

สารกลุ่มกรดไขมันเมทิลเอสเทอร์ (FAMEs)

ค่าคงตัว a, b, c และ d ของคอลัมน์ SP-2340 ที่ได้จากการสารตัวอย่างกลุ่มกรดไขมันเมทิลเอสเทอร์ (FAMEs) คือ -7.687, -0.49, 978.33 และ 373.23 ตามลำดับ แทนค่า a, b, c และ d ลงในสมการที่ (4.17) ได้

$$\Delta G^0 = (-978.33 R) - (-7.687 + \ln \beta) RT + z (-373.23 R + 0.49 RT) \quad (4.19)$$

$$\begin{aligned} \text{ดังนั้น } \Delta G_0 &= (-978.33 R) - (-7.687 + \ln \beta) RT \\ \delta G &= (-373.23 R + 0.49 RT) \end{aligned}$$

สารกลุ่มไขมันแอลกอฮอล์ (fatty alcohols)

ค่าคงตัว a, b, c และ d ของคอลัมน์ SP-2340 ที่ได้จากการสารตัวอย่างกลุ่มไขมันแอลกอฮอล์ (fatty alcohols) คือ -8.705, -0.479, 1880.76 และ 375.58 ตามลำดับ แทนค่า a, b, c และ d ลงในสมการที่ (4.17) ได้

$$\Delta G^0 = (-1880.76 R) - (-8.705 + \ln \beta) RT + z (-357.58 R + 0.479 RT) \quad (4.20)$$

$$\begin{aligned} \text{ดังนั้น } \Delta G_0 &= (-1880.76 R) - (-8.705 + \ln \beta) RT \\ \delta G &= (-357.58 R + 0.479 RT) \end{aligned}$$

4.2.2 ค่า ΔG_0 และ δG ของคอลัมน์ RTX-2330

สารกลุ่มไฮโดรคาร์บอน (*n*-alkanes)

ค่าคงตัว a, b, c และ d ของคอลัมน์ RTX-2330 ที่ได้จากการสารตัวอย่างกลุ่มไฮโดรคาร์บอน (*n*-alkanes) คือ -4.29, -0.777, -1541.67 และ 492.35 ตามลำดับ แทนค่า a, b, c และ d ลงในสมการที่ (4.17) ได้

$$\Delta G^0 = (1541.67 R) - (-4.29 + \ln \beta) RT + z (-492.35 R + 0.777 RT) \quad (4.21)$$

$$\text{ดังนั้น } \Delta G_0 = (1541.67 R) - (-4.29 + \ln \beta) RT$$

$$\delta G = (-492.35 R + 0.777 RT)$$

สารกลุ่มกรดไขมันเมทิลเอสเทอร์ (FAMEs)

ค่าคงตัว a, b, c และ d ของคอลัมน์ RTX-2330 ที่ได้จากการสารตัวอย่างกลุ่มกรดไขมันเมทิลเอสเทอร์ (FAMEs) คือ -6.77, -0.604, 865.54 และ 404.04 ตามลำดับ แทนค่า a, b, c และ d ลงในสมการที่ (4.17) ได้

$$\Delta G^0 = (-865.54 R) - (-6.77 + \ln \beta) RT + z (-404.04 R + 0.604 RT) \quad (4.22)$$

$$\text{ดังนั้น } \Delta G_0 = (-865.54 R) - (-6.77 + \ln \beta) RT$$

$$\delta G = (-404.04 R + 0.604 RT)$$

สารกลุ่มไขมันแอลกอฮอล์ (fatty alcohols)

ค่าคงตัว a, b, c และ d ของคอลัมน์ RTX-2330 ที่ได้จากการสารตัวอย่างกลุ่มไขมันแอลกอฮอล์ (fatty alcohols) คือ -8.082, -0.568, 1787.68 และ 383.54 ตามลำดับ แทนค่า a, b, c และ d ลงในสมการที่ (4.17) ได้

$$\Delta G^0 = (-1787.68 R) - (-8.082 + \ln \beta) RT + z (-383.54 R + 0.568 RT) \quad (4.23)$$

$$\text{ดังนั้น } \Delta G_0 = (-1787.68 R) - (-8.082 + \ln \beta) RT$$

$$\delta G = (-383.54 R + 0.568 RT)$$

4.2.3 ค่า ΔG_0 และ δG ของคอลัมน์ DB-225

สารกลุ่มไฮโดรคาร์บอน (*n*-alkanes)

ค่าคงตัว a, b, c และ d ของคอลัมน์ DB-225 ที่ได้จากการสารตัวอย่างกลุ่มไฮโดรคาร์บอน (*n*-alkanes) คือ -8.251, -0.55, 877.29 และ 407.98 ตามลำดับ แทนค่า a, b, c และ d ลงในสมการที่ (4.17) ได้

$$\Delta G^0 = (-877.29 R) - (-8.251 + \ln \beta) RT + z (-407.98 R + 0.55 RT) \quad (4.24)$$

ดังนั้น $\Delta G_0 = (-877.29 R) - (-8.251 + \ln \beta) RT$

$$\delta G = (-407.98 R + 0.55 RT)$$

สารกลุ่มกรดไขมันเมทิลเอสเตอร์ (FAMEs)

ค่าคงตัว a, b, c และ d ของคอลัมน์ DB-225 ที่ได้จากการสารตัวอย่างกลุ่มกรดไขมันเมทิลเอสเตอร์ (FAMEs) คือ -10.914, -0.52, 3228.04 และ 392.29 ตามลำดับ แทนค่า a, b, c และ d ลงในสมการที่ (4.17) ได้

$$\Delta G^0 = (-3228.04 R) - (-10.914 + \ln \beta) RT + z (-392.29 R + 0.52 RT) \quad (4.25)$$

ดังนั้น $\Delta G_0 = (-3228.04 R) - (-10.914 + \ln \beta) RT$

$$\delta G = (-392.29 R + 0.52 RT)$$

สารกลุ่มไขมันแอลกอฮอล์ (fatty alcohols)

ค่าคงตัว a, b, c และ d ของคอลัมน์ DB-225 ที่ได้จากการสารตัวอย่างกลุ่มไขมันแอลกอฮอล์ (fatty alcohols) คือ -8.273, -0.54, 1969.16 และ 405.98 ตามลำดับ แทนค่า a, b, c และ d ลงในสมการที่ (4.17) ได้

$$\Delta G^0 = (-1969.16 R) - (-8.273 + \ln \beta) RT + z (-405.98 + 0.54 RT) \quad (4.26)$$

ดังนั้น $\Delta G_0 = (-1969.16 R) - (-8.273 + \ln \beta) RT$

$$\delta G = (-405.98 + 0.54 RT)$$

4.2.4 ค่า ΔG_0 และ δG ของคอลัมน์ BP-10

สารกลุ่มไฮโดรคาร์บอน (*n*-alkanes)

ค่าคงตัว a, b, c และ d ของคอลัมน์ BP-10 ที่ได้จากการสารตัวอย่างกลุ่มไฮโดรคาร์บอน (*n*-alkanes) คือ -12.505, -0.569, 2851.852 และ 439.210 ตามลำดับ แทนค่า a, b, c และ d ลงในสมการที่ (4.17) ได้

$$\Delta G^0 = (-2851.852 R) - (-12.505 + \ln \beta) RT + z (-439.210 R + 0.569 RT) \quad (4.27)$$

$$\text{ดังนั้น } \Delta G_0 = (-877.29 R) - (-12.505 + \ln \beta) RT$$

$$\delta G = (-439.210 R + 0.569 RT)$$

สารกลุ่มกรดไขมันเมทิลเอสเตอโร่ (FAMEs)

ค่าคงตัว a, b, c และ d ของคอลัมน์ BP-10 ที่ได้จากการสารตัวอย่างกลุ่มกรดไขมันเมทิลเอสเตอโร่ (FAMEs) คือ -10.397, -0.569, 2954.470 และ 436.410 ตามลำดับ แทนค่า a, b, c และ d ลงในสมการที่ (4.17) ได้

$$\Delta G^0 = (-2954.470 R) - (-10.397 + \ln \beta) RT + z (-436.410 R + 0.569 RT) \quad (4.28)$$

$$\text{ดังนั้น } \Delta G_0 = (-2954.470 R) - (-10.397 + \ln \beta) RT$$

$$\delta G = (-436.410 R + 0.569 RT)$$

สารกลุ่มไขมันแอลกอฮอล์ (fatty alcohols)

ค่าคงตัว a, b, c และ d ของคอลัมน์ BP-10 ที่ได้จากการสารตัวอย่างกลุ่มไขมันแอลกอฮอล์ (fatty alcohols) คือ -9.048, -0.501, 2204.69 และ 407.06 ตามลำดับ แทนค่า a, b, c และ d ลงในสมการที่ (4.17) ได้

$$\Delta G^0 = (-2204.69 R) - (-9.048 + \ln \beta) RT + z (-407.06 + 0.501 RT) \quad (4.29)$$

$$\text{ดังนั้น } \Delta G_0 = (-2204.69 R) - (-9.048 + \ln \beta) RT$$

$$\delta G = (-407.06 + 0.501 RT)$$

4.2.5 ค่า ΔG_0 และ δG ของคอลัมน์ ZB-1

สารกลุ่มไฮโดรคาร์บอน (*n*-alkanes)

ค่าคงตัว a, b, c และ d ของคอลัมน์ ZB-1 ที่ได้จากการสารตัวอย่างกลุ่มไฮโดรคาร์บอน (*n*-alkanes) คือ -7.959, -0.621, 656.493 และ 459.88 ตามลำดับ แทนค่า a, b, c และ d ลงในสมการที่ (4.17) ได้

$$\Delta G^0 = (-656.493 R) - (-7.959 + \ln \beta) RT + z (-459.88 R + 0.621 RT) \quad (4.30)$$

ดังนั้น $\Delta G_0 = (-656.493 R) - (-7.959 + \ln \beta) RT$

$$\delta G = (-459.88 R + 0.621 RT)$$

สารกลุ่มกรดไขมันเมทิลเอสเทอร์ (FAMEs)

ค่าคงตัว a, b, c และ d ของคอลัมน์ ZB-1 ที่ได้จากการสารตัวอย่างกลุ่มกรดไขมันเมทิลเอสเทอร์ (FAMEs) คือ -10.083, -0.52, 2321.97 และ 413.06 ตามลำดับ แทนค่า a, b, c และ d ลงในสมการที่ (4.17) ได้

$$\Delta G^0 = (-2321.97) - (-10.083 + \ln \beta) RT + z (-413.06 R + 0.52 RT) \quad (4.31)$$

ดังนั้น $\Delta G_0 = (-2321.97) - (-10.083 + \ln \beta) RT$

$$\delta G = (-413.06 R + 0.52 RT)$$

สารกลุ่มไขมันแอลกอฮอล์ (fatty alcohols)

ค่าคงตัว a, b, c และ d ของคอลัมน์ ZB-1 ที่ได้จากการสารตัวอย่างกลุ่มไขมันแอลกอฮอล์ (fatty alcohols) คือ -8.436, -0.516, 1374.09 และ 414.75 ตามลำดับ แทนค่า a, b, c และ d ลงในสมการที่ (4.17) ได้

$$\Delta G^0 = (-1374.09 R) - (-8.436 + \ln \beta) RT + z (-414.75 + 0.516 RT) \quad (4.32)$$

ดังนั้น $\Delta G_0 = (-1374.09 R) - (-8.436 + \ln \beta) RT$

$$\delta G = (-414.75 + 0.516 RT)$$

ตารางที่ 4.17 เปรียบเทียบค่า ΔG_0 และ δG ของสารกลุ่มไฮโดรคาร์บอนที่แยกบนคอลัมน์ SP-2340, RTX-2330, DB-225, BP-10 และ ZB-1

| | Temperature (°C) | | | | | | | |
|-------------------------|--------------------|--------|--------|--------|--------|--------|--------|--------|
| | 130 | 140 | 150 | 160 | 170 | 180 | 190 | 200 |
| SP2340 | | | | | | | | |
| ΔG_0 (kcal/mol) | 2.426 | 2.446 | 2.466 | 2.486 | 2.506 | 2.526 | 2.547 | 2.567 |
| δG (kcal/mol) | -0.414 | -0.401 | -0.388 | -0.376 | -0.363 | -0.350 | -0.338 | -0.325 |
| RTX2330 | | | | | | | | |
| ΔG_0 (kcal/mol) | 1.899 | 1.870 | 1.841 | 1.812 | 1.783 | 1.754 | 1.725 | 1.696 |
| δG (kcal/mol) | -0.356 | -0.340 | -0.325 | -0.310 | -0.294 | -0.279 | -0.263 | -0.248 |
| DB225 | | | | | | | | |
| ΔG_0 (kcal/mol) | 0.444 | 0.498 | 0.552 | 0.606 | 0.661 | 0.715 | 0.769 | 0.823 |
| δG (kcal/mol) | -0.370 | -0.359 | -0.348 | -0.337 | -0.326 | -0.315 | -0.306 | -0.294 |
| BP10 | | | | | | | | |
| ΔG_0 (kcal/mol) | -0.072 | 0.067 | 0.206 | 0.344 | 0.483 | 0.622 | 0.761 | 0.899 |
| δG (kcal/mol) | -0.417 | -0.406 | -0.394 | -0.383 | -0.372 | -0.360 | -0.349 | -0.338 |
| ZB1 | | | | | | | | |
| ΔG_0 (kcal/mol) | -0.085 | -0.055 | -0.025 | 0.005 | 0.036 | 0.066 | 0.096 | 0.126 |
| δG (kcal/mol) | -0.416 | -0.404 | -0.392 | -0.379 | -0.367 | -0.355 | -0.342 | -0.330 |

ตารางที่ 4.17 เป็นค่าพลังงานอิสระของการละลายของสารกลุ่มไฮโดรคาร์บอนที่ได้จากการแทนค่าคงตัว a, b, c และ d ลงในสมการ (4.17) ที่แยกบนคอลัมน์ SP-2340 > RTX-2330 >DB-225 > BP-10 > ZB-1 ซึ่งเรียกลำดับจากสภาพขั้วคอลัมน์มากไปน้อยพบร่วมค่า ΔG_0 (ค่าพลังงานอิสระที่เกิดจากสารที่มีจำนวนคาร์บอนเท่ากับศูนย์) ของสารกลุ่มไฮโดรคาร์บอนจะมีค่าลดลงเมื่อสภาพความเป็นขั้วของคอลัมน์ลดลงเนื่องจากสารไฮโดรคาร์บอนเป็นสารไม่มีขั้ว ดังนั้นพลังงานอิสระของการละลายที่เกิดขึ้นในขณะที่สารไฮโดรคาร์บอนละลายเข้าไปในวัฏภัณฑ์จะน้อยลง เมื่อสภาพความเป็นขั้วของวัฏภัณฑ์ลดลง เพราะความสามารถของการละลายของสารสองชนิดขึ้นกับความเป็นขั้วของสารทั้งสอง คือสารมีขั้วจะละลายได้ดีในสารมีขั้วเดียวกัน เช่นเดียวกันกับสารไม่มีขั้วจะละลายได้ดีในสารไม่มีขั้ว จึงพบว่าค่า ΔG_0 ของสารกลุ่มไฮโดรคาร์บอนบนคอลัมน์ ZB-1 ที่จัดเป็นคอลัมน์ไม่มีขั้วจึงมีค่าน้อยที่สุด ส่วนค่า δG (ค่าพลังงานอิสระที่เปลี่ยนไปต่อหนึ่งหมู่เมทิลén) มีค่าแตกต่างกันในแต่ละคอลัมน์แต่ค่าก็ยังอยู่ในช่วงที่ใกล้เคียงกัน และเมื่ออุณหภูมิสูงขึ้นพบว่าทั้งค่า ΔG_0 และ δG เพิ่มมากขึ้นตามอุณหภูมิ เนื่องจากการเพิ่มอุณหภูมิเป็นการให้พลังงานแก่ระบบ และสารจะถูกชะออกจากรคอลัมน์เร็วขึ้นเมื่ออุณหภูมิเพิ่มขึ้น เนื่องจากการเคลื่อนที่ของสารจากวัฏภัณฑ์มาสู่วัฏภัณฑ์เคลื่อนที่เป็นการดูดกลืนความร้อน

ตารางที่ 4.18 เปรียบเทียบค่า ΔG_0 และ δG ของสารกลุ่มกรดไขมันเมทิลเอสเทอร์ที่แยกน้ำมันคอลัมน์

SP-2340, RTX-2330, DB-225, BP-10 และ ZB-1

| | Temperature (°C) | | | | | | | |
|-------------------------|--------------------|--------|--------|--------|--------|--------|--------|--------|
| | 130 | 140 | 150 | 160 | 170 | 180 | 190 | 200 |
| SP2340 | | | | | | | | |
| ΔG_0 (kcal/mol) | -0.387 | -0.349 | -0.310 | -0.272 | -0.233 | -0.194 | -0.156 | -0.117 |
| δG (kcal/mol) | -0.349 | -0.339 | -0.330 | -0.320 | -0.310 | -0.300 | -0.291 | -0.281 |
| RTX2330 | | | | | | | | |
| ΔG_0 (kcal/mol) | -0.898 | -0.878 | -0.857 | -0.837 | -0.816 | -0.796 | -0.776 | -0.755 |
| δG (kcal/mol) | -0.319 | -0.307 | -0.295 | -0.283 | -0.271 | -0.259 | -0.247 | -0.235 |
| DB225 | | | | | | | | |
| ΔG_0 (kcal/mol) | -2.094 | -1.987 | -1.880 | -1.773 | -1.665 | -1.558 | -1.451 | -1.344 |
| δG (kcal/mol) | -0.363 | -0.353 | -0.342 | -0.332 | -0.331 | -0.322 | -0.301 | -0.291 |
| BP10 | | | | | | | | |
| ΔG_0 (kcal/mol) | -1.965 | -1.868 | -1.771 | -1.674 | -1.577 | -1.480 | -1.383 | -1.286 |
| δG (kcal/mol) | -0.411 | -0.400 | -0.389 | -0.377 | -0.366 | -0.355 | -0.344 | -0.332 |
| ZB1 | | | | | | | | |
| ΔG_0 (kcal/mol) | -1.693 | -1.621 | -1.548 | -1.476 | -1.403 | -1.331 | -1.258 | -1.186 |
| δG (kcal/mol) | -0.404 | -0.394 | -0.384 | -0.373 | -0.363 | -0.353 | -0.342 | -0.332 |

ตารางที่ 4.18 เป็นค่าพลังงานอิสระของการละลายของสารกลุ่มกรดไขมันเมทิลเอสเทอร์ที่ได้จากการแทนค่าคงตัว a, b, c และ d ลงในสมการ (4.17) ที่แยกน้ำมันคอลัมน์ SP-2340 > RTX-2330 > DB-225 > BP-10 > ZB-1 ซึ่งเรียงลำดับจากสภาพขั้วคอลัมน์มากไปน้อย ตามคุณสมบัติการละลายของสารค่า δG ของสารกลุ่มกรดไขมันเมทิลเอสเทอร์ ซึ่งจัดเป็นสารมีขั้วऋจุ์ค่าเพิ่มขึ้นเมื่อสภาพขั้วของวัฏภากนิ่งลดลง แต่จากการทดลองพบว่า ΔG_0 มีค่าลดลงจาก SP-2340 > RTX-2330 > DB-225 และจากนั้นจะเพิ่มขึ้นในคอลัมน์ BP-10 และคอลัมน์ ZB-1 ซึ่งอาจเนื่องจากอิทธิพลของสายไฮโดรคาร์บอน หรือหมู่เมทิลิน เพราะในงานทดลองนี้ได้ใช้สารกลุ่มกรดไขมันเมทิลเอสเทอร์ที่มีสายของไฮโดรคาร์บอน หรือหมู่เมทิลินค่อนข้างสูง คือ 16-22 ในกรณีที่ค่าคงตัว a, b, c และ d และค่า ΔG_0 เป็นค่าที่ได้จากคำนวณโดยใช้ค่าคงตัวทั้ง 4 นี้ ดังนั้นนอกจากหมู่ฟังก์ชันของกรดไขมันเมทิลเอสเทอร์แล้วสายของคาร์บอนก็จะมีอิทธิพลต่อค่า ΔG_0 เช่นกัน ส่วนค่า δG มีค่าแตกต่างกันในแต่ละคอลัมน์แต่ค่าคงตัวที่ได้จากการบันทึกอยู่ในช่วงที่ใกล้เคียงกัน และที่อุณหภูมิสูงขึ้น ΔG_0 และ δG เพิ่มมากขึ้นตามอุณหภูมิเช่นเดียวกับสารในกลุ่มไฮโดรคาร์บอน

ตารางที่ 4.19 เปรียบเทียบค่า ΔG_0 และ δG ของสารกลุ่มไขมันแอลกอฮอล์ที่แยกน้ำมันคอลัมน์

SP-2340, RTX-2330, DB-225, BP-10 และ ZB-1

| | Temperature (°C) | | | | | | | |
|-------------------------|--------------------|--------|--------|--------|--------|--------|--------|--------|
| | 130 | 140 | 150 | 160 | 170 | 180 | 190 | 200 |
| SP2340 | | | | | | | | |
| ΔG_0 (kcal/mol) | -1.365 | -1.306 | -1.247 | -1.189 | -1.130 | -1.071 | -1.012 | -0.953 |
| δG (kcal/mol) | -0.327 | -0.317 | -0.308 | -0.983 | -0.289 | -0.279 | -0.270 | -0.260 |
| RTX2330 | | | | | | | | |
| ΔG_0 (kcal/mol) | -1.679 | -1.633 | -1.586 | -1.540 | -1.493 | -1.447 | -1.401 | -1.354 |
| δG (kcal/mol) | -0.307 | -0.296 | -0.285 | -0.273 | -0.262 | -0.251 | -0.239 | -0.228 |
| DB225 | | | | | | | | |
| ΔG_0 (kcal/mol) | -1.708 | -1.654 | -1.599 | -1.544 | -1.489 | -1.435 | -1.380 | -1.325 |
| δG (kcal/mol) | -0.374 | -0.363 | -0.353 | -0.342 | -0.331 | -0.320 | -0.310 | -0.299 |
| BP10 | | | | | | | | |
| ΔG_0 (kcal/mol) | -1.555 | -1.485 | -1.415 | -1.315 | -1.275 | -1.205 | -1.135 | -1.065 |
| δG (kcal/mol) | -0.407 | -0.398 | -0.388 | -0.378 | -0.368 | -0.358 | -0.348 | -0.338 |
| ZB1 | | | | | | | | |
| ΔG_0 (kcal/mol) | -1.129 | -1.089 | -1.050 | -1.010 | -0.970 | -0.930 | -0.891 | -0.851 |
| δG (kcal/mol) | -0.411 | -0.401 | -0.390 | -0.380 | -0.370 | -0.359 | -0.349 | -0.339 |

ตารางที่ 4.19 เป็นค่าพลังงานอิสระของการละลายของสารกลุ่มไขมันแอลกอฮอล์ที่ได้จากการแทนค่าคงตัว a, b, c และ d ลงในสมการ (4.17) ที่แยกน้ำมันคอลัมน์ SP-2340 > RTX-2330 > DB-225 > BP-10 > ZB-1 ซึ่งเรียงลำดับจากสภาพขั้วคอลัมน์มากไปน้อยตามคุณสมบัติการละลายของสาร ค่า ΔG_0 ของสารกลุ่มไขมันแอลกอฮอล์ซึ่งจัดเป็นสารมีขั้วตรงข้ามกับค่าเพิ่มขึ้น เมื่อสภาพขั้วของวัสดุกำหนด แต่จากการทดลองพบว่า ΔG_0 มีค่าลดลงจาก SP-2340 > RTX-2330 > DB-225 และจากนั้นจะเพิ่มขึ้นในคอลัมน์ BP-10 และคอลัมน์ ZB-1 เช่นเดียวกับสารกลุ่มกรดไขมันเมทิลเอสเทอร์ ซึ่งอาจเนื่องจากอิทธิพลของสายไฮโดรคาร์บอน หรือหมู่เมทิลีน เพราะในงานทดลองนี้ได้ใช้สารกลุ่มกรดไขมันแอลกอฮอล์ที่มีสายของไฮโดรคาร์บอนหรือหมู่เมทิลีนค่อนข้างสูง คือ 12-22 ในการหาค่าคงตัว a, b, c และ d และค่า ΔG_0 เป็นค่าที่ได้จากการคำนวณโดยใช้ค่าคงตัวทั้ง 4 นี้ ดังนั้นนอกจากหมู่ฟังก์ชันของกรดไขมันเมทิลเอสเทอร์แล้วสายของคาร์บอนก็จะมีอิทธิพลต่อค่า ΔG_0 เช่นกัน ส่วนค่า δG มีค่าแตกต่างกันในแต่ละคอลัมน์แต่ค่าที่บังอยู่ในช่วงที่ใกล้เคียงกัน และที่อุณหภูมิสูงขึ้น ΔG_0 และ δG เพิ่มมากขึ้นตามอุณหภูมิ เช่นเดียวกับสารในกลุ่มไฮโดรคาร์บอน และกรดไขมันเมทิลเอสเทอร์

ในการวิเคราะห์ความแตกต่างของค่าคงตัว a, b, c และ d ในรูปของค่าพลังงานอิสระนั้น หากเป็นไปตามสมมติฐานที่ตั้งไว้ข้างต้นที่ว่า สภาพความเป็นขั้วของคอลัมน์ที่ต่างกันเกิดจากปริมาณของไฮยาโนโพรพิวท์แตกต่างกันในวัฏจักรนั้น ซึ่งมีผลต่อค่าเวลาคงค้างของสารลิปิดก็ควรจะมีผลให้ค่า ΔG_0 เพิ่มขึ้นหรือลดลงในทิศทางเดียวกันตามสภาพความเป็นขั้วของคอลัมน์ (SP-2340, RTX-2330, DB-225, BP-10 และ ZB-1 เรียงลำดับจากสภาพขั้วคอลัมน์มากไปน้อย) โดยสารและคอลัมน์ที่มีสภาพความเป็นขั้วที่ใกล้เคียงกันหรือเหมือนกัน จะเกิดการแบ่งละลายของสารเข้าสู่วัฏจักรนั้นได้มาก (ΔG_0 มีค่าน้อย) ในทางกลับกันถ้าสารและคอลัมน์มีสภาพขั้วที่ต่างกัน การแบ่งละลายสารเข้าสู่วัฏจักรนั้นก็จะเกิดได้น้อย (ΔG_0 มีค่ามาก) แต่ในทางปฏิบัตินั้นค่า ΔG_0 ที่คำนวณได้จากการแยกสารทั้ง 3 กลุ่ม โดยใช้คอลัมน์ SP-2340, RTX-2330, DB-225, BP-10 และ ZB-1 ดังตัวอย่างที่อุณหภูมิ 130°C มีเพียงสารกลุ่มไฮdrocarบอนที่มีค่า ΔG_0 ลดลงตามสภาพความเป็นขั้วของคอลัมน์ คือ 2.426, 1.899, 0.444, -0.072 และ -0.085 kcal/mol ตามลำดับ ส่วนสารกลุ่มกรดไขมันเมทิลเอสเทอร์ และ กลุ่มไขมันแอลกอฮอล์นั้น ค่า ΔG_0 ไม่ได้เพิ่มขึ้นหรือลดลงในทิศทางเดียวกันตามสภาพขั้วคอลัมน์ แต่สาร 2 กลุ่มนี้มีลักษณะการเพิ่มลดของค่า ΔG_0 ที่คล้ายกันคือ ค่า ΔG_0 มีค่าที่ลดลงเรียงตามจากคอลัมน์ SP-2340, RTX-2330, DB-225 ตามลำดับ และมีค่าเพิ่มขึ้นที่คอลัมน์ BP-10 และ ZB-1 ตามลำดับ เป็นไปได้ว่าสารกลุ่มกรดไขมันเมทิลเอสเทอร์และกลุ่มไขมันแอลกอฮอล์ที่ใช้นั้นมีค่าบ่อน-อะตอนสายยาว สายcarบอนอะตอนจึงมีอิทธิพลต่อสภาพความเป็นขั้วของสาร จึงทำให้ยังไม่สามารถอธิบายความสัมพันธ์ที่เกิดขึ้นจากการเปลี่ยนแปลงของค่าคงตัว a, b, c และ d ที่ได้ว่าเป็นไปในทิศทางใด แต่อย่างไรก็ตามเนื่องจากคอลัมน์ที่เลือกมาใช้ในการทดลองนี้ไม่ได้มาจากบริษัทเดียวกัน และคอลัมน์ที่ใช้เป็นคอลัมน์แบบแคพิลารี ที่มีขนาดเส้นผ่านศูนย์กลางที่เล็กมาก แต่ละบริษัทมีกระบวนการและเทคนิคในการผลิตคอลัมน์แตกต่างกัน Jennings [15] ได้รายงานไว้ว่ากระบวนการผลิตคอลัมน์ถึงแม้มีการควบคุมคุณภาพอย่างดี แต่รัศมีของคอลัมน์อาจเบี่ยงเบนจากค่าที่กำหนดไว้ประมาณ ± 5 ไมโครเมตร และความหนาของฟิล์มที่เคลือบอาจจะคลาดเคลื่อนได้ร้อยละ ± 5 สำหรับคอลัมน์ที่ใช้กันในเชิงพาณิชย์ ดังนั้นความคลาดเคลื่อนของความหนาฟิล์ม และเส้นผ่านศูนย์กลางคอลัมน์อาจส่งผลต่อแยกสารและค่าเวลาคงค้างที่ได้ทำให้ค่าคงตัว a, b, c และ d และค่า ΔG_0 นั้นเกิดความคลาดเคลื่อนขึ้นได้

บทที่ 5 สรุปผลการทดลองและข้อเสนอแนะ

5.1 สรุปผลการทดลอง

จากการทดลองเมื่อนำค่าเวลาคงค้างของสารลิปิด กลุ่มไนโตรคาร์บอน กลุ่มไนมันเมทิลเอสเทอร์ และกลุ่มไนมันแอลกอฮอล์ ที่ได้จากการวิเคราะห์ด้วยคลอสัมน์ที่มีเปอร์เซ็นต์ไซยาโนโพรพิวต่างๆ กันนี้ มาคำนวณหาค่าคงตัว a, b, c และ d ของคลอสัมน์ โดยใช้สมการการคำนวณค่าเวลาคงค้างของสาร หรือจำนวนการรับอนของสาร ซึ่งเสนอโดย Krisnangkura และคณะ [3] (สมการ 2.36) พบว่าค่าคงตัวทั้ง 4 มีการเปลี่ยนแปลงต่างกันไปในแต่ละคลอสัมน์ และเมื่อนำค่าคงตัวทั้ง 4 (a, b, c และ d) มาวิเคราะห์ในรูปของค่าพลังงานอิสระพบว่าค่าพลังงานอิสระที่เกิดจากสารที่มีจำนวนการรับอนเท่ากับศูนย์ (ΔG_0) ของสารกลุ่มไนโตรคาร์บอนที่แยกบนคลอสัมน์ SP-2340, RTX-2330 DB-225, BP-10 และ ZB-1 ที่อุณหภูมิ 130°C จะได้ 2.426, 1.899, 0.444, -0.072 และ -0.085 kcal/mol ตามลำดับ ส่วนค่า ΔG_0 ของสารกลุ่มไนมันเมทิลเอสเทอร์ที่แยกบนคลอสัมน์ SP-2340, RTX-2330, DB-225, BP-10 และ ZB-1 ที่อุณหภูมิ 130°C จะได้ -0.387, -0.898, -2.094, -1.965 และ -1.693 kcal/mol ตามลำดับและ ΔG_0 ของกลุ่มไนมันแอลกอฮอล์ที่แยกบนคลอสัมน์ SP-2340, RTX-2330, DB-225, BP-10 และ ZB-1 ที่อุณหภูมิ 130°C จะได้ -1.365, -1.679, -1.708, -1.555 และ -1.129 kcal/mol ตามลำดับ ปรากฏว่ามีเพียงค่า ΔG_0 ของสารกลุ่มไนโตรคาร์บอนเท่านั้น ที่ลดลงตามสภาพขั้วคลอสัมน์ ส่วนสารกลุ่มไนมันเมทิลเอสเทอร์ และกลุ่มไนมันแอลกอฮอล์ที่ได้นั้น ไม่ได้เปลี่ยนแปลงตามสภาพความเป็นขั้วของคลอสัมน์ และที่อุณหภูมิ $140\text{--}200^{\circ}\text{C}$ ที่ให้ผลเช่นเดียวกัน จึงทำให้ยังไม่สามารถถือความสัมพันธ์ระหว่างเปอร์เซ็นต์ไซยาโนโพรพิวที่เป็นองค์ประกอบของวัสดุกานนิ่งภายในคลอสัมน์ หรือ สภาพความเป็นขั้วของคลอสัมน์ กับค่าพลังงานอิสระ เอนทัลปี และเอนโทรปีของการถ่ายเทจากสารละลายไปสู่แก๊ส โดยตรง

5.2 ข้อเสนอแนะ

5.2.1 จากการศึกษาที่ผ่านมา แม้ว่าจะใช้คลอสัมน์เดียวกัน ทำการหาค่าคงตัว a, b, c และ d ด้วยวิธีเดียวกันและคนเดียวกัน ค่าคงตัวทั้งสี่ที่ได้ยังแตกต่างกัน เนื่องจากลักษณะสมการ (2.36) เป็นสมการเชิงระบบ หากข้อมูลใดข้อมูลหนึ่งเปลี่ยนไปเพียงเล็กน้อย จะส่งผลให้ระบบขยับทั้งระบบ และค่าคงตัวที่ได้จะเปลี่ยนไปทั้งหมด ดังนั้นควรหาวิธีการปรับแก้ค่าคงตัว a, b, c และ d ให้สามารถใช้ได้ในค่าที่เท่ากันทุกรุ่นที่ทำการหาค่าคงตัวทั้งสี่เมื่อใช้คลอสัมน์เดียวกัน

5.2.2 ควรเลือกใช้ค่าเวลาคงค้างของสารตัวอย่าง (t_m) ที่คำนวณแล้วให้คำว่าอยละความผิดพลาด (%)Δ) น้อยที่สุดเพื่อความถูกต้องในการหาค่าคงตัวทางเทอร์โมไดนามิกส์ทั้ง 4 คือ a, b, c และ d ซึ่งจะมีผลต่อความผิดพลาดในการวิเคราะห์เอกสารลักษณ์ และค่าพลังงานอิสระที่คำนวณได้ ดังนั้นถ้าใช้ค่า t_m ที่มีความถูกต้องก็จะทำให้การวิเคราะห์ผลมีความถูกต้องแม่นยำมากขึ้น

5.2.3 ควรเลือกใช้สารมาตรฐานที่มีความยาว壽命ของการรับอนอะตอนสั้นๆ เพื่อเป็นการลดอิทธิพลของสายการรับอนอะตอนที่มีต่อหมู่ฟังก์ชันของสาร

5.2.4 ควรเลือกคลัมน์ที่จะใช้ในการศึกษาที่ผลิตขึ้นโดยบริษัทเดียวกัน เมื่อจากกระบวนการและเทคนิคในการผลิตคลัมน์ที่แตกต่างกันนั้นอาจส่งผลต่อค่าเวลาคงค้างของสารทำให้ค่า ΔG_0 ที่ได้เกิดความคลาดเคลื่อน และเลือกใช้คลัมน์ที่มีปีอร์เซ็นต์ไซยาโน โพรพิวท์มีปีอร์เซ็นต์ไม่ใกล้เคียงกันเกินไปเพื่อปรับเทียบผลการเปลี่ยนแปลงได้ชัดเจนขึ้น

เอกสารอ้างอิง

1. Becerra, M. R., Fernandez-Sanchez, E., Fernandez-Torres, A., Garcia-Dominguez, J. A. and Santiuste, J. M., 1991, "Evaluation of the effect of the cyanopropyl radical on the interaction of methylene group with silicone stationary phase", **Journal of Chromatography**, Vol.547, pp. 269-282.
2. Harynuk, J., Wynne, P. M. and Marriott, P. J., 2006, "Evaluation of new stationary phases for the separation of fatty acid methyl ester", **Chromatographia** , Vol 63 , pp. 61-66.
3. Krisnangkura, K., Tancharoon, A., Konko, C. and Jeyashoke, N., 1997, "An alternative method for the calculation of equivalent chain length or carbon number of fatty acid methyl esters in gas chromatography", **Journal of Chromatographic Science**, Vol.35, pp. 329-332.
4. James, A. T. and Martin, A. J. P., 1952, "Gas Liquid Partition Chromatography: The seperation and microestimation of volatile fatty acids from formic acid to dodecanoic acid", **Biochemical Journal**, Vol. 50, pp. 679-690.
5. คณิต กฎหมายธุรกิจ, 2538, **แก๊สไฮโดรเจนโซเดียม**, สถาบันเทคโนโลยีพระจอมเกล้าธนบุรี,หน้า 3-121.
6. Berezkin, V. G., 1991, **Gas-Liquid-Solid Chromatography**, Marcel dekker, Inc., New York, pp. 1-4.
7. Keulemans, A. I. M., **Gas Chromatography**, The Guinn co., Inc, New York, pp. 219-226.
8. พวรรณพิพัฒ์ ห่อศรีสัมพันธ์, **Gas Chromatography-Mass Spectrometry** [Online], Available: <http://www.gpo.or.th/dihtmlsgc.html>, [2007, July 12].
9. Bartle, K. D. and Myer, P., 2002, "History of gas chromatography", **Trends in Analytical Chemistry**, Vol.21, pp.547-557.
10. แม่น อุ่มรติพิทักษ์ และอมร เพชรสุม, 2534, **Principles and Techniques of Instrumental Analysis**, โรงพิมพ์ชวนพิมพ์, กรุงเทพฯ, หน้า 830-847.
11. Jennings, W., Mittlefehldt, E. and Stremple, P., 1997, "**Analytical gas chromatography 2nd Ed.**", Academic Press, San Diego, p.17.
12. Grant, D. W., 1996, **Capillary Gas Chromatography**, John Wiley & Sons Inc., England, pp. 2-4.
13. Punrattanasin, W and Spida, C., 1997, **Gas Chromatography** [Online], Available: <http://www.ewr.cee.vt.edu/environmental/tech/smprimer/gc.html>, [2007, December 12].

14. Sheffield Hallam University, 2005, **Detector** [Online], Available: <http://www.shu.ac.uk/school/sci/chem/tutorials/chrom/gaschrm.html>, [2007, December 6].
15. Smith, R. M., 1988, **Gas and Liquid Chromatography in Analytical Chemistry**, John Wiley & Sons Inc., England, pp. 71-87.
16. วสุพร ตันติภูมิวงศ์ชัย, 2549, “การเคลื่อนแปรพิสูตรีกอสัมณ์สำหรับแก๊ส-สิควิดโตรามาตอกราฟีเจ็น ใช้อ่อง”, วิทยานิพนธ์ปริญญาวิทยาศาสตรมหาบัณฑิต สาขาวิชาเทคโนโลยีชีวเคมี คณะทรัพยากรีเวภาพและเทคโนโลยี มหาวิทยาลัยเทคโนโลยีพระจอมเกล้าธนบุรี, หน้า 5-6.
17. McReynolds, W. O., 1970, **Journal of Chromatographic Science**, Vol.8, pp.685. Wray, L. W. and Roobert, F. M., 1978, “Laboratory preparation and applications of modified carbowax 20M bonded support to the gas chromatography of pesticides”, **Journal of Chromatography A**, Vol.153, pp.409-421.
18. Huskins, D. J., 1997, **Gas Chromatographys as Industrial Process Analysers**, Adam Hilger Ltd., Bristol, pp. 34-38.
19. Scott, R. P.W., **Gas Chromatography** [Online], Available: <http://www.chromatography-online.org>, [2007, September 19].
20. Kovats, E., 1958, “Gas chromatographic characterization of organic compounds: Part 1. Retention indexes of aliphatic halides, alcohols, aldehydes and ketones”, **Helv. Chim. Acta**, Vol. 41, pp. 1915-1935.
21. Miwa, T. K., Micolajczak, K. L., Earle, F. R. and Wolff, I. A., 1960. “Gas chromatographic characterization of fatty acid identification constants for mono-dicarboxylic methyl ester”, **Analytical Chemistry**, Vol.32, pp. 1739-1742.
22. Wood, ford. P. and vanGent, C. M., 1960, “ Gas liquid chromatography of fatty acid methyester: the carbon-number as a parameter for comparison of column”, **Journal Lipid Research**, Vol. 1, pp. 188-190.
23. มนตรี จุฬาลงกรณ์ และคณะ, 2542, **ชีวเคมี**, ภาควิชาชีวเคมี คณะวิทยาศาสตร์ มหาวิทยาลัยมหิดล, หน้า 55.
24. นิธยา รัตนานนท์, 2529, **วิทยาศาสตร์การอาหารของไขมันและน้ำมัน**, มหาวิทยาลัยเชียงใหม่, หน้า 1-60.
25. ด้วง พุชศุกร์, 2534, **ไขมันและเคมีภัณฑ์จากไขมัน**, มหาวิทยาลัยเชียงใหม่, หน้า 23-28.
26. Richter, B. E., Kuei, J. C., Castle, L. W., Jones, B. A., Bradshaw, J. S. and Lee, M. L., 1983, “Nonextractable cyanopropyl polysiloxane stationary phases for capillary

- chromatography”, **Chromatographia**, Vol. 17, pp. 570-573.
27. Dorbon, M., Lamaison, S. and Chevalier, A., 1991, “Simulated distillation of distillates on capillary columns : influence of the polarity of the stationary phase”, **Journal of Chromatography**, Vol. 557, pp. 155-162.
 28. Batta, A. K., Aggarwal, S. K., Mirchandani, R., Shefer, S. and Salen, G., 1992, “Capillary gas-liquid chromatographic separation of bile alcohols”, **Journal of Lipid Research**, Vol. 33, pp.1403-1407.
 29. Tokamolthom, J., Chen, S. T., Jeyashoke, N. and Krisnangkura, K., 2002, “Gas Chromatographic separation of R/S- α hydroxyl fatty acid esters”, **Analytical Chimica Acta**, Vol. 465, pp. 299-307.
 30. Melander, W., Cambell, D. E and Horvath, C., 1978, “Enthalpy-entropy compensation in Reversed-Phase Chromatography”, **Journal of Chromatography**, Vol. 158, pp. 215-225.
 31. Melander, W., Chen, B. K. and Horvath, C., 1979, “Mobile phase effects in Reversed-Phase Chromatography Concomitant dependence of retention on column temperature and eluent composition”, **Journal of Chromatography**, Vol. 185, pp. 99-109.
 32. Yonker, C.R. and Smith, R. D., 1986, “Effect of density on enthalpy and entropy of transfer of Supercritical Fluid Chromatography”, **Journal of Chromatography**, Vol. 351, pp., No.2, pp. 211-218.
 33. อัญชนาณ ตันจรุณ, 2538, “การใช้ค่าเอนทัลปีของการละลายในการวิเคราะห์เอกลักษณ์สารในแก๊สโกรมาโทกราฟี”, วิทยานิพนธ์ปริญญาวิทยาศาสตร์มหาบัณฑิตสาขาวิชาเทคโนโลยีชีวภาพ คณะทรัพยากรชีวภาพและเทคโนโลยี มหาวิทยาลัยเทคโนโลยีพระจอมเกล้าธนบุรี, หน้า 1-40.
 34. Tu, C.-H. and Liu, C.-P., 1996, “Group-contribution estimation of the enthalpy of vaporization of organic compounds”, **Fluid Phase Equilibria**, Vol. 121, pp. 45-65.
 35. อนรรฆอร ศรีไสวเพชร, กรณ์กนก อายุสุข, คณิต กฤณัณรงค์ และ สุภัตรา ลิลิตาณย, 2550, “ความสัมพันธ์ระหว่างความดันไออกโนทัลปีของการกลایเป็นไออกโนและเอนทัลปีของการเปลี่ยนสภาพจากสารละลายเป็นแก๊ส”, วารสารศูนย์เครื่องมือวิจัยวิทยาศาสตร์และเทคโนโลยี, เล่มที่ 15, หน้า 56-72.
 36. สุวินด นิลรัตน์วิศวกร, 2541, การวิเคราะห์เอกลักษณ์สารสีปิดด้วยแก๊สโกรมาโทกราฟีโดยไม่ใช้สารอ้างอิง : ผลกระทบของความยาวคลื่น, วิทยานิพนธ์ปริญญาวิทยาศาสตร์มหาบัณฑิตสาขาวิชาเทคโนโลยีชีวเคมี คณะทรัพยากรชีวภาพและเทคโนโลยี มหาวิทยาลัยเทคโนโลยีพระจอมเกล้าธนบุรี, หน้า 18-85.

37. Kittiratanapiboon, K., Jeyashoke, N. and Krisnangkura, K., 1998, "Forecasting retention times of fatty acid methyl ester in temperature-programed gas chromatography", **Journal of Chromatographic Science**, Vol.36, pp. 541-546.
38. ศิริศักดิ์ ประสิตธีสรรศ, 2544, "ผลกระบวนการแก้ตัวพาต่อการวิเคราะห์เอกลักษณ์โดยด้วยแก๊ส โคลน่าโtotرافีโดยไม่ใช้สารอ้างอิง", วิทยานิพนธ์ปริญญาวิทยาศาสตรมหาบัณฑิต สาขาวิชา เทคโนโลยีชีวเคมี คณะทรัพยากรชีวภาพและเทคโนโลยี มหาวิทยาลัยเทคโนโลยีพระจอมเกล้า ชลบุรี, หน้า 87-88.
39. Aryusuk, K., 2004, "**Application of thermodynamic parameters in gas chromatographic retention and GCxGC**", Thesis for Degree of Philosophy, Biochemical Division, School of Bioresources and Technology, King Mongkut's University of Technology Thonburi, pp. 146-148.
40. Guardino, X., Albaiges, J., Firpo, G., Rodriguez-Vinal, R and Gassiot, M., 1976, "Accuracy in the determination of the Kovats retention index", **Journal of Chromatographic**, Vol.118, pp. 13-22.

ภาคผนวก

ก. ตารางค่าเวลาคงค้างไม่ปรับแก้ของสารกลุ่มไฮโดรคาร์บอน กลุ่มกรด ไขมันเมทิลเอสเทอร์ และกลุ่มไขมันแอลกอฮอล์ ที่แยกบนคอลัมน์ SP-2340, RTX-2330, DB-225, BP-10 และ ZB-1

ตารางที่ ก.1 แสดงค่าเวลาคงค้างไม่ปรับแก้ของสารมาตรฐานกลุ่มไฮโดรคาร์บอน (*n*-alkanes) ที่แยกบนคอลัมน์ SP-2340 ที่อุณหภูมิ 130-150 องศาเซลเซียส

| จำนวนคาร์บอน | ค่าเวลาคงค้างไม่ปรับแก้ | | | | |
|--------------|-------------------------------------|--------|--------|--------|--------|
| | (unadjusted retention time; t_R) | 130 °C | 135 °C | 140 °C | 145 °C |
| 16 | | 2.976 | 2.774 | 2.619 | 2.495 |
| 17 | | 3.736 | 3.375 | 3.098 | 2.881 |
| 18 | | 5.007 | 4.361 | 3.87 | 3.497 |
| 19 | | 7.119 | 5.983 | 5.125 | 4.481 |
| 20 | | 10.694 | 8.695 | 7.174 | 6.068 |
| 21 | | 16.758 | 13.175 | 10.533 | 8.636 |
| 22 | | 26.578 | 20.599 | 16.019 | 12.829 |
| | | | | | 10.199 |

ตารางที่ ก.2 แสดงค่าเวลาคงค้างไม่ปรับแก้ของสารมาตรฐานกลุ่มกรดไขมันเมทิลเอสเทอร์ (FAMEs) ที่แยกบนคอลัมน์ SP-2340 ที่อุณหภูมิ 180-200 องศาเซลเซียส

| จำนวนคาร์บอน | ค่าเวลาคงค้างไม่ปรับแก้ | | | | |
|--------------|-------------------------------------|--------|--------|--------|--------|
| | (unadjusted retention time; t_R) | 180 °C | 185 °C | 190 °C | 195 °C |
| 16 | | 3.915 | 3.605 | 3.355 | 3.157 |
| 18 | | 5.611 | 4.972 | 4.463 | 4.065 |
| 19 | | 6.976 | 6.057 | 5.331 | 4.768 |
| 20 | | 8.886 | 7.563 | 6.523 | 5.721 |
| 22 | | 15.329 | 12.576 | 10.438 | 8.823 |
| | | | | | 7.554 |

ตารางที่ ก.3 แสดงค่าเวลาคงค้างไม่ปรับแก้ของสารมาตรฐานกลุ่มไขมันแอลกอฮอล์ (fatty alcohols) ที่แยกบนคอลัมน์ SP-2340 ที่อุณหภูมิ 180-200 องศาเซลเซียส

| จำนวนคาร์บอน | ค่าเวลาคงค้างไม่ปรับแก้ | | | | |
|--------------|-------------------------------------|--------|--------|--------|--------|
| | (unadjusted retention time; t_R) | | | | |
| | 180 °C | 185 °C | 190 °C | 195 °C | 200 °C |
| 12 | 2.928 | 2.798 | 2.693 | 2.609 | 2.535 |
| 14 | 3.718 | 3.452 | 3.236 | 3.062 | 2.916 |
| 16 | 5.140 | 4.606 | 4.180 | 3.839 | 3.559 |
| 18 | 7.740 | 6.679 | 5.850 | 5.189 | 4.661 |
| 20 | 12.626 | 10.497 | 8.869 | 7.588 | 6.597 |
| 22 | 22.171 | 17.855 | 14.590 | 12.068 | 10.119 |

ตารางที่ ก.4 แสดงค่าเวลาคงค้างไม่ปรับแก้ของสารมาตรฐานกลุ่มไฮโดรคาร์บอน (*n*-alkanes) ที่แยกบนคอลัมน์ RTX-2330 ที่อุณหภูมิ 130-150 องศาเซลเซียส

| จำนวนคาร์บอน | ค่าเวลาคงค้างไม่ปรับแก้ | | | | |
|--------------|-------------------------------------|--------|--------|--------|--------|
| | (unadjusted retention time; t_R) | | | | |
| | 130 °C | 135 °C | 140 °C | 145 °C | 150 °C |
| 16 | 2.345 | 2.244 | 2.156 | 2.097 | 2.046 |
| 17 | 2.702 | 2.526 | 2.38 | 2.278 | 2.192 |
| 18 | 3.259 | 2.959 | 2.718 | 2.546 | 2.406 |
| 19 | 4.109 | 3.613 | 3.221 | 2.940 | 2.715 |
| 20 | 5.461 | 4.635 | 3.993 | 3.535 | 3.178 |
| 21 | 7.541 | 6.182 | 5.15 | 4.415 | 3.852 |
| 22 | 10.869 | 8.630 | 6.951 | 5.767 | 4.876 |

ตารางที่ ก.5 แสดงค่าเวลาคงค้างไม่ปรับแก้ของสารมาตรฐานกลุ่มกรดไขมันเมทิลเอสเทอร์ (FAMEs) ที่แยกบนคอลัมน์ RTX-2330 ที่อุณหภูมิ 180-200 องศาเซลเซียส

| จำนวนคาร์บอน | ค่าเวลาคงค้างไม่ปรับแก้ | | | | | |
|--------------|-------------------------------------|--------|--------|--------|--------|--------|
| | (unadjusted retention time; t_R) | 180 °C | 185 °C | 190 °C | 195 °C | 200 °C |
| 16 | | 3.297 | 3.067 | 2.882 | 2.735 | 2.612 |
| 18 | | 4.412 | 3.958 | 3.6 | 3.317 | 3.085 |
| 19 | | 5.255 | 4.624 | 4.129 | 3.740 | 3.425 |
| 20 | | 6.378 | 5.507 | 4.822 | 4.290 | 3.861 |
| 22 | | 9.890 | 8.209 | 6.922 | 5.926 | 5.143 |

ตารางที่ ก.6 แสดงค่าเวลาคงค้างไม่ปรับแก้ของสารมาตรฐานกลุ่มไขมันเออลกอฮอล์ (fatty alcohols) ที่แยกบนคอลัมน์ RTX-2330 ที่อุณหภูมิ 180-200 องศาเซลเซียส

| จำนวนคาร์บอน | ค่าเวลาคงค้างไม่ปรับแก้ | | | | | |
|--------------|-------------------------------------|--------|--------|--------|--------|--------|
| | (unadjusted retention time; t_R) | 180 °C | 185 °C | 190 °C | 195 °C | 200 °C |
| 12 | | 2.65 | 2.546 | 2.461 | 2.392 | 2.338 |
| 14 | | 3.27 | 3.057 | 2.882 | 2.744 | 2.632 |
| 16 | | 4.348 | 3.929 | 3.590 | 3.322 | 3.107 |
| 18 | | 6.211 | 5.408 | 4.769 | 4.269 | 3.872 |
| 20 | | 9.446 | 7.936 | 6.744 | 5.83 | 5.112 |
| 22 | | 15.273 | 12.394 | 10.166 | 8.487 | 7.183 |

ตารางที่ ก.7 แสดงค่าเวลาคงค้างไม่ปรับแก้ของสารมาร์ตรฐานกลุ่มไฮโดรคาร์บอน (*n*-alkanes) ที่แยกบนคอลัมน์ DB-225 ที่อุณหภูมิ 130-150 องศาเซลเซียส

| จำนวนคาร์บอน | ค่าเวลาคงค้างไม่ปรับแก้ | | | | | |
|--------------|-------------------------------------|--------|--------|--------|--------|--------|
| | (unadjusted retention time; t_R) | 130 °C | 135 °C | 140 °C | 145 °C | 150 °C |
| 16 | | 7.026 | 6.087 | 5.349 | 4.752 | 4.264 |
| 17 | | 10.253 | 8.651 | 7.394 | 6.397 | 5.596 |
| 18 | | 15.421 | 12.692 | 10.584 | 8.927 | 7.621 |
| 19 | | 23.636 | 19.057 | 15.533 | 12.815 | 10.69 |
| 20 | | 36.688 | 28.994 | 23.225 | 18.772 | 15.332 |
| 21 | | 57.302 | 44.530 | 35.076 | 27.840 | 22.324 |
| 22 | | 89.768 | 68.856 | 53.326 | 41.651 | 32.882 |

ตารางที่ ก.8 แสดงค่าเวลาคงค้างไม่ปรับแก้ของสารมาร์ตรฐานกลุ่มกรดไขมันเมทิลเอสเตอร์ (FAMEs) ที่แยกบนคอลัมน์ DB-225 ที่อุณหภูมิ 180-200 องศาเซลเซียส

| จำนวนคาร์บอน | ค่าเวลาคงค้างไม่ปรับแก้ | | | | | |
|--------------|-------------------------------------|--------|--------|--------|--------|--------|
| | (unadjusted retention time; t_R) | 180 °C | 185 °C | 190 °C | 195 °C | 200 °C |
| 16 | | 10.022 | 8.636 | 7.532 | 6.540 | 5.814 |
| 18 | | 18.493 | 15.406 | 12.981 | 10.852 | 9.293 |
| 19 | | 25.558 | 20.960 | 17.407 | 14.275 | 12.049 |
| 20 | | 35.494 | 28.743 | 23.55 | 19.012 | 15.790 |
| 22 | | 69.293 | 54.833 | 43.640 | 34.334 | 27.819 |

ตารางที่ ก.9 แสดงค่าเวลาคงค้างไม่ปรับแก้ของสารมาตรฐานกลุ่มไขมันแอลกอฮอล์ (fatty alcohols) ที่แยกบนคอลัมน์ DB-225 ที่อุณหภูมิ 180-200 องศาเซลเซียส

| จำนวนคาร์บอน | ค่าเวลาคงค้างไม่ปรับแก้ (unadjusted retention time; t_R) | | | | |
|--------------|--|--------|--------|--------|--------|
| | 180 °C | 185 °C | 190 °C | 195 °C | 200 °C |
| 12 | 4.172 | 3.854 | 3.583 | 3.367 | 3.183 |
| 14 | 6.676 | 5.923 | 5.290 | 4.803 | 4.370 |
| 16 | 11.829 | 10.099 | 8.666 | 7.594 | 6.635 |
| 18 | 22.330 | 18.470 | 15.289 | 12.980 | 10.932 |
| 20 | 43.650 | 35.079 | 28.193 | 23.250 | 18.997 |
| 22 | 86.890 | 68.189 | 53.130 | 42.745 | 34.239 |

ตารางที่ ก.10 แสดงค่าเวลาคงค้างไม่ปรับแก้ของสารมาตรฐานกลุ่มไฮโดรคาร์บอน (*n*-alkanes) ที่แยกบนคอลัมน์ BP-10 ที่อุณหภูมิ 130-150 องศาเซลเซียส

| จำนวนคาร์บอน | ค่าเวลาคงค้างไม่ปรับแก้ (unadjusted retention time; t_R) | | | | |
|--------------|--|---------|--------|--------|--------|
| | 130 °C | 135 °C | 140 °C | 145 °C | 150 °C |
| 16 | 20.963 | 17.363 | 14.245 | 11.738 | 9.849 |
| 17 | 34.536 | 28.002 | 22.474 | 18.123 | 14.868 |
| 18 | 57.407 | 45.721 | 36.005 | 28.480 | 22.928 |
| 19 | 95.972 | 75.084 | 58.186 | 45.214 | 35.787 |
| 20 | 160.662 | 123.761 | 94.423 | 72.240 | 56.328 |

ตารางที่ ก.11 แสดงค่าเวลาคงค้างไม่ปรับแก้ของสารมาตรฐานกลุ่มกรดไขมันเมทิลเอสเทอร์ (FAMEs) ที่แยกบน kolamn BP-10 ที่อุณหภูมิ 180-200 องศาเซลเซียส

| จำนวนคาร์บอน | ค่าเวลาคงค้างไม่ปรับแก้ | | | | | |
|--------------|-------------------------------------|---------|--------|--------|--------|--------|
| | (unadjusted retention time; t_R) | 180 °C | 185 °C | 190 °C | 195 °C | 200 °C |
| 16 | 15.585 | 13.492 | 11.274 | 9.761 | 8.455 | |
| 18 | 32.636 | 27.491 | 22.184 | 18.563 | 15.529 | |
| 19 | 47.779 | 39.756 | 31.581 | 25.998 | 21.452 | |
| 20 | 70.295 | 57.762 | 45.228 | 36.772 | 29.945 | |
| 22 | 152.441 | 122.675 | 93.800 | 74.252 | 58.909 | |

ตารางที่ ก.12 แสดงค่าเวลาคงค้างไม่ปรับแก้ของสารมาตรฐานกลุ่มไขมันแอลกอฮอล์ (fatty alcohols) ที่แยกบน kolamn BP-10 ที่อุณหภูมิ 180-200 องศาเซลเซียส

| จำนวนคาร์บอน | ค่าเวลาคงค้างไม่ปรับแก้ | | | | | |
|--------------|-------------------------------------|---------|--------|--------|--------|--------|
| | (unadjusted retention time; t_R) | 180 °C | 185 °C | 190 °C | 195 °C | 200 °C |
| 12 | 4.277 | 3.969 | 3.664 | 3.42 | 3.212 | |
| 14 | 7.558 | 6.713 | 5.936 | 5.329 | 4.805 | |
| 16 | 14.938 | 12.764 | 10.833 | 9.376 | 8.112 | |
| 18 | 31.445 | 25.985 | 21.333 | 17.913 | 14.951 | |
| 20 | 67.861 | 54.688 | 43.665 | 35.733 | 28.973 | |
| 22 | 148.004 | 116.502 | 85.264 | 72.808 | 57.671 | |

ตารางที่ ก.13 แสดงค่าเวลาคงค้างไม่ปรับแก้ของสารมาตรฐานกลุ่มไฮโดรคาร์บอน (*n*-alkanes) ที่แยกบนคอลัมน์ ZB-1 ที่อุณหภูมิ 130-150 องศาเซลเซียส

| จำนวนคาร์บอน | ค่าเวลาคงค้างไม่ปรับแก้ (unadjusted retention time; t_R) | | | | |
|--------------|--|--------|--------|--------|--------|
| | 130 °C | 135 °C | 140 °C | 145 °C | 150 °C |
| 16 | 12.573 | 10.342 | 8.86 | 7.552 | 6.501 |
| 17 | 20.135 | 16.100 | 13.467 | 11.172 | 9.356 |
| 18 | 32.900 | 25.688 | 21.031 | 17.038 | 13.926 |
| 19 | 54.367 | 41.461 | 33.379 | 26.491 | 21.212 |
| 20 | 90.528 | 67.731 | 53.518 | 41.733 | 32.803 |

ตารางที่ ก.14 แสดงค่าเวลาคงค้างไม่ปรับแก้ของสารมาตรฐานกลุ่มกรดไขมันเมธิเลอสเทอโร่ (FAMEs) ที่แยกบนคอลัมน์ ZB-1 ที่อุณหภูมิ 180-200 องศาเซลเซียส

| จำนวนคาร์บอน | ค่าเวลาคงค้างไม่ปรับแก้ (unadjusted retention time; t_R) | | | | |
|--------------|--|--------|--------|--------|--------|
| | 180 °C | 185 °C | 190 °C | 195 °C | 200 °C |
| 16 | 7.707 | 6.711 | 5.907 | 5.269 | 4.743 |
| 18 | 14.901 | 12.445 | 10.491 | 8.973 | 7.740 |
| 19 | 21.284 | 17.445 | 14.452 | 12.121 | 10.253 |
| 20 | 30.717 | 24.789 | 20.179 | 16.647 | 13.831 |
| 22 | 65.145 | 51.182 | 40.493 | 32.406 | 26.135 |

ตารางที่ ก.15 แสดงค่าเวลาคงค้าง ไม่ปรับแก้ของสารมาตรฐานกลุ่มไขมันและกอ肖ล์
(fatty alcohols) ที่แยกบนคอลัมน์ ZB-1 ที่อุณหภูมิ 180-200 องศาเซลเซียส

| จำนวนคาร์บอน | ค่าเวลาคงค้าง ไม่ปรับแก้ | | | | |
|--------------|--------------------------|--------|--------|--------|--------|
| | 180 °C | 185 °C | 190 °C | 195 °C | 200 °C |
| 12 | 2.797 | 2.694 | 2.605 | 2.529 | 2.465 |
| 14 | 3.991 | 3.694 | 3.444 | 3.237 | 3.064 |
| 16 | 6.670 | 5.894 | 5.254 | 4.733 | 4.305 |
| 18 | 12.662 | 10.711 | 9.136 | 7.880 | 6.866 |
| 20 | 25.882 | 21.137 | 17.382 | 14.439 | 12.096 |
| 22 | 54.945 | 43.77 | 34.969 | 28.138 | 22.833 |

ภาคผนวก

- ข. ตารางเปรียบเทียบค่าเวลาคงค้างที่ได้จากการคำนวณกับค่าเวลาคงค้างจากการทดลองของสารกลุ่มไฮโดรคาร์บอน กลุ่มกรดไฮมันเมทิลเอสเทอร์ และกลุ่มไฮมันแอลกอฮอล์

ตารางที่ ๔.1 บีริชันเทียบค่าเวลาคงค้างที่ได้จากการคำนวณกับค่าเวลาคงค้างจากการทดสอบของสารกุ่มไฮโดรคาร์บอน (*n*-alkanes) C₁₆-C₂₂ ที่เมบิกนคอมพิวเตอร์ SP-2340 ที่อุณหภูมิ 130-150 องศาเซลเซียส

| Z | Temperature | | | | | | | | | | | |
|-----|-------------|-------|-------|-------|-------|---------------------------------|---------------------------------|---------------------------------|---------------------------------|---------------------------------|-------|-------|
| | 130°C | 135°C | 140°C | 145°C | 150°C | (<i>t_M</i> = 1.876) | (<i>t_M</i> = 1.866) | (<i>t_M</i> = 1.864) | (<i>t_M</i> = 1.851) | (<i>t_M</i> = 1.851) | | |
| Exp | Cal | %Δ | Exp | Cal | %Δ | Exp | Cal | %Δ | Exp | Cal | | |
| 16 | 2.98 | 2.96 | -0.54 | 2.77 | 2.78 | 0.11 | 2.62 | 2.62 | -0.08 | 2.50 | 2.49 | -0.15 |
| 17 | 3.74 | 3.71 | -0.71 | 3.38 | 3.37 | -0.07 | 3.10 | 3.10 | -0.26 | 2.88 | 2.87 | -0.42 |
| 18 | 5.01 | 4.97 | -0.84 | 4.36 | 4.36 | -0.10 | 3.87 | 3.86 | -0.25 | 3.50 | 3.48 | -0.60 |
| 19 | 7.12 | 7.07 | -0.70 | 5.98 | 5.99 | -0.01 | 5.13 | 5.12 | -0.18 | 4.48 | 4.45 | -0.64 |
| 20 | 10.69 | 10.60 | -0.92 | 8.70 | 8.67 | -0.31 | 7.17 | 7.16 | -0.16 | 6.07 | 6.02 | -0.76 |
| 21 | 16.76 | 16.50 | -1.52 | 13.18 | 13.11 | -0.52 | 10.53 | 10.50 | -0.35 | 8.64 | 8.55 | -1.05 |
| 22 | 26.58 | 26.41 | -0.65 | 20.60 | 20.44 | -0.78 | 16.02 | 15.93 | -0.55 | 12.83 | 12.60 | -1.77 |

t_M เป็นค่าคงนิยมโดยใช้ของ Guardino และค่าจะ [40] Exp เป็นค่าคงค้างที่ได้จากการทดสอบ Cal เป็นค่าคงค้างที่ได้จากการคำนวณ
%Δ เป็นค่าร้อยละความผิดพลาดของค่าคงค้างที่ได้จากการคำนวณเปรียบเทียบกับค่าที่ได้จากการทดสอบ

เมื่อนำสมการ (4.1) ไปทำนายค่าเวลาคงค้างสารที่ระบุของจากเอกสารอ้อม SP-2340 ที่อุณหภูมิตาม
ให้ผลแสดงดังตารางที่ ๔.๑ ผลการทำนายให้ค่าคงค้างที่ได้คำนวณ ๐.๒๓ นาทีหรือคิดเป็นร้อยละ ๑.๗๗

ตารางที่ บ.2 เปรียบเทียบค่าเวลาคงค้างที่ได้จากการคำนวณกับค่าวิเคราะห์ทางการค้าของสารกู้เมืองกรดไข้น้ำนมตีโคลเทอร์ (FAMES) C₁₆-C₂₂ ที่แยกน้ำมัน SP-2340 ที่อุณหภูมิ 180-200 องศาเซลเซียส

| Z | Temperature | | | | | | Temperature | | | | | | | | |
|-------------------------|-------------|-------|-------------------------|-------|-------|-------------------------|-------------|-------|-------------------------|-------|------|-------------------------|------|------|-------|
| | 180°C | | | 185°C | | | 190°C | | | 195°C | | | | | |
| (t _M =2.138) | | | (t _M =2.120) | | | (t _M =2.103) | | | (t _M =2.093) | | | (t _M =2.088) | | | |
| | Exp | Cal | %Δ | Exp | Cal | %Δ | Exp | Cal | %Δ | Exp | Cal | %Δ | Exp | Cal | %Δ |
| 16 | 3.92 | 3.91 | -0.22 | 3.61 | 3.60 | -0.05 | 3.36 | 3.35 | -0.09 | 3.16 | 3.15 | -0.16 | 2.99 | 2.99 | -0.10 |
| 18 | 5.61 | 5.58 | -0.48 | 4.97 | 4.96 | -0.26 | 4.46 | 4.45 | -0.24 | 4.07 | 4.05 | -0.35 | 3.74 | 3.73 | -0.28 |
| 19 | 6.98 | 6.95 | -0.39 | 6.06 | 6.05 | -0.15 | 5.33 | 5.33 | -0.12 | 4.77 | 4.76 | -0.28 | 4.31 | 4.30 | -0.25 |
| 20 | 8.89 | 8.85 | -0.36 | 7.56 | 7.55 | -0.12 | 6.52 | 6.52 | -0.03 | 5.72 | 5.71 | -0.15 | 5.08 | 5.07 | -0.23 |
| 22 | 15.33 | 15.23 | -0.66 | 12.58 | 12.52 | -0.43 | 10.44 | 10.41 | -0.24 | 8.82 | 8.78 | -0.44 | 7.55 | 7.51 | -0.55 |

ในค่าความโอลิวีร์ของ Guardino และคอลลัส [40] Exp เป็นค่าเวลาคงที่ตัวจากการทดลอง Cal เป็นค่าเวลาคงที่ตัวจากการคำนวณ %A คือ % ร้อยละความผิดพลาดของเวลาคงที่ตัวจากการคำนวณโดยทั่วไปคุณที่ตัวจากการทดลอง

เมื่อนำมาตรวจทางการ (4.2) ปะทันยังค่าวอลต์ดังต่อไปนี้ ที่จะออกจากคอมพิวเตอร์ SP-2340 ที่อยู่บนห้องมิต่างๆ ให้ผลและต่อตัวรวมที่ บ.2 ผลการท่านนำไปใช้คำศัพด์เดิมก็คือหน้างานสูงสุด 0.10 นาทีที่หารือดีเป็นรันรึจะลดลง 0.66

ตารางที่ 4.3 ประยุกต์เบรนด์วอลต้าคงค่าไฟฟ้าจากการคำนวณกับค่าเวลาคงค่าไฟฟ้าของสารต่ำๆ อยู่ในแอลกอฮอล์ (fatty alcohols) $C_{12}\text{-}C_{22}$
ที่เมเทบูนคลอสัม SP-2340 ที่อุณหภูมิ 180-200 องศาเซลเซียส

| Z | Temperature | | | | | | | | | | |
|----|--------------------------|--------------------------|--------------------------|--------------------------|--------------------------|-------|-------|-------|-------|-------|-------|
| | 180°C ($t_M=2.041$) | 185°C ($t_M=2.035$) | 190°C ($t_M=2.035$) | 195°C ($t_M=2.038$) | 200°C ($t_M=2.036$) | Cal | %Δ | Exp | Cal | %Δ | |
| 12 | 2.93 | 2.93 | 0.00 | 2.80 | 2.60 | -0.03 | 2.69 | 2.69 | 0.04 | 2.61 | 0.06 |
| 14 | 3.72 | 3.69 | -0.75 | 3.45 | 3.43 | -0.70 | 3.24 | 3.22 | -0.52 | 3.06 | 3.05 |
| 16 | 5.14 | 5.12 | -0.64 | 4.61 | 4.58 | -0.55 | 4.18 | 4.16 | -0.40 | 3.84 | 3.83 |
| 18 | 7.74 | 7.74 | -0.02 | 6.68 | 6.69 | 0.13 | 5.85 | 5.86 | 0.16 | 5.19 | 5.20 |
| 20 | 12.63 | 12.64 | -0.12 | 10.50 | 10.54 | 0.38 | 8.87 | 8.91 | 0.43 | 7.59 | 7.63 |
| 22 | 22.17 | 21.75 | -1.90 | 17.86 | 17.86 | -1.58 | 14.59 | 14.39 | -1.41 | 12.07 | 11.92 |
| | | | | | | | | | | -1.26 | 10.12 |
| | | | | | | | | | | | 9.96 |
| | | | | | | | | | | | -1.62 |

t_M เป็นค่าคงวน โดยวิธีของ Guardino และคณิต [40] Exp เป็นค่าเวลาคงค่าไฟฟ้าจากการทดสอบ
 $\%Δ$ เป็นค่าร้อยละความผิดพลาดของค่าเวลาคงค่าไฟฟ้าจากการคำนวณและค่าที่ได้จากการทดสอบ

เมื่อนำสมการ (4.3) ไปคำนวณค่าเวลาคงค่าไฟฟ้าสารที่ใช้ออกซากออลิฟน์ SP-2340 ที่อุณหภูมิ 180°C
 ให้ผลแสดงดังตารางที่ 4.3 ผลการคำนายนี้คำนวณโดยตั้งค่า t_M ที่ 0.42 นาทีหรือคิดเป็นร้อยละ 1.90

ตารางที่ 4.4 ปริมาณเทียนค่าวัสดุคงคลังที่ได้จากการคำนวณกับค่าวัสดุคงคลังจากการทดสอบของรายการดูมิโดยราบบอน (*n*-alkanes) C₁₆-C₂₂ ที่แยกโดยเครื่อง RTX-2330 ที่อุณหภูมิ 130-150 องศาเซลเซียส

| Z | Temperature | | | | | | | | | | | |
|----|----------------------------------|-------|-------|-----------------------------------|------|-------|----------------------------------|------|-------|-----------------------------------|------|-------|
| | 130°C (t _M =1.713) | | | 135°C (t _M = 1.723) | | | 140°C (t _M =1.724) | | | 145°C (t _M = 1.734) | | |
| | Exp | Cal | %Δ | Exp | Cal | %Δ | Exp | Cal | %Δ | Exp | Cal | %Δ |
| 16 | 2.35 | 2.34 | -0.24 | 2.24 | 2.24 | -0.06 | 2.16 | 2.15 | -0.08 | 2.10 | 2.10 | -0.10 |
| 17 | 2.70 | 2.69 | -0.45 | 2.53 | 2.52 | -0.18 | 2.38 | 2.38 | -0.26 | 2.28 | 2.24 | -0.24 |
| 18 | 3.26 | 3.24 | -0.70 | 2.96 | 2.95 | -0.32 | 2.72 | 2.71 | -0.25 | 2.55 | 2.54 | -0.32 |
| 19 | 4.11 | 4.09 | -0.51 | 3.61 | 3.61 | -0.16 | 3.22 | 3.22 | -0.05 | 2.94 | 2.93 | -0.21 |
| 20 | 5.46 | 5.42 | -0.81 | 4.64 | 4.62 | -0.38 | 3.99 | 3.99 | -0.16 | 3.54 | 3.53 | -0.30 |
| 21 | 7.54 | 7.49 | -0.70 | 6.18 | 6.17 | -0.20 | 5.15 | 5.15 | -0.35 | 4.42 | 4.41 | -0.20 |
| 22 | 10.87 | 10.72 | -1.38 | 8.63 | 8.55 | -0.89 | 6.95 | 6.91 | -0.55 | 5.77 | 5.72 | -0.77 |
| | | | | | | | | | | | | |

5.4 ปืนกำลังวัสดุโดยรีชอร์ช Guardino และดักแด้ [40] Exp [ปืนกำลังวัสดุคงคลังที่ได้จากการทดสอบ] Cal [ปืนกำลังวัสดุคงคลังที่ได้จากการคำนวณ]
%Δ [เป็นค่าร้อยละความผิดพลาดของค่าวัสดุคงคลังที่ได้จากการคำนวณเปรียบเทียบกับค่าที่ได้จากการทดสอบ]

เมื่อนำการ (4.4) ไปหมายค่าวัสดุคงคลังที่จะยอมจากอย่าง RTX-2330 ที่อุณหภูมิต่างๆ ให้ผลและคงตัวเร่งที่ 0.4 ผลการทำนายให้ค่าคงคลังคงอยู่ 0.15 นาทีหรือคิดเป็นร้อยละ 1.38

ตารางที่ ๔.๕ ผลรัฐน์ของความคงทนต่อการรีดหัวเตาด้วยการทดสอบของสารกุ่มกรด ไขขันและพิคอกูลาร์ (FAMEs) $C_{16}-C_{22}$ ที่เบกนนดอล์มี RTX-2330 ที่อุณหภูมิ 180-200 องศาเซลเซียส

| Z | Temperature | | | | | | | | | | | |
|-----|-------------|-------|-------|-------|-------|---------------|---------------|---------------|---------------|---------------|------|------|
| | 180°C | 185°C | 190°C | 195°C | 200°C | $t_M = 1.862$ | $t_M = 1.868$ | $t_M = 1.874$ | $t_M = 1.877$ | $t_M = 1.881$ | | |
| Exp | Cal | %Δ | Exp | Cal | %Δ | Exp | Cal | %Δ | Exp | Cal | %Δ | |
| 16 | 3.33 | 3.32 | -0.26 | 3.10 | 3.09 | -0.28 | 2.88 | 2.90 | 0.46 | 2.74 | 2.74 | 0.21 |
| 18 | 4.47 | 4.45 | -0.51 | 4.00 | 3.99 | -0.40 | 3.60 | 3.62 | 0.58 | 3.32 | 3.33 | 0.31 |
| 19 | 5.33 | 5.31 | -0.52 | 4.69 | 4.67 | -0.46 | 4.13 | 4.16 | 0.72 | 3.74 | 3.76 | 0.43 |
| 20 | 6.49 | 6.45 | -0.68 | 5.59 | 5.56 | -0.48 | 4.82 | 4.86 | 0.83 | 4.29 | 4.31 | 0.51 |
| 22 | 10.10 | 10.01 | -0.95 | 8.35 | 8.30 | -0.62 | 6.92 | 6.99 | 0.91 | 5.93 | 5.97 | 0.65 |
| | | | | | | | | | | 5.14 | 5.17 | 0.48 |

t_M เป็นค่าบันดาล โดยวิธีของ Guardino และค่า Δ [40] Exp เป็นค่าบันดาลสำหรับได้จากการทดสอบ Cal เป็นค่าบันดาลสำหรับได้จากการคำนวณ

เมื่อนำมาเทียบ (4.5) ไปทำนายค่าเวลาทดลองสำหรับออกากอเด้ม RTX-2330 ที่อุณหภูมิต่างๆ ให้ผลทดสอบตรงกันที่ ๑๕ ผลการคำนวณให้ก้าลด้วยค่าคงที่ ๐.๑๐ นาทีหรือคิดเป็นร้อยละ ๐.๙๕

ตารางที่ บ.๖ ปรีริบเพิ่มน้ำยาลดความร้อนสำหรับการคำนวณกับค่าเวลาคงที่ได้จากการทดสอบของสารกรุ่น “ไขมันและกลิ่นสกัด” (fatty alcohols) $C_{12}\text{-}C_{22}$ ที่เบิกบานด้อมต้มน้ำ RTX-2330 ที่อุณหภูมิ 180-200 องศาเซลเซียส

| Z | Temperature | | | | | | | | | | | | | | | | |
|----|----------------------------|----------------------------|----------------------------|----------------------------|----------------------------|-------|-------|-------|-------|------|------|-------|------|------|-------|-----|----|
| | 180°C ($t_M = 1.825$) | 185°C ($t_M = 1.836$) | 190°C ($t_M = 1.848$) | 195°C ($t_M = 1.858$) | 200°C ($t_M = 1.872$) | Cal | Exp | %Δ | Cal | Exp | Cal | Exp | %Δ | Cal | Exp | Cal | %Δ |
| 12 | 2.65 | 2.65 | -0.07 | 2.55 | 2.55 | 0.00 | 2.46 | 2.46 | 0.07 | 2.39 | 2.39 | -0.03 | 2.34 | 2.34 | -0.04 | | |
| 14 | 3.27 | 3.26 | -0.27 | 3.06 | 3.05 | -0.16 | 2.88 | 2.88 | 0.00 | 2.74 | 2.74 | -0.16 | 2.63 | 2.63 | -0.17 | | |
| 16 | 4.35 | 4.33 | -0.39 | 3.93 | 3.93 | -0.25 | 3.59 | 3.59 | -0.06 | 3.32 | 3.32 | -0.21 | 3.12 | 3.12 | -0.24 | | |
| 18 | 6.21 | 6.20 | -0.20 | 5.41 | 5.41 | -0.06 | 4.77 | 4.76 | 0.12 | 4.27 | 4.27 | -0.06 | 3.87 | 3.87 | -0.15 | | |
| 20 | 9.45 | 9.46 | 0.11 | 7.94 | 7.94 | 0.17 | 6.74 | 6.77 | 0.42 | 5.83 | 5.84 | 0.15 | 5.11 | 5.11 | -0.01 | | |
| 22 | 15.27 | 15.14 | -0.85 | 12.39 | 12.39 | -0.68 | 10.17 | 10.13 | -0.33 | 8.49 | 8.44 | -0.58 | 7.18 | 7.14 | -0.67 | | |

t_M เป็นค่าคำนวณโดยวิธีของ Guardino และคณิต [40] Exp เป็นค่าเวลาคงที่ได้จากการทดสอบ Cal เป็นค่าเวลาคงที่ได้จากการคำนวณ $\%Δ$ เป็นค่าร้อยละความผิดพลาดตามที่ได้มาจากคำนวณเรียบร้อยที่ยกเว้น t_M เพื่อลดผลกระทบของ

เมื่อนำมาลงตาราง (4.6) ไปคำนวณค่าเวลาคงที่ของสารที่ได้จากการคำนวณเรียบร้อยที่ยกเว้น t_M ที่อยู่บนมิต่างๆ ให้ผลและต่อไปนี้ บ.๖ ผลการคำนวณได้ค่าผลลัพธ์ 0.13 นาทีหรือคิดเป็นร้อยละ 0.85

ตารางที่ ๗ ปริมาณเที่ยบค่าเวลาตกต่ำที่ได้จากการคำนวณกับค่าเวลาตกต่ำของสารอุ่นไฮdrocarบเรน (*n*-alkanes) C₁₆-C₂₂ ที่แยกน้ำดื่มน้ำ DB-225 ที่อุณหภูมิ 130-150 องศาเซลเซียส

| Z | Temperature | | | | | | | | | | | |
|-----------------|-------------|-------|-------|-------|-------|------|-------|-------|------|-------|-----------------|------|
| | 130°C | | | 135°C | | | 140°C | | | 145°C | | |
| | Exp | Cal | %Δ | Exp | Cal | %Δ | Exp | Cal | %Δ | Exp | Cal | %Δ |
| $(t_M = 1.472)$ | | | | | | | | | | | $(t_M = 1.538)$ | |
| 16 | 7.03 | 6.97 | -0.87 | 6.09 | 6.12 | 0.55 | 5.35 | 5.42 | 1.34 | 4.75 | 4.78 | 0.53 |
| 17 | 10.25 | 10.19 | -0.62 | 8.65 | 8.72 | 0.82 | 7.39 | 7.52 | 1.69 | 6.40 | 6.45 | 0.78 |
| 18 | 15.42 | 15.31 | -0.72 | 12.69 | 12.80 | 0.85 | 10.58 | 10.77 | 1.74 | 8.93 | 9.00 | 0.85 |
| 19 | 23.64 | 23.44 | -0.85 | 19.06 | 19.19 | 0.71 | 15.53 | 15.80 | 1.72 | 12.82 | 12.92 | 0.78 |
| 20 | 36.69 | 36.33 | -0.97 | 28.99 | 29.21 | 0.76 | 23.23 | 23.60 | 1.59 | 18.77 | 18.90 | 0.70 |
| 21 | 57.30 | 56.80 | -0.87 | 44.53 | 44.93 | 0.89 | 35.08 | 35.67 | 1.68 | 27.84 | 28.07 | 0.82 |
| 22 | 89.77 | 89.29 | -0.53 | 68.86 | 69.55 | 1.01 | 53.33 | 54.36 | 1.95 | 41.65 | 42.10 | 1.08 |

t_M เป็นค่าคงวนใจเบร์ชอง Guardino และคณิต [40] Exp เป็นค่าเวลาตกต่ำที่ใช้ในการทดสอบ Cal เป็นค่าเวลาตกต่ำที่ได้จากการคำนวณ %Δ เป็นค่าร้อยละความผิดพลาดของค่าวาลาคงต่ำที่ได้จากการคำนวณปริมาณเที่ยบกับค่าที่ได้จากการทดสอบ

เมื่อนำมาสมการ (4.7) นำไปพิจารณาค่าเวลาคงต่ำที่จะออกจากอย่าง DB-225 ที่อุณหภูมิต่างๆ ให้ผลทดสอบต่างๆ บ.7 ผลการที่ทำนายให้ค่าคงต่ำเคลื่อนที่ลงต่อ 1.04 นาทีหรือคิดเป็นร้อยละ 1.95

ตารางที่ ๔.๘ ผลรัฐชนพิษภัยค่าความคงที่ตัวจากการคำนวณกับค่าความคงที่ทางภาคต่างๆจากการทดสอบของสารกุ่มกรด “ไขข่าน” ที่ได้รับแบบพิเศษที่ FAMEs
 $C_{16}\text{-}C_{22}$ ที่เมกะนนอลอัลมีนี DB-225 ที่อุณหภูมิ 180-200 องศาเซลเซียส

| Z | Temperature | | | | | | | | | | | | | | | | | |
|----|--------------------------|--------------------------|--------------------------|--------------------------|--------------------------|------|-------|-------|-------|-------|-------|-------|-------|-------|------|-------|-------|------|
| | 180°C ($t_M=1.493$) | 185°C ($t_M=1.593$) | 190°C ($t_M=1.581$) | 195°C ($t_M=1.671$) | 200°C ($t_M=1.750$) | Cal | Exp | %Δ | Cal | Exp | %Δ | Cal | Exp | %Δ | Cal | Exp | %Δ | |
| 16 | 10.02 | 10.01 | -0.17 | 8.64 | 8.82 | 2.10 | 7.53 | 7.31 | -2.92 | 6.54 | 6.54 | -0.06 | 5.81 | 5.81 | 0.81 | 5.86 | 5.86 | 0.81 |
| 18 | 18.49 | 18.49 | -0.03 | 15.41 | 15.75 | 2.20 | 12.98 | 12.60 | -2.91 | 10.85 | 10.86 | -0.07 | 9.29 | 9.29 | 0.92 | 9.38 | 9.38 | 0.92 |
| 19 | 25.56 | 25.51 | -0.21 | 20.96 | 21.40 | 2.11 | 17.41 | 16.87 | -3.11 | 14.28 | 14.30 | 0.17 | 12.05 | 12.14 | 0.77 | 12.14 | 12.14 | 0.77 |
| 20 | 35.49 | 35.42 | -0.20 | 28.74 | 29.30 | 2.01 | 23.55 | 22.78 | -3.28 | 19.01 | 19.03 | 0.07 | 15.79 | 15.79 | 0.73 | 15.91 | 15.91 | 0.73 |
| 22 | 69.29 | 69.23 | -0.09 | 54.83 | 55.91 | 1.97 | 43.64 | 42.35 | -2.96 | 34.33 | 34.45 | 0.34 | 27.82 | 28.02 | 0.71 | 28.02 | 28.02 | 0.71 |

t_M เป็นค่าความคงให้กับ Guardino และค่า $[40]$ Exp เป็นค่าความคงที่ได้จากการทดสอบ Cal เป็นค่าความคงที่ได้จากการคำนวณ $\%Δ$ เป็นค่าร้อยละความผิดพลาดของค่าความคงที่ได้จากการคำนวณปรับเปลี่ยนบวกค่าที่ได้จากการทดสอบ

เมื่อนำมาเทียบ (4.8) “[ปัจจุบันฯค่าความคงที่ทางสารที่จะออกจากเครื่องต้มน้ำ DB-225 ที่อุณหภูมิต่างๆ ใช้ผลทดสอบต่อไปนี้]” ค่าคงที่ทางสารที่จะออกจากเครื่องต้มน้ำ DB-225 ที่อุณหภูมิต่างๆ ใช้ผลทดสอบต่อไปนี้ ๗.๘ ผลการคำนวณให้ค่าคงที่ต่อไปนี้ร้อยละ ๓.๒๘

ตารางที่ 4.9 ปรีเซปต์เมทิลค่าเวลาองค์การที่ได้จากการคำนวณรับค่าเวลาคงที่ทางจากการทดสอบของสารกุ่มไขมันและกลอโซล (fatty alcohols) $C_{12}-C_{22}$ ที่แบบน้ำผลิตภัณฑ์ DB-225 ที่อุณหภูมิ 180-200 องศาเซลเซียส

| Z | Temperature | | | | | | | | | | | | | | |
|----|--------------------------|--------------------------|--------------------------|--------------------------|--------------------------|------|-------|-------|------|-------|-------|-------|-------|-------|------|
| | 180°C ($t_M=1.841$) | 185°C ($t_M=1.786$) | 190°C ($t_M=1.777$) | 195°C ($t_M=1.764$) | 200°C ($t_M=1.739$) | Cal | %Δ | Exp | Cal | %Δ | Exp | Cal | %Δ | Exp | Cal |
| 12 | 4.17 | 4.19 | 0.44 | 3.85 | 3.87 | 0.49 | 3.58 | 3.59 | 0.06 | 3.37 | 3.34 | -0.86 | 3.18 | 3.21 | 0.91 |
| 14 | 6.68 | 6.73 | 0.87 | 5.92 | 5.98 | 0.93 | 5.29 | 5.32 | 0.60 | 4.80 | 4.77 | -0.64 | 4.37 | 4.43 | 1.39 |
| 16 | 11.83 | 11.92 | 0.75 | 10.10 | 10.19 | 0.85 | 8.67 | 8.73 | 0.69 | 7.59 | 7.53 | -0.82 | 6.64 | 6.73 | 1.48 |
| 18 | 22.33 | 22.48 | 0.67 | 18.47 | 18.59 | 0.65 | 15.29 | 15.40 | 0.72 | 12.98 | 12.84 | -1.07 | 10.93 | 11.08 | 1.38 |
| 20 | 43.65 | 44.00 | 0.81 | 35.08 | 35.38 | 0.88 | 28.19 | 28.48 | 1.02 | 23.25 | 23.05 | -0.84 | 19.00 | 19.30 | 1.59 |
| 22 | 86.89 | 87.86 | 1.12 | 68.19 | 68.95 | 1.12 | 53.13 | 54.13 | 1.88 | 42.75 | 42.71 | -0.09 | 34.24 | 34.82 | 1.70 |

t_M เป็นค่าคงวน โดยวิธีของ Guardino และคณะ [40] Exp เป็นค่าเวลาคงที่ได้จาก การทดสอบ %Δ เป็นค่าร้อยละความผิดพิเศษของค่าวาคาคงที่ได้จากการคำนวณโดยใช้เกณฑ์มาตรฐาน

เมื่อ拿出มาสมการ (4.9) ไปพานายค่าเวลาคงที่คงต่อที่ทดสอบที่ชั้นของการทดสอบ DB-225 ที่อยู่บนมิตรทางไฟฟ้าและแสดงต่อตารางที่ 4.9 ผลการคำนวณได้ค่าเฉลี่ยคงที่ 1.0 นาทีที่เรียกวิธีเดียวกันร้อยละ 1.88

ตารางที่ 4.10 ผลร้อยละของความคลาดเคลื่อนค่าคงที่ด้วยการคำนวณกับค่าเวลาคาดคะเนจากการทดสอบของสารกรัม อะลีการ์บอน (*n*-alkanes) C_{16} - C_{22} ที่เมกานอลติเม็ม BP-10 ที่อุณหภูมิ 130-150 องศาเซลเซียส

| Z | Temperature | | | | | | | | | | | |
|-----------------|-------------|--------|-----------------|--------|--------|-----------------|-------|-------|-----------------|-------|-------|-----------------|
| | 130°C | | | 135°C | | | 140°C | | | 145°C | | |
| $(t_M = 1.079)$ | | | $(t_M = 1.204)$ | | | $(t_M = 1.342)$ | | | $(t_M = 1.377)$ | | | $(t_M = 1.450)$ |
| | Exp | Cal | % Δ | Exp | Cal | % Δ | Exp | Cal | % Δ | Exp | Cal | % Δ |
| 16 | 20.96 | 20.61 | -1.68 | 17.36 | 17.35 | -0.09 | 14.25 | 14.77 | 3.66 | 11.74 | 11.73 | -0.10 |
| 17 | 34.54 | 33.95 | -1.70 | 28.00 | 28.01 | 0.03 | 22.47 | 23.35 | 3.87 | 18.12 | 18.13 | 0.10 |
| 18 | 57.41 | 56.39 | -1.77 | 45.72 | 45.71 | -0.02 | 36.01 | 37.40 | 3.89 | 28.48 | 28.48 | 0.00 |
| 19 | 95.97 | 94.16 | -1.89 | 75.08 | 75.11 | 0.04 | 58.19 | 60.45 | 3.89 | 45.21 | 45.24 | 0.05 |
| 20 | 160.66 | 157.71 | -1.84 | 123.76 | 123.92 | 0.13 | 94.42 | 98.21 | 4.02 | 72.24 | 72.36 | 0.16 |

t_M เป็นค่าคงнов โดยรีชิง Guardino และคณะ [40] Exp เป็นค่าเวลาคาดคะเนที่ได้จากการทดสอบ

% Δ เป็นค่าอัตราร่วมเพิ่มลดคลาดเคลื่อนค่าคงที่ได้จากการคำนวณโดยใช้ค่าที่ได้จากการทดสอบ

เมื่อนำมาสมการ (4.10) ไปทำนายค่าเวลาคาดคะเนที่จะออกจากอุปกรณ์ BP-10 ที่อุณหภูมิต่างๆ

ให้ผลแสดงดังตารางที่ 4.10 ผลการทำนายให้ค่าคาดคะเนที่อยู่สูงสุด 1.39 นาทีหรือคิดเป็นร้อยละ 3.89

ตารางที่ ๔.๑๑ เมริมเทียบค่าเวลาคงที่กับการคำนวณกับค่าเวลาคงที่จากการทดสอบของสารอุ่นกรดไขบั้นเมทิดอกเตอร์ (FAMEs)

C₁₆-C₂₂ ที่แยกน้ำมัน BP-10 ที่อุณหภูมิ 180-200 องศาเซลเซียส

| Z | Temperature | | | | | | | | | | | |
|-------------------------|-------------|--------|-------------------------|--------|--------|-------------------------|-------|-------|-------------------------|-------|-------|-------------------------|
| | 180°C | | | 185°C | | | 190°C | | | 195°C | | |
| (t _M =1.283) | | | (t _M =1.328) | | | (t _M =1.438) | | | (t _M =1.497) | | | (t _M =1.535) |
| | Exp | Cal | %Δ | Exp | Cal | %Δ | Exp | Cal | %Δ | Exp | Cal | %Δ |
| 16 | 15.59 | 15.82 | 1.54 | 13.49 | 13.18 | -2.34 | 11.27 | 11.59 | 2.79 | 9.76 | 9.90 | 1.43 |
| 18 | 32.64 | 33.26 | 1.92 | 27.49 | 26.84 | -2.36 | 22.18 | 22.85 | 3.02 | 18.56 | 18.87 | 1.66 |
| 19 | 47.78 | 48.71 | 1.95 | 39.76 | 38.77 | -2.48 | 31.58 | 32.54 | 3.05 | 26.00 | 26.48 | 1.86 |
| 20 | 70.30 | 71.62 | 1.88 | 57.76 | 56.27 | -2.58 | 45.23 | 46.62 | 3.07 | 36.77 | 37.42 | 1.77 |
| 22 | 152.44 | 155.96 | 2.31 | 122.68 | 119.65 | -2.46 | 93.80 | 96.75 | 3.15 | 74.25 | 75.78 | 2.05 |

t_M ปั๊นค่าคงน้ำมันโดยวิธีของ Guardino และค่าคง [40] Exp ปั๊นค่าเวลาคงที่กับการทดสอบ Cal เป็นค่าเวลาคงที่ที่ได้จากการคำนวณ
%Δ ปั๊นค่าร้อยละความผิดพลาดของค่าเวลาคงที่กับการคำนวณประมาณเทียบเท่ากับค่าที่ได้จากการทดสอบ

เมื่อนำมาสมการ (4.11) ไปพานาค่าเวลาคงที่กับสารที่จะออกจากคลอร์บีน BP-10 ที่อยู่ภูมิภาคต่างๆ
ให้ผลทดสอบตรงตารางที่ ๔.๑๑ ผลการพานายให้ค่าคงเดลต้าที่ต่ำสูงถึง 2.95 นาทีหรือคิดเป็นร้อยละ 3.15

ตารางที่ 4.12 บีร์เบนทิบอย่างค่าวาคาคงค่าที่ได้จากการคำนวณกับค่าวาคาคงค่าของสารพาร์ค์เจลากาการทดสอบของสารกุ่มไขมันและกลูโคซอล์ (fatty alcohols)

$C_{12}-C_{22}$ พิเมกบูนดอลัมม์ BP-10 ห้องทดลอง 180-200 องศาเซลเซียส

| Z | Temperature | | | | | | | | | |
|-----|-------------|--------|--------|-------|--------|-------------------|-------------------|-------------------|-------------------|-------------------|
| | 180°C | 185°C | 190°C | 195°C | 200°C | ($t_M = 1.562$) | ($t_M = 1.615$) | ($t_M = 1.491$) | ($t_M = 1.666$) | ($t_M = 1.697$) |
| Exp | Cal | %Δ | Exp | Cal | %Δ | Exp | Cal | %Δ | Exp | Cal |
| 12 | 4.28 | 4.37 | 2.06 | 3.97 | 4.06 | 2.25 | 3.66 | 3.40 | -7.22 | 3.42 |
| 14 | | 7.56 | 7.77 | 2.76 | 6.71 | 6.92 | 3.06 | 5.94 | 5.56 | -6.42 |
| 16 | | 14.94 | 15.30 | 2.39 | 12.76 | 13.13 | 2.83 | 10.83 | 10.15 | -6.36 |
| 18 | | 31.45 | 31.96 | 1.64 | 25.99 | 26.60 | 2.36 | 21.33 | 19.92 | -6.64 |
| 20 | | 67.86 | 68.85 | 1.46 | 54.69 | 55.84 | 2.11 | 43.67 | 40.73 | -6.73 |
| 22 | | 148.00 | 150.51 | 1.69 | 116.50 | 119.32 | 2.42 | 85.26 | 85.03 | -0.27 |

t_M ปืนค่าน้ำตาลคงค่าที่ได้จากการทดสอบ
 $\%Δ$ ปืนค่าเรียบลดความผิดพลาดของค่าวาคาคงค่าที่ได้จากการคำนวณเบรียบเทียบกับค่าที่ได้จากการทดสอบ
 Cal ปืนค่าน้ำตาลคงค่าที่ได้จากการคำนวณ

เมื่อนำสมการ (4.12) ไปทำนายค่าวาคาคงค่าทางสารที่ใช้ของการทดสอบ BP-10 ที่อยู่ห้องน้ำต่างๆ
 ให้ผลทดสอบดังตารางที่ 4.12 ผลการทำนายให้ค่าคงเดลล์อนต์สูงสุด 0.26 นาทีหรือคิดเป็นร้อยละ 7.22

ตารางที่ ๔.๑๓ ผลการทดสอบความคงค้างที่ได้จากการดำเนินทดสอบกับตัวอย่างสารต้องการทดสอบของสารกุ่นไฮโดรคาร์บอน (*n*-alkanes) C₁₆-C₂₂ ที่เขย่าน้ำกลั่น ZB-1 ที่อุณหภูมิ 130-150 องศาเซลเซียส

| Z | Temperature | | | | | | | | | | | |
|----|-----------------|-------|-------|-----------------|-------|------|-----------------|-------|-------|-----------------|-------|-------|
| | 130°C | | | 135°C | | | 140°C | | | 145°C | | |
| | $(t_M = 1.510)$ | | | $(t_M = 1.557)$ | | | $(t_M = 1.582)$ | | | $(t_M = 1.647)$ | | |
| | Exp | Cal | %Δ | Exp | Cal | %Δ | Exp | Cal | %Δ | Exp | Cal | %Δ |
| 16 | 12.57 | 12.50 | -0.58 | 10.34 | 10.44 | 0.94 | 8.86 | 8.70 | -1.82 | 7.55 | 7.52 | -0.40 |
| 17 | 20.14 | 19.99 | -0.72 | 16.10 | 16.29 | 1.16 | 13.47 | 13.22 | -1.82 | 11.17 | 11.13 | -0.38 |
| 18 | 32.90 | 32.59 | -0.96 | 25.69 | 25.98 | 1.14 | 21.03 | 20.62 | -1.94 | 17.04 | 16.95 | -0.49 |
| 19 | 54.37 | 53.77 | -1.11 | 41.46 | 42.06 | 1.44 | 33.38 | 32.73 | -1.95 | 26.49 | 26.35 | -0.52 |
| 20 | 90.53 | 89.38 | -1.27 | 67.73 | 68.72 | 1.46 | 53.52 | 52.53 | -1.85 | 41.73 | 41.73 | -0.49 |

t_M เป็นค่ากำหนดโดยวิธีของ Guardino และค่า %Δ [40] Exp เป็นค่าทางเคมีที่ได้จากการทดสอบ Cal เป็นค่าทางเคมีที่ได้จากการคำนวณ
%Δ เป็นค่า誤ยละเอียดความผิดพลาดของตัวอย่างที่ได้จากการคำนวณโดยใช้แบบจำลองที่ได้จากการทดสอบ

เมื่อนำสมการ (4.13) ไปทำนายค่าเวลาคงค้างสารที่จะออกจากคลอรีน ZB-1 ที่อุณหภูมิต่างๆ ให้ผลเดตรงตรงตามที่ ๔.๑๓ ผลการทำนายให้ค่าคงค้างต่อหน่วยร้อยละ ๐.๖๕ นาทีหรือคิดเป็นร้อยละ ๑.๙๕

ตารางที่ ๔.๑๔ ปรีเซนต์เรทเทิร์น ไบโอดิสเพลย์ ของชั้นหินที่ได้จากการคำนวณโดยใช้แบบจำลองทางการพัฒนาของสารกัมมารด ใหม่บนหน้าที่ผลิตโดยท่อ (FAMES) $C_{16}\text{-}C_{22}$ ที่เย็บปะแนกอยู่ใน ZB-1 ที่อุณหภูมิ 180-200 องศาเซลเซียส

| Z | Temperature | | | | | | | | | | | |
|-----|----------------------------|-------|-------|----------------------------|-------|------|----------------------------|-------|------|----------------------------|-------|-------|
| | 180°C ($t_m = 1.631$) | | | 185°C ($t_m = 1.700$) | | | 190°C ($t_m = 1.745$) | | | 195°C ($t_m = 1.776$) | | |
| Exp | Cal | %Δ | Exp | Cal | %Δ | Exp | Cal | %Δ | Exp | Cal | %Δ | |
| 16 | 7.71 | 7.65 | -0.75 | 6.71 | 6.76 | 0.71 | 5.91 | 5.95 | 0.76 | 5.27 | 5.26 | -0.15 |
| 18 | 14.90 | 14.80 | -0.68 | 12.45 | 12.55 | 0.85 | 10.49 | 10.60 | 1.00 | 8.97 | 8.97 | -0.05 |
| 19 | 21.28 | 21.11 | -0.82 | 17.45 | 17.59 | 0.84 | 14.45 | 14.58 | 0.90 | 12.12 | 12.11 | -0.09 |
| 20 | 30.72 | 30.45 | -0.89 | 24.79 | 24.98 | 0.75 | 20.18 | 20.36 | 0.92 | 16.65 | 16.62 | -0.15 |
| 22 | 65.15 | 64.68 | -0.71 | 51.18 | 51.63 | 0.87 | 40.49 | 40.91 | 1.04 | 32.41 | 32.42 | 0.04 |

t_m เป็นค่าคงวนผลโดยรีซึ่งของ Guardino และค่า Δ [40] Exp เป็นค่าเวลาคงที่ที่จากการทดสอบ Cal เป็นค่าเวลาคงที่ที่จากการคำนวณ %Δ เป็นค่าร้อยละความผิดพลาดของเวลาคงที่ที่จากการคำนวณเทียบกับค่าที่ได้จากการทดสอบ

เมื่อนำสมการ (4.14) ไปพิจารณาค่าเวลาคงที่ทางสารที่จะออกจากคลื่นแม่ ZB-1 ที่อุณหภูมิต่างๆ ให้ผลเดตรงตรงตามที่ ๔.๑๔ ผลการคำนวณให้ค่าเดือนถูกตุ 0.42 นาทีหรือคิดเป็นร้อยละ 1.04

ตารางที่ 4.15 ผลรีบบันทึกเมื่อค่าความถ่วงคงที่ได้จากการคำนวณกับค่าเวลาลดของสารกรดถั่วเหลืองต่อจังหวะการลดของสารกรดถั่วเหลืองตามเอกสารของสถาบัน “ไขมันและตัวอย่าง” (fatty alcohols) $C_{12}-C_{22}$ ที่เบียนบานโดยต้มใน ZB-1 ที่อุณหภูมิ 180-200 องศาเซลเซียส

| Z | Temperature | | | | | | | | | | | | | | |
|----|-------------------|-------------------|-------------------|-------------------|-------------------|-------|-------|-------|-------|-------|-------|-------|-------|-------|-------|
| | 180°C | 185°C | 190°C | 195°C | 200°C | | Exp | Cal | %Δ | Exp | Cal | %Δ | Exp | Cal | %Δ |
| | ($t_m = 1.809$) | ($t_m = 1.839$) | ($t_m = 1.862$) | ($t_m = 1.878$) | ($t_m = 1.894$) | | | | | | | | | | |
| 12 | 2.80 | 2.79 | -0.27 | 2.69 | 2.69 | 0.01 | 2.61 | 2.61 | 0.10 | 2.53 | 2.53 | -0.06 | 2.47 | 2.46 | -0.14 |
| 14 | 4.00 | 3.99 | -0.08 | 3.69 | 3.70 | 0.22 | 3.44 | 3.46 | 0.31 | 3.24 | 3.24 | -0.07 | 3.06 | 3.06 | -0.08 |
| 16 | 6.67 | 6.65 | -0.29 | 5.89 | 5.90 | 0.06 | 5.25 | 5.26 | 0.20 | 4.73 | 4.73 | -0.05 | 4.31 | 4.30 | -0.23 |
| 18 | 12.66 | 12.57 | -0.74 | 10.71 | 10.68 | -0.30 | 9.14 | 9.13 | -0.07 | 7.88 | 7.86 | -0.30 | 6.87 | 6.83 | -0.48 |
| 20 | 25.88 | 25.72 | -0.63 | 21.14 | 21.10 | -0.20 | 17.38 | 17.39 | 0.03 | 14.44 | 14.41 | -0.22 | 12.10 | 12.05 | -0.36 |
| 22 | 54.95 | 54.94 | -0.01 | 43.77 | 43.79 | 0.04 | 34.97 | 35.03 | 0.16 | 28.14 | 28.13 | -0.01 | 22.83 | 22.79 | -0.20 |

t_m เป็นค่ากำหนดโดยใช้วิธีของ Guardino และค่าผลลัพธ์ [40] Exp เป็นค่าเวลาคงที่ได้จากการทดสอบ Cal เป็นค่าเวลาคงที่ได้จากการคำนวณ
 $\%Δ$ เป็นค่าร้อยละความผิดพลาดของค่าเวลาคงที่ได้จากการคำนวณปริมาณที่ยกกำกับค่าที่ได้จากการทดสอบ

เมื่อนำมาสมการ (4.15) ไปทำนายค่าเวลาคงที่ทางสารที่จะออกจากตู้ลม ZB-1 ที่อุณหภูมิต่างๆ ให้ผลแสดงต่อตารางที่ 4.15 ผลการคำนวณให้ค่าคาดเดาโดยประมาณสูงสุด 0.09 นาทีหรือคิดเป็นร้อยละ 0.74

ภาคผนวก

- ค. แสดงหน้าจอโปรแกรม Microsoft Excel Version 8.0 ที่ใช้ในการคำนวณหา
ค่าเวลาคงค้างและจำนวนการ์บอนของสารกอสุ่มไฮโดรคาร์บอนที่แยกบนคลั้มน้ำ
SP-2340 ที่อุณหภูมิ 130-150 องศาเซลเซียส

ตัวอย่างในการคำนวณค่าเวลาคงค้างและจำนวนคาร์บอนของสารกลุ่มไฮโดรคาร์บอนที่แยกบนคอลัมน์ SP-2340 ที่อุณหภูมิ 130-150 องศาเซลเซียส

ตารางคำนวณ % $\Delta(t_p)$ และ % $\Delta(N)$ ของตัว Hydrocarbon (C₁₆₋₂₂) SP2340(L130 m X I.D. 0.25 mm x D_f 0.20 μm)

| | A | B | C | D | E | F | G | H | I | J | K | L |
|----|----------|----|----------------|--------|--------|---------------------------|--------|-----------------|---------|--------------|---------------|---|
| 1 | | | | | | | | | | | | |
| 2 | | | | a | -6.751 | -812.42 | | c | | | | |
| 3 | | | | b | -0.637 | 464.93 | | d | | | | |
| 4 | | | | | 130 | | | | | | | |
| 5 | temp (K) | N | t _M | lnk | exp(k) | forecasted t _p | Exp | % $\Delta(t_p)$ | Cal lnk | Forecasted N | % $\Delta(N)$ | |
| 6 | 403.15 | 16 | 1.851 | -0.512 | 0.599 | 2.960 | 2.976 | -0.54 | -0.498 | 16.03 | 0.17 | |
| 7 | 403.15 | 17 | 1.851 | 0.094 | 1.004 | 3.209 | 3.736 | -0.71 | 0.018 | 17.03 | 0.16 | |
| 8 | 403.15 | 18 | 1.851 | 0.520 | 1.682 | 4.965 | 5.007 | -0.84 | 0.534 | 18.03 | 0.14 | |
| 9 | 403.15 | 19 | 1.851 | 1.036 | 2.819 | 7.069 | 7.119 | -0.70 | 1.046 | 19.02 | 0.10 | |
| 10 | 403.15 | 20 | 1.851 | 1.553 | 4.724 | 10.595 | 10.694 | -0.92 | 1.564 | 20.02 | 0.11 | |
| 11 | 403.15 | 21 | 1.851 | 2.069 | 7.916 | 16.504 | 16.758 | -1.52 | 2.086 | 21.03 | 0.16 | |
| 12 | 403.15 | 22 | 1.851 | 2.585 | 13.266 | 26.406 | 26.578 | -0.65 | 2.592 | 22.01 | 0.06 | |
| 13 | | | | | 135 | | | | | | | |
| 14 | temp (K) | N | t _M | lnk | exp(k) | forecasted t _p | Exp | % $\Delta(t_p)$ | Cal lnk | Forecasted N | % $\Delta(N)$ | |
| 15 | 408.15 | 16 | 1.864 | -0.714 | 0.490 | 2.777 | 2.774 | 0.11 | -0.717 | 15.99 | -0.04 | |
| 16 | 408.15 | 17 | 1.864 | -0.212 | 0.809 | 3.373 | 3.375 | -0.07 | -0.210 | 17.00 | 0.02 | |
| 17 | 408.15 | 18 | 1.864 | 0.291 | 1.337 | 4.357 | 4.361 | -0.10 | 0.292 | 18.00 | 0.02 | |
| 18 | 408.15 | 19 | 1.864 | 0.793 | 2.209 | 5.982 | 5.983 | -0.01 | 0.793 | 19.00 | 0.00 | |
| 19 | 408.15 | 20 | 1.864 | 1.295 | 3.650 | 8.668 | 8.695 | -0.31 | 1.299 | 20.01 | 0.04 | |
| 20 | 408.15 | 21 | 1.864 | 1.797 | 6.931 | 13.106 | 13.175 | -0.52 | 1.803 | 21.01 | 0.06 | |

Ready.

รูปที่ ค.1 แสดง worksheet ของ Microsoft Excel Version 8.0 ที่ใช้ในการคำนวณหาค่าเวลาคงค้าง และจำนวนคาร์บอนของสารกลุ่มไฮโดรคาร์บอนที่แยกบนคอลัมน์ SP-2340 ที่อุณหภูมิ 130-150 องศาเซลเซียส

จากรูปที่ ค.1 ในแต่ละคอลัมน์หมายถึง

คอลัมน์ A : อุณหภูมิของคอลัมน์ในหน่วยองศาเคลวิน

คอลัมน์ B : จำนวนคาร์บอนของสารกลุ่มไฮโดรคาร์บอน

คอลัมน์ C : ค่าเวลาคงค้างของสาร (t_M) คำนวณโดยวิธีของ Guardino และคณะ

คอลัมน์ D : ค่าลอการีทึมธรรมชาติของ retention factor

คอลัมน์ E : ค่า Exponential ของ retention factor

คอลัมน์ F : ค่าเวลาคงค้างที่ได้จากการคำนวณ

- คอลัมน์ G : ค่าเวลาคงค้างที่ได้จากการทดลอง
- คอลัมน์ H : ค่าร้อยละความผิดพลาดของค่าเวลาคงค้างที่ได้จากการคำนวณ
เปรียบเทียบกับค่าที่ได้จากการทดลอง
- คอลัมน์ I : ค่าลอการีทึมธรรมชาติของ retention factor ที่ได้จากการคำนวณ
- คอลัมน์ J : จำนวนครั้งบอนที่ได้จากการคำนวณ
- คอลัมน์ K : ค่าร้อยละความผิดพลาดของจำนวนครั้งบอนที่ได้จากการคำนวณ
เปรียบเทียบกับค่าที่ได้จากการทดลอง

และการคำนวณจะต้องมีการป้อนข้อมูลต่างๆ ดังนี้

1. ค่าคงตัว a, b, c และ d : ป้อนค่าช่อง F3 F4 G3 และ G4 ตามลำดับ
2. ค่าเวลาคงค้างของสาร (t_M) : ป้อนค่าในคอลัมน์ C ในแต่ละอุณหภูมิของ การทดลอง
3. ค่าเวลาคงค้างของสารกลุ่มไฮโดรคาร์บอน : ป้อนค่าในคอลัมน์ G ของแต่ละจำนวนครั้งบอน ในแต่ละอุณหภูมิของการทดลอง

เมื่อป้อนข้อมูลทั้งหมดแล้วโปรแกรม Microsoft Excel Version 8.0 จะทำการคำนวณค่าเวลาคงค้าง และจำนวนครั้งบอนของสารกลุ่มไฮโดรคาร์บอน เพื่อความสะดวกในการเก็บข้อมูล จึงได้แสดงค่าที่คำนวณได้ในคอลัมน์ F และ J ตามลำดับ

ประวัติผู้วิจัย

ชื่อ-สกุล

นางสาว สุนิสา ภูติกิณ โยวัฒน์

วัน เดือน ปีเกิด

4 เมษายน 2526

ประวัติการศึกษา

ระดับปริญญาตรี

วิทยาศาสตร์บัณฑิต สาขาชีววิทยา

มหาวิทยาลัยศรีนครินทรวิโรฒ พ.ศ.2547

ระดับปริญญาโท

วิทยาศาสตร์มหาบัณฑิต สาขาเทคโนโลยีชีวเคมี

มหาวิทยาลัยเทคโนโลยีพระจอมเกล้าธนบุรี พ.ศ.2550

ทุนการศึกษาหรือทุนวิจัย

-

ประวัติการทำงาน

-

ผลงานที่ได้รับการตีพิมพ์

สุนิสา ภูติกิณ โยวัฒน์, 2551, “ค่าเวลาคงค้างของลิปิดใน columน์ที่มีเปอร์เซ็นต์ใช้ในการพิวต่างๆ กัน”, วารสารการประชุมวิชาการ เสนอผลงานวิจัยระดับบัณฑิตศึกษา ครั้งที่ 10 ประจำปี 2551 บัณฑิตวิทยาลัย มหาวิทยาลัยขอนแก่น

มหาวิทยาลัยเทคโนโลยีพระจอมเกล้าธนบุรี
ข้อตกลงว่าด้วยการโอนสิทธิในทรัพย์สินทางปัญญาของนักศึกษาระดับบัณฑิตศึกษา

วันที่ 18 เดือน เมษายน พ.ศ. 2551

ข้าพเจ้า นางสาวสุนิสา ภูติกิจ ไชยวัฒน์ รหัสประจำตัว 49402311 เป็นนักศึกษาของมหาวิทยาลัยเทคโนโลยีพระจอมเกล้าธนบุรี ระดับ ปริญญาโท สาขาวิชาเทคโนโลยีชีวเคมี คณะทรัพยากรชีวภาพและเทคโนโลยี อยู่บ้านเลขที่ 59/3 หมู่ที่ 4 ตำบลทวีวัฒนา อำเภอไทรน้อย จังหวัดนนทบุรี รหัสไปรษณีย์ 11150 เป็น "ผู้โอน" ขอโอนสิทธิในทรัพย์สินทางปัญญาให้ไว้กับมหาวิทยาลัยเทคโนโลยีพระจอมเกล้าธนบุรี โดยมี รศ.น.ฤกษ์ จิยะโชค ตำแหน่ง คณบดี คณะทรัพยากรชีวภาพและเทคโนโลยี เป็นตัวแทน "ผู้รับโอน" สิทธิในทรัพย์สินทางปัญญาและมีข้อตกลงดังนี้

1. ข้าพเจ้าได้จัดทำวิทยานิพนธ์เรื่อง ค่าเวลาคงค้างของลิปิดในคลอลัมบ์ที่มีเปอร์เซ็นต์ไซยาโนโพรพิวต่างๆ กันซึ่งอยู่ในความควบคุมของ รศ.ดร.คณิต กฤษณะกร อาจารย์ที่ปรึกษา และ ดร.คณิศา กิตติรัตน์ ไพบูลย์ อาจารย์ที่ปรึกษาร่วมตามพระราชบัญญัติสิทธิ์ พ.ศ. 2537 และถือว่าเป็นส่วนหนึ่งของการศึกษาตามหลักสูตรของมหาวิทยาลัยเทคโนโลยีพระจอมเกล้าธนบุรี
2. ข้าพเจ้าตกลงโอนสิทธิ์จากผลงานทั้งหมดที่เกิดขึ้นจากการสร้างสรรค์ของข้าพเจ้า ในวิทยานิพนธ์ให้กับมหาวิทยาลัยเทคโนโลยีพระจอมเกล้าธนบุรี ตลอดอายุแห่งการคุ้มครองสิทธิ์ตามพระราชบัญญัติสิทธิ์ พ.ศ. 2537 ตั้งแต่วันที่ได้รับอนุมัติโครงร่างวิทยานิพนธ์จากมหาวิทยาลัย
3. ในกรณีที่ข้าพเจ้าประสงค์จะนำวิทยานิพนธ์ไปใช้ในการเผยแพร่ในสื่อใด ๆ ก็ตาม ข้าพเจ้าจะต้องระบุว่าวิทยานิพนธ์เป็นผลงานของมหาวิทยาลัยเทคโนโลยีพระจอมเกล้าธนบุรี ทุกรั้งที่มีการเผยแพร่
4. ในกรณีที่ข้าพเจ้าประสงค์จะนำวิทยานิพนธ์ไปเผยแพร่ หรือให้ผู้อื่นทำเช่นเดียวกัน หรือดัดแปลงหรือเผยแพร่ต่อสาธารณะหรือทำการอื่นใดตามพระราชบัญญัติสิทธิ์ พ.ศ. 2537 โดยมีค่าตอบแทนในเชิงธุรกิจ ข้าพเจ้าจะกระทำได้เมื่อได้รับความยินยอมเป็นลายลักษณ์อักษรจากมหาวิทยาลัยเทคโนโลยีพระจอมเกล้าธนบุรีก่อน
5. ในกรณีที่ข้าพเจ้าประสงค์จะนำข้อมูลจากวิทยานิพนธ์ไปประดิษฐ์ หรือพัฒนาต่อ ขอดึงเป็นสิ่งประดิษฐ์หรืองานทรัพย์สินทางปัญญาประเภทอื่น ภายในระยะเวลาสิบ (10) ปีนับ

จากวันลงนามในข้อตกลงฉบับนี้ ข้าพเจ้าจะกระทำได้เมื่อได้รับความยินยอมเป็นลายลักษณ์ อักษรจากมหาวิทยาลัยเทคโนโลยีพระจอมเกล้าธนบุรี และมหาวิทยาลัยเทคโนโลยีพระจอมเกล้าธนบุรีมีสิทธิในทรัพย์สินทางปัญญาที่นี้ พร้อมกับได้รับชำระค่าตอบแทนการอนุญาตให้ใช้สิทธิดังกล่าวรวมถึงการจัดสรรผลประโยชน์อันเพิ่มเกิดขึ้นจากส่วนใดส่วนหนึ่งหรือทั้งหมดของวิทยานิพนธ์ในอนาคตโดยให้เป็นไปตามระเบียบสถาบันเทคโนโลยีพระจอมเกล้าธนบุรี ว่าด้วยการบริหารผลประโยชน์อันเกิดจากทรัพย์สินทางปัญญา พ.ศ. 2538

๖. ในกรณีที่มีผลประโยชน์เกิดขึ้นจากการวิทยานิพนธ์ หรืองานทรัพย์สินทางปัญญาอื่นที่ข้าพเจ้าทำขึ้น โดยมีมหาวิทยาลัยเทคโนโลยีพระจอมเกล้าธนบุรีเป็นเจ้าของข้าพเจ้าจะมีสิทธิได้รับการจัดสรรผลประโยชน์ อันเกิดจากทรัพย์สินทางปัญญาดังกล่าวตามอัตราที่กำหนดไว้ในระเบียบมหาวิทยาลัยเทคโนโลยีพระจอมเกล้าธนบุรีว่าด้วยการบริหารผลประโยชน์อันเกิดจากทรัพย์สินทางปัญญา พ.ศ. 2538

ลงชื่อ.....สุวัฒนา ภูวดล ลักษณ์ ผู้โอนสิทธิ
(นางสาวสุวนิสา ภูติกิจ ไวยัพน์)
นักศึกษา

ลงชื่อ.....พญ. สุรัตน์ ใจดี ผู้รับโอนสิทธิ
(รศ.นฤมล จียะโชค)
คณบดี

ลงชื่อ.....ดร. นพ. กฤษณะ คงยิ่ง พยาน
(ดร.คร.กฤษณะ คงยิ่ง) ผู้รับโอนสิทธิ

ลงชื่อ.....ดร. นพ. กฤษณะ คงยิ่ง พยาน
(ดร.คร.กฤษณะ คงยิ่ง) ผู้รับโอนสิทธิ